OLDNEY RODRIGUES, C. D.

COMPORTAMENTO DE ALGUMAS MEDIDAS CEFALOMÉTRICAS EM CRIANÇAS DE PIRACICABA

(Contribuição ao seu estudo)

Trabalho apresentado d
Faculdade de Odontologia
de Piracicaba,
da Universidade Estadual
de Campinas,
para obtenção do
Grau de Mestre em Ortodontia.

PIRACICABA - S. P.

1975

BIBLIOTECA (ENTRA)

À minha esposa MARIA CLÁUDIA e aos meus filhos ROGÉRIO E GUSTA-VO, pela dedicação e compreensão, a mais carinhosa homenagem.

Aos meus queridos pais e ao meu irmão, pelo esforço para minha formação, o meu eterno reconhecimento.

Aos escolares de Piracicaba, que se colocaram à nossa disposição para o levantamento do material radiográfico de que necessitávamos para a realização deste trabalho.

com o mais puro sentimento de gratidão a todos que direta ou indiretamente contribuiram para a realização deste - trabalho e, mui especialmente,

ao Professor Doutor MANOEL CARLOS MULLER DE ARAUJO, Titular da Disciplina de Ortodontia e Coordenador do Curso de Pós Graduação em Ortodontia da Faculdade de Odontologia de Piracicaba, da Universidade Estadual de Campinas, orientador deste trabalho e responsável pela nossa formação especializada;

ao Professor Doutor JOSÉ MERZEL, DD. Diretor da Faculdade de Odontologia de Piracicaba, da Universidade Estadual de Campinas, e ao Diretor Associado Doutor ANTONIO CARLOS NEDER, pe la atenção com que sempre nos distinguiram;

à FACULDADE DE ODONTOLOGIA DE PIRACICABA DA UNIVERSI-DADE ESTADUAL DE CAMPINAS, pelo orgulho que nos dá de termos si do por ela formados e termos pertencido ao seu corpo docente;

ao Professor Assistente EVERALDO OLIVEIRA SANTOS BAC-CHI, da Disciplina de Ortodontia da Faculdade de Odontologia de Piracicaba, da Universidade Estadual de Campinas, pelo auxílio que nos prestou na ilustração deste trabalho;

aos demais colegas docentes da Disciplina de Ortodon tia da Faculdade de Odontologia de Piracicaba, da Universidade Estadual de Campinas, pelo constante estímulo e valiosas suges tões, que amenizaram as dificuldades que se apresentaram;

ao Professor Assistente Doutor VIVALDO FRANCISCO DA CRUZ, do Departamento de Matemática e Estatística da Escola Superior de Agricultura "Luiz de Queiroz", pela inestimável colaboração nas análises estatísticas;

à Professora CLEIRY SARABANDO SIMÕES, por sua preciosa colaboração na revisão do vernáculo;

à Senhora IVANY DO CARMO GUIDOLIN GEROLA, Bibliotecária da Faculdade de Odontologia de Piracicaba, da Universidade Estadual de Campinas, pela sua preciosa colaboração na revisão bibliográfica;

aos Técnicos de Laboratório da Disciplina de Ortodontia desta Faculdade, Sra. MARIA SCAGNOLATO FERNANDES DA SILVA e Sr. PEDRO DE OLIVEIRA MIGUEL, pelas constantes palavras de estímulo, e ajuda no levantamento das telerradiografias para a realização deste trabalho;

à COORDENAÇÃO DO APERFEIÇOAMENTO DE PESSOAL DO ENSINO SUPERIOR (CAPES), do Ministério da Educação e Cultura, que nos possibilitou a realização deste trabalho através de uma bolsa - de estudos;

aos amigos do "CLUBE XX DE AGOSTO", de Santos, pelo constante estímulo e apoio, que amenizaram as dificuldades que se apresentaram;

aos senhores IVES ANTONIO CORAZZA e SEBASTIÃO RODRI-GUES DE BARROS, pelo excelente trabalho de datilografía e impressão;

e, finalmente aos colegas do curso de Pós Graduação - em Ortodontia, pela manifestação de amizade e compreensão.

. *

ÍNDICE

·	PAG.
CAPÍTULO I	
1 - INTRODUÇÃO	10
1.1 - PROPOSIÇÕES	12
CAPÍTULO II	
2 - REVISTA DA LITERATURA	14
CAPÍTULO III	
3 - MATERIAL E MÉTODOS	32
3.1 - MATERIAL	32
3.2 - MÉTODOS	33
<u>CAPÍTULO IV</u>	
4 - RESULTADOS	59
CAPÍTULO V	
5 - DISCUSSÃO	96
CAPÍTULO VI	
6 - CONCLUSÕES	121
CAPÍTULO VII	
7 - REFERÊNCIAS BIBLIOGRÁFICAS	123
CAPÍTULO VIII	
8 - RESUMO	136
APÊNDICE	137
GRÍFICOS	

CAPÍTULO I

1 - INTRODUÇÃO

A cefalometria radiológica muito contribuiu para o de senvolvimento da Ortodontia, tornando-se imprescindível sua utilização para se elaborar o diagnóstico de um caso ortodôntico.

Como foi enfatizado por SASSOUNI⁸², "o clínico pode obter com a telerradiografia da cabeça o que não obteria tão fácil e precisamente com os outros elementos do diagnóstico. Toda via, ela não poderá orientar exatamente sobre o que fazer, mas, pelo menos, nos acautela contra o uso de certos tipos de tratamento e, por exclusão, sugere o mais apropriado".

Apresentada inicialmente por PACCINI⁷⁰, em 1922, somente em 1931 foi adotada como um novo método de pesquisa da cabeça humana, ao ser apresentada por BROADBENT¹⁶. As pesquisas de BROADBENT¹⁷, inicialmente aplicadas ao estudo do crescimento e desenvolvimento da cabeça humana, passaram cada vez mais a ser usadas na interpretação das irregularidades dento-faciais.

Coube a BRODIE¹⁹, em 1941, introduzí-la na área específica da Ortodontia, aproveitando-se das idéias de BROADBENT¹⁸, e formular o primeiro método de análise baseada em medidas de - ângulos a partir de uma telerradiografia da cabeça, tomada em norma lateral.

Iniciava-se uma nova fase na pesquisa, surgindo vários métodos de análise cefalométrica - uns com objetivo de estudar os problemas que envolvem o crescimento e desenvolvimento crânio-faciais; outros como meio de diagnosticar as irregularidades que afetam as relações entre os vários componentes do crânio e da face, que repercutiriam na oclusão dentária.

O aparecimento de grande número de métodos de análise, levou a Sociedade Americana de Ortodontia a realizar dois símpó sios: um em 1957⁷³ e outro em 1959^{79,80} com o propósito de se discutirem os problemas relacionados com a aplicação da cefalometria radiológica no diagnóstico ortodôntico.

DOWNS³¹, referindo-se ao primeiro simpósio, assim exprimiu sua opinião: "Provavelmente um dos mais importantes resultados do último simpósio foi o "SYLLABUS", preparado por KROGMAN & SASSOUNI⁵⁹, que discutiram e compararam 46 diferentes

métodos de análise, variando desde os simples traçados até complexos sistemas de avaliação. Com a revisão destes métodos, tor nou-se claro que nenhum é completo até a presente data. Acho que o mais importante resultado deste trabalho excelente foi chamar a atenção para a confusão que ainda existe em nossa tentativa de interpretar os cefalogramas, apesar dos 30 anos de trabalho e das últimas pesquisas já feitas".

Geralmente os autores destes diversos métodos de análise não apresentam o tipo de amostragem que utilizaram, citando apenas alguns dados referentes ao grau de normalidade facial e dentária dos seus portadores. Da mesma forma, nenhum deles adotou o método estatístico para avaliação dos seus resultados.

SALZMANN⁷⁸, ao abordar este problema, fez o seguinte comentário: "Tenho chamado a atenção para a necessidade de se estabelecer uma linha básica para o emprego da telerradiografia da cabeça e para a avaliação objetiva dos parâmetros estabelecidos pelos vários autores neste campo. Frequentemente, os resultados obtidos não foram baseados numa amostragem suficiente; muitos não sujeitaram seus dados a testes estatísticos. No entanto, têm sido aceitos categoricamente como padrões".

Na opinião de HIXON⁴³, "a maioria dos padrões cefalométricos utilizados em Ortodontia, têm sido determinados a partir de pequenas amostras e necessitam de muita cautela em seu uso".

MOORE⁶⁵ assim exprimiu sua opinião: "alguns dos padrões cefalométricos propostos e aceitos são inadequados".

ARAUJO⁶, em recente trabalho, sugeriu que "as medidas angulares e lineares necessitam ser revistas e uniformizadas numa tentativa de padronização dos melhores métodos de análises propostos", confirmando assim algumas conclusões apresentadás nos Estados Unidos, nas duas grandes ocasiões: o "FIRST ROENTGE NOGRAPHIC CEPHALOMETRIC WORKSHOP" 73, em 1957, e o "SECOND RESEARCH WORKSHOP⁸⁰, em 1959.

Observa-se portanto, que a cefalometria radiológica - desenvolveu-se desordenadamente, pois a literatura maño apresenta muitos trabalhos que possam ser considerados válidos num estudo comparativo.

Se desejarmos contribuir para que o diagnóstico dos

desvios de normalidade, seja em termos de crescimento do crânio e da face, seja em termos dos problemas de oclusão dentária.pos sa ser bem realizado, precisamos estabelecer os padrões cefalométricos com precisão científica.

1.1 - PROPOSIÇÕES

Tendo em vista a asserção apresentada, propomo-nos a:

- a) determinar o comportamento estatístico de algumas medidas cefalométricas obtidas de uma amostra de crianças portadoras de oclusão dentária considerada "normal", em relação ao sexo e idade;
- b) verificar o grau de correlação entre estas medidas;
- c) determinar um padrão médio para as medidas cefalométricas que representam as relações esqueléticas e dentárias do conjunto do crânio e da face, de « crianças com oclusão dentária considerada "normal".

CAPÍTULO II

REVISTA DA LITERATURA

A cefalometria radiológica, parte da Antropometria, es tuda o crânio de indivíduos vivos através do uso de um cefalostato e de uma técnica radiográfica padronizada.

O desenvolvimento desta técnica é creditado a BROAD-BENT¹⁶, que a introduziu em 1931, como um novo método de pesqu<u>i</u> sa.

Aplicada inicialmente para estudar o desenvolvimento do crânio e da face, esta técnica desenvolveu-se cada vez mais na interpretação das irregularidades dento-faciais, em substi-tuição aos métodos antropométricos até então utilizados, e que não mais satisfaziam como elementos de diagnóstico da maloclu-são.

Nesse mesmo ano, HOFRATH⁴⁵ publicou, na Alemanha, seu método para tomada de telerradiografias padronizadas da cabeça, que diferia da técnica de BROADBENT¹⁶, no seguinte:

- a) não fez menção de tomada de radiografia em norma frontal;
- b) o feixe de raio X central não era fixo em relação à cabeça;
- c) não sugeriu plano algum para superposição de telerradiografias da cabeça, tomadas subsequentemente;
- d) deu considerável ênfase ao registro de tecidos moles.

A partir da técnica proposta por BROADBENT¹⁶, surgiram inúmeros trabalhos que davam ênfase ao uso de telerradiografias da cabeça nos estudos das irregularidades dento-faciais com repercussão na oclusão dentária. Passou-se assim a considerar esta técnica como um marco histórico na evolução da cefalometria radiológica.

Em 1932, DE COSTER²⁸, baseando seus estudos nos trabalhos de HOFRATH⁴⁵, apresentou um método de análise cefalométrica constituído de diagrama reticulado. Para determinar os padrões cefalométricos para o diagrama reticulado, o autor estudou telerradiografias da cabeça de 365 adultos, considerados normais com respeito ao critério facial e dentário, e de 400

crianças nas seguintes faixas etárias: 4 a 6, 6 a 8, 8 a 12, 12 a 15, 15 a 20 anos. Seu método de análise consiste em aplicar o reticulado normal sobre a face deformada.

KORKHAUS⁵⁴, em 1934, enfatizou o uso das telerradio—grafias da cabeça, afirmando que estas se tornariam o elemento—mais importante em Ortodontia e o melhor método de determinação das relações maxilo-faciais.

Continuando seus trabalhos em cefalometria radiológica, KORKHAUS⁵⁵, em 1936, desenvolveu uma análise cefalométrica, determinando padrões que descreviam:

- a) a angulação dos dentes em relação ao plano oclusal;
- b) a posição do plano oclusal em relação ao corpo dos maxilares;
- c) o relacionamento angular dos vários pontos do perfil ósseo com o plano horizontal de Frankfurt e com o plano orbitário;
- d) a posição dos ossos faciais em relação à base do crânio.

SCHWARZ⁸⁶, em 1936, elaborou um método de análise que se divide em duas partes: a) análise das estruturas cranianas;-b) análise da oclusão dentária. Para elaborar seu método de análise, o autor baseou-se nas idéias propostas por SIMON⁸⁷. Estudou também a análise do perfil e afirmou que "não existe um tipo único de perfil ideal; o problema é averiguar qual deveria - ser o perfil de cada paciente e qual a participação da oclusão dentária na sua modificação e, consequentemente, quais são suas alterações".

TODD⁹⁵, segundo ALLEN¹, em 1936, e BROADBENT¹⁷, em 1937, publicaram os resultados de suas pesquisas na Fundação - Bolton. O material utilizado nestas pesquisas, permitiu aos pesquisadores fazerem acuradas determinações na forma e crescimento da face.

BROADBENT¹⁸, em 1937, em artigo subsequente, discutiu o material selecionado de mais de 1.000 telerradiografias da cabeça feitas em seu consultório. O autor indicou o uso da técnica cefalométrica no diagnóstico ortodôntico e destacou o valor de observações periódicas do potencial de crescimento do pacien te antes do tratamento ortodôntico.

Reconhecendo a utilidade e a aplicação das telerradio

grafías da cabeça na pesquisa, BRODIE e colaboradores²⁰, em 1938, apresentaram uma avaliação compreensiva do resultado do tratamento ortodôntico, baseada em material obtido na Universidade de Illinois.

Em 1939, DE COSTER²⁹ reapresentou seu método reticul<u>a</u> do de análise e afirmou: "quando deformamos o reticulado normal, adaptando suas línhas aos pontos cefalométricos da face de formada, temos a expressão gráfica dos desvios, a partir do dia grama normal".

ELMAN³³, em 1940, procurou estabelecer padrões para a posição do primeiro molar inferior permanente na mandíbula. Utilizando-se de 42 casos de Cl.II e 72 casos, na maioria, de Cl.I, o autor chegou à conclusão de que a posição deste dente não diferiu nos dois grupos estudados, quando relacionados com a tangente ao bordo inferior do corpo da mandíbula, e com a tangente ao bordo posterior do ramo da mandíbula.

Em 1941, BRODIE¹⁹ corroborou os conceítos estabelecidos por BROADBENT¹⁸, de que o padrão de crescimento da face da criança normal se desenvolve de uma forma ordenada para baixo e para frente.

Enquanto BROADBENT¹⁸ usou um método de superposição — de traçados seriados, em um ponto estabelecido e fez comparações da cabeça inteira, BRODIE¹⁹ mediu as várias partes da cabeça, — após dividí—la como áreas. Concluiu que "o padrão morfogenético da cabeça humana é estabelecido numa idade bastante tenra e, uma vez estabelecido, não sofre modificações. Após o nascimento, cada área e provavelmente cada osso da cabeça, cresce de acordo com uma taxa constante e decrescente. Essas várias taxas são tão integradas, que o processo de crescimento dos vários pontos ana tômicos recae numa série de linhas retas".

BALDRIDGE⁷, em 1941, estudou a posição anteroposterior do primeiro molar superior permanente e a posição da mandíbula em relação à face e ao crânio, nas maloclusões Cl. I, maloclusões Cl. II divisão I e Cl. II divisão 2. O autor concluiu que este dente assume a mesma posição em relação ao crânio e à face nas três amostras estudadas, ao passo que a mandíbula está numa posição posterior à face e ao crânio nos casos de maloclusão Cl. II, divisão 1. Em 1950, BALDRIDGE⁸ repetiu seus estudos com amostra maior e confirmou suas conclusões anteriores.

MARGOLIS⁶², em 1943, foi o primeiro a relacionar a inclinação axial do incisivo central inferior com o plano sagital tangente ao bordo inferior da mandíbula. Ele chamou de IMPA esse ângulo formado pela intersecção do longo eixo do incisivo central inferior com o plano tangente ao bordo inferior da mandíbula. O valor médio encontrado foi de 90° 7 3°, quando este dente está vertical à sua base óssea.

SPEIDEL & STONER⁸⁸, em 1944, repetiram os estudos de MARGOLIS⁶². Utilizando-se de telerradiografias da cabeça de 42 indivíduos adultos, portadores de oclusão considerada clinica-mente normal, os autores acharam um valor médio de 92,64⁶ 7 - 6,15⁰ para esta relação angular.

TWEED⁹⁶, em 1946, relacionou o plano horizontal de Frankfurt com o plano tangente ao bordo inferior da mandíbula. Concluiu que um aumento nesta medida angular se correlacionava com um decréscimo no potencial de crescimento do paciente e, consequentemente, constituía um prognóstico menos favorável no tratamento da maloclusão.

CORLETT²⁴, em 1947, investigou a posição do incisivo central inferior em relação ao osso basal mandibular, através - de uma perpendicular ao plano mandibular traçada pelo ponto pogônio.

WYLIE¹⁰⁵, em 1947, apresentou um método de análise ce falométrica que permite localizar a discrepância no tamanho dos ossos faciais, que ocorram no plano anteroposterior do espaço, utilizando telerradiografias da cabeça, tomadas em norma lateral. Contrastando com o método apresentado por BRODIE¹⁹, suas medidas foram lineares, em vez de angulares.

Continuando seus trabalhos em cefalometria radiológica, MARGOLIS⁶³, em 1947, estudou 30 crânios de índios. Posterior mente estudou telerradiografias da cabeça de 100 indivíduos ame ricanos, brancos, de 6 a 19 anos, portadores de oclusão conside rada excelente. Seus estudos resultaram na construção do triânegulo maxilo-facial, que leva seu nome. Propôs também a aplicacção desse triângulo na clínica, no diagnóstico de um caso ortodôntico.

BJORK¹³, em 1947, objetivando estudar o prognatismo - facial relacionado com a oclusão, em crianças e jovens suecos, propôs um diagrama facial, cuja configuração linear e angular - determina a quantidade e distribuição desse prognatismo.

BUSHRA²², em 1948, estudou os dados obtidos de telerradiografias da cabeça de 40 indivíduos portadores de oclusão dentária considerada excelente. Determinou estatisticamente as relações angulares de uma série extensa de planos e estabeleceu:

- a) o grau em que a face se movimenta sob o crânio;
- b) a variabilidade e as correlações no relacionamento intra-facial;
- c) a variação e as correlações no relacionamento dento-facial;
- d) a variação e as correlações entre os dentes.

DOWNS³⁰, em 1948, publicou a primeira análise completa para quantificar variações no relacionamento facial. Expressou as variações encontradas num total de 10 medidas, sendo 5 medidas do relacionamento esquelético e 5 do relacionamento den tário. Seus padrões foram obtidos de telerradiografias da cabeça de 20 indivíduos brancos, com idade variando entre 12 e 17 anos, igualmente divididos quanto ao sexo e portadores de oclusão considerada excelente.

Seu método, largamente difundido até hoje, não foi appresentado como padrão de tratamento, mas como um meio de quantificar a severidade da displasia facial e localizar diferencial mente a provável etiologia.

Influenciada pela análise cefalométrica de DOWNS³⁰, - surgiu em 1948 a análise cefalométrica difundida pela "NORTH-WESTERN UNIVERSITY"⁶⁹. Esta análise apresentava algumas modificações, como a substituição do plano horizontal de Frankfurt pela linha sela-násio.

BALLARD⁹, em 1948, propôs uma análise cefalométrica — que sofreu influências, em sua origem, das análises cefalométr<u>i</u> cas propostas por MARGOLIS⁶³, TWEED⁹⁶, DOWNS³⁰, e "NORTHWESTERN UNIVERSITY"⁶⁹. O autor classificou a face de acordo com a relação existente entre a maxila e a mandíbula em face esquelética I, face esquelética II e face esquelética III.

JOHNSON⁵², em 1950, pesquisou as relações do ângulo - formado pelo plano horizontal de Frankfurt e plano mandibular - com a altura total da face e com o ângulo goniaco. Suas pesquisas foram feitas em 150 telerradiografias da cabeça de crianças com oclusão dentária considerada normal e portadoras de aceitá vel morfologia facial. Verificou que o aumento daquele ângulo -

implicava também no aumento do ângulo goníaco e aumento da altura total da face.

GILMORE³⁶, em 1950, estudou a relação da mandíbula — com o crânio e a posição do primeiro molar inferior na mandíbula la. Em seus estudos utilizou-se de telerradiografias da cabeça de 61 indivíduos adultos de ambos os sexos, portadores de oclusão considerada excelente, e de telerradiografias da cabeça de 67 indivíduos adultos, de ambos os sexos, portadores de maloclusão C1. II, divisão l. As análises estatísticas levaram-no às seguintes conclusões, dentre outras:

- a) "a mandíbula do grupo de Cl. II, divisão l, era significantemente menor do que a mandíbula do grupo com oclusão dentária considerada excelente;
- b) a posição do primeiro molar inferior permanente não era constante em sua relação com a mandíbula, quando o méto do de análise de ELMAN³³ foi usado".

COTTON e colaboradores ²⁵, em 1951, aplicaram a análise cefalométrica de DOWNS em três grupos étnicos. Comparando os valores obtidos com aqueles determinados por DOWNS ³⁰, concluiram que "os padrões dento-faciais diferem entre si e que as diferenças são suficientemente significativas". A amostra estudada pelos autores era constituída de indivíduos portadores de oclusão dentária considerada "normal" e possuidores de boa harmonia facial, assim distribuídos étnicamente:

- a) 20 indivíduos negros com idade de 11 a 24 anos;
- b) 20 americanos descendentes de chineses com idade de 11 a 16 anos;
- c) 20 americanos descendentes de japoneses com a idade média de 21 anos.

VORHIES & ADAMS⁹⁹, em 1951, representaram graficamente, em um polígono, as medidas cefalométricas da análise de DOWNS³⁰, de tal modo que elas pudessem ser estudadas e interpretadas em conjunto. Segundo os autores "o polígono cefalométrico ilustra qualitativamente, com maior clareza, uma análise cefalo métrica estática".

CRAIG²⁷, em 1951, apresentou um método de análise cefalométrica em que os pontos cefalométricos são estudados por um sistema de coordenadas cartesianas. Estando o ponto zero do sistema de coordenadas localizado no centro da sela túrcica e o eixo das abscissas paralelo ao plano horizontal de Frankfurt, a posição de qualquer ponto cefalométrico pode ser determinado em milímetros.

KINCAID⁵³, nesse mesmo ano, estudou as telerradiografias da cabeça de 25 crianças com oclusão dentária considerada normal e estabeleceu a posição vertical do primeiro molar superior permanente e do primeiro molar inferior permanente em rela ção, respectivamente, ao plano palatino e ao plano mandibular,quando a mandibula está em repouso.

Para a determinação de padrão esquelético e dentário normais, BAUM¹¹, em 1951, aplicou a análise cefalométrica de DOWNS³⁰, juntamente com algumas medidas propostas por RIEDEL⁷⁶, em telerradiografias da cabeça de indivíduos brancos, portadores de oclusão dentária considerada excelente, na faixa etária dos 12 aos 14 anos.

Na Europa, em 1951, LINDEGARD⁶¹, trabalhando com telerradiografias de dois grupos de crânios, um com 150 amostras e o outro com 176, propôs uma análise craniométrica constituída por dois triângulos. O primeiro, o facial, formado pela intersecção das linhas que unem os pontos Bolton, násio e próstio; o segundo, o mandibular, formado pela intersecção das linhas que unem os pontos condiliano, gônio e mentoniano.

A existência de numerosos métodos de análise nesta época levou KOSKI⁵⁶, em 1951, a rever alguns dos métodos cefalométricos radiográficos empregados no diagnóstico das irregularidades dento-faciais. Fazendo uma análise crítica dos métodos básicos mais largamente utilizados, como os de HOFRATH⁴⁵, — SCHWARZ⁸⁶, KORKHAUS⁵⁵, DE COSTER^{28,29}, TWEED⁹⁶, MARGOLIS⁶³, — DOWNS³⁰ e BJORK¹³, o autor concluiu que "alguns dos métodos apresentados são baseados em idéias e conceitos subjetivos; alguns não são suficientemente versáteis para dar a observação de sejada dos distúrbios do desenvolvimento do complexo dento- facial. Os melhores métodos são aqueles cuja principal ênfase está na composição relativa das estruturas faciais. Em nenhum caso pode o diagnóstico ser baseado exclusivamente em dados cefalométricos".

Em 1952, PRAKASH & MARGOLIS⁷², propuseram uma análise cefalométrica objetivando determinar a sobremordida incisal, a altura da face e a posíção vertical dos primeiros molares e

incisivos centrais superiores e inferiores. Suas pesquisas foram feitas em telerradiografías da cabeça de 36 indivíduos brancos, com oclusão considerada normal, na faixa etária dos 12 aos 30 anos. Esta análise cefalométrica pode ser considerada como um complemento da análise apresentada por MARGOLIS⁶³.

Para analisar a displasia vertical da face, em 1952, WYLIE & JOHNSON 106, propuseram um método que estabelece a correlação entre a displasia anteroposterior e o ângulo formado pelos planos: horizontal de Frankfurt e mandibular. Os autores trabalharam com telerradiografias da cabeça de 97 indivíduos do sexo masculino e de 74 do feminino. Propuseram o uso de transparentes para avaliação rápida dos valores cefalométricos obtidos.

RIEDEL⁷⁶ publicou em 1952 o sumário de seu visando ao grau de "Master of Science" na Northwestern School, em 1948. Estudou telerradiografias da cabeça dos seguin tes individuos: 52 adultos, de 18 a 36 anos, portadores de oclu são dentária considerada normal; 24 crianças de 7 a 11 anos com oclusão dentária considerada excelente; 38 indivíduos com maloclusão Cl. II, divisão 1; 10 indivíduos com maloclusão Cl. II. divisão 2; e 9 indivíduos com maloclusão Cl. III. Sua finalidade era determinar a variação da maxila e da mandíbula em relação à base do crânio. Concluiu não existir diferença significativa na posição da maxila em relação à base do crânio. Todavia, maior variação ocorreu na mandíbula. O autor afirma, ainda, que "o mais significativo achado deste estudo foi a diferença no re lacionamento dos pontos A e B, respectivamente na maxila e mandíbula, relacionamento que, em oclusão dentária considerada normal foi de aproximadamente 20, variando consideravelmente em casos de maloclusão.

WILLIAMS 104, em 1953, procurou determinar estatistica mente as modificações que ocorriam nas proporções crânio-faciais tanto no sentido horizontal, como no sentido vertical, em função da idade. Para tanto, estudou telerradiografias da cabeça de 24 indivíduos masculinos e 6 femininos, portadores de oclusão dentária considerada normal. O autor desenvolveu seus estudos em dois níveis de idade - um no período pré-púbere, com ida de média aproximada de 8 anos, e os repetiu no período pós-púbere, com idade média aproximada de 15 anos. Concluiu que determi nados pontos anatômicos permaneciam proporcionalmente estáveis em relação ao plano vertical (perpendicular à linha sela-nasio).

KOSKI⁵⁷, em 1953, propôs um método de análise cefalométrica para avaliação do perfil, ao estudar telerradiografias da cabeça de 48 indivíduos femininos, portadores de oclusão den tária considerada normal.

MOORREES⁶⁷, nesse mesmo ano, apresentou um novo método de análise cefalométrica de diagrama reticulado. O autor substituiu o plano horizontal de Frankfurt, originalmente tomado como orientação por DE COSTER²⁸, 29, pelo plano sela-násio.

IYER⁴⁸, em 1953, testou o método de análise cefalométrica proposto por MARGOLIS⁶³ e acrescentou algumas linhas e ângulos ao método originalmente proposto. Utilizando-se de telerradiografias da cabeça de moças americanas, brancas, com idade desde 17 até 25 anos, portadoras de oclusão dentária considerada normal, o autor chegou às seguintes conclusões, dentre outras:

- a) "os resultados são bastante semelhantes aos obti--dos por MARGOLIS, apesar da técnica ser diferente na seleção da amostra;
- b) os ângulos do triângulo de MARGOLIS⁶³, sozinhos, não oferecem uma determinação adequada do padrão facial".

A maioria das análises cefalométricas até então conhecida, foram criticadas por STEINER⁸⁹, em 1953, pelo fato de apresentarem um número exagerado de mensurações, dificultando as sim, sua aplicação na prática diária da Ortodontia. Baseando-se nos trabalhos de DOWNS³⁰, RIEDEL⁷⁶, WYLIE¹⁰⁵, MARGOLIS⁶³ e outros, o autor preconizou um método mais simples, objetivando oferecer ao clínico uma análise cefalométrica de aplicação mais fácil. Substituiu o plano horizontal de Frankfurt pela linha se la-násio, em virtude de sua menor variação e da maior facilidade que se encontra para localizar os pontos S (na sela túrcica) e násio. Em 1960, STEINER⁹⁰ reelaborou seu método de diagnóstico em virtude dos trabalhos de HOLDAWAY⁴⁶, sobre a importância do ponto pogôniom na configuração do terço inferior do perfil facial.

HIGLEY⁴², em 1954, determinou padrões cefalométricos para crianças portadoras de dentição decídua e dentição mista. Utilizando-se de uma amostra de crianças brancas, de ambos os sexos, de 4 a 8 anos, verificou estatisticamente o comportamento de 17 medidas lineares e 20 angulares de diferentes análises

(BJORK¹³, DOWNS³⁰, STEINER⁸⁹, RIEDEL⁷⁶).

Nesse mesmo ano, TWEED⁹⁷, num esforço para aplicar a análise cefalométrica ao diagnóstico de rotina e aos problemas de tratamento, construiu o triângulo de diagnóstico facial de Tweed. Os valores padrões dos ângulos desse triângulo foram propostos com o objetivo de estabelecer uma filosofia de tratamento.

BLAIR¹⁵, em 1954, procurou determinar diferenças esta tisticamente significantes nos padrões cefalométricos de 40 casos de Cl. I, 40 casos de Cl. II, divisão 1, e 20 casos de Cl. II, divisão 2, na faixa etária dos 10 aos 14 anos. De seus estu dos, o autor chegou às seguintes conclusões:

- a) "um alto grau de variação do padrão esquelético da face pode ser observado em cada classe das maloclusões estuda—— das;
- b) na amostra estudada de acordo com o método proposto, foram encontradas somente pequenas diferenças entre as médias dos padrões esqueléticos da classe 1, e da classe II, divisão 1".

HOFFER⁴⁴, em 1954, apresentou um método de análise ce falométrica, determinando padrões para o relacionamento dos den tes, da maxila e da mandíbula com a base do crânio.

Nesse mesmo ano, LEROI-GOURHAN⁶⁰, baseado em estudos filogenéticos, propôs um método de análise cefalométrica que - tem por base o paralelismo dos planos do complexo dento-crânio-facial.

GRABER³⁸, em 1954, analisando a aplicação clínica das análises cefalométricas no diagnóstico ortodôntico, fez o seguinte comentário: "Em todas as pesquisas sobre análise cefalométrica há uma grande tentativa para se determinar o padrão nor mal. A verdadeira criação desse conceito "normal" tem sido muito difícil, repleta de expressões matemáticas e de variações — morfológicas e funcionais. As tentativas que têm sido feitas para expressar as relações anatômicas e funcionais em ângulos e números, mudando um fenômeno tridimensional em um diagrama limear dimensional, têm-nos crientado erradamente".

SASSOUNI⁸¹, em 1955, apresentou uma análise cefalométrica para o estudo das relações dento-crânio-faciais. Sugeriu o autor que "uma face é bem proporcionada quando os planos da base do crânio, plano palatino, plano oclusal e plano mandibular prolongados posteriormente, cruzam-se em um ponto comum". Ad
mitiu ele que "em um individuo a proporção dento-crânio-facial
é estabelecida por um equilíbrio entre certos locais de crescimento". Todavia, o autor admite que "não há uma "normalidade" universal; não existe um padrão que possa ser aplicado indiscriminadamente a todas as pessoas. Por essa razão, e um erro perigoso tentar corrigir maloclusões, tomando como referência os
padrões absolutos". Concluindo, o autor afirmou que "uma face bem proporcionada invariavelmente tem oclusão dentária normal,mas esta somente não é suficiente para definir ou estabelecer uma face bem proporcionada".

COBEN²³, em 1955, investigou a variação na forma e crescimento da face humana. Utilizando-se de telerradiografias da cabeça de 47 caucasianos (25 do sexo masculino e 22 do feminino), dos quais 42 possuíam oclusão dentária considerada excelente ou maloclusão Cl. I, o autor concluiu que "há uma infinita variação na forma, tamanho e crescimento de todas as estruturas". Os padrões cefalométricos estabelecidos pelo autor foram baseados em dois estágios do desenvolvimento da criança: um aos 8 anos e outro aos 16 anos.

STONER⁹¹, em 1955, propôs uma análise cefalométrica - do perfil, baseando seus estudos em 34 perfís fotográficos. To- dos os seus pontos são do perfil mole, podendo ser aplicados em telerradiografías da cabeça humana.

COUTAND²⁶, nesse mesmo ano, estudou o relacionamento dos seguintes planos: horizontal de Frankfurt, palatino, mandibular e facial entre si, e propôs padrões cefalométricos para a valiação das anormalidades esqueléticas com repercussão no perfil ósseo.

Em dois artigos subsequentes, JENKINS^{50,51}, apresentou o resultado de suas investigações sobre as variações anatômicas dento-faciais em indivíduos portadores de oclusão dentária considerada normal e maloclusões classe II, divisão 1; maloclusão classe III, divisão 2 e maloclusão classe III. Verificou que os indivíduos com oclusão dentária considerada normal e maloclusões apresentavam morfologia crânio-facial semelhante nas características estudadas, exceto quanto à variação na posição do mento e certas relações dentárias. (1955).

HOLDAWAY⁴⁶, em 1955, propôs um método de análise, que tem como objetivo servir de guia para o tratamento ortodôntico. Po dendo ser considerado um complemento das análises de TWEED⁹⁷ e STEINER⁹⁰, é um reconhecimento de certas limitações no tratamento ortodôntico e uma tentativa de traduzir esses limites quantitativamente. O autor estabeleceu a posição dos incisivos superiores e inferiores de acordo com o valor do ângulo ANB.

Em 1957, os nomes mais proeminentes na evolução da ce falometria radiológica, reunidos em Cleveland, na "Western Reserve University", formaram o "Primeiro simpósio de cefalometria radiológica" 73. O propósito declarado deste simpósio foi uma tentativa para encontrar áreas comuns de concordância com relação a:

- a) zonas comuns de crescimento crânio-facial;
- b) organização de um glossário sobre pontos e planos de referência;
- c) estudo do valor das diversas mensurações;
- d) significado das várias medidas obtidas na investigação do crescimento crânio-facial;
- e) discussão da validade dos padrões em uso na técnica das análises cefalométricas.

Os resultados deste simpósio foram compilados por KROGMAN & SASSOUNI⁵⁹ e editados no "Syllabus", nesse mesmo ano. - Nele são descritos e discutidos pormenorizadamente os problemas - técnicos da obtenção de uma radiografía cefalométrica; os pontos de referência e os pontos mais usados nas diversas análises propostas, e também uma relação de todos os métodos de análise cefalométrica propostos até aquela data.

ELSSASSER³⁴, em 1957, propôs um método de análise do perfil facial humano, através do uso de sistema de coordenadas. O autor deu ênfase ao uso das medidas lineares.

BJERIN¹², nesse mesmo ano, estudou a variação do plano horizontal de Frankfurt e da linha sela-násio, em relação ao
plano horizontal da cabeça. Para a realização deste estudo, o autor utilizou-se de telerradiografias da cabeça de 35 indivíduos (11 do sexo feminino e 24 do masculino), na faixa etária dos 22
aos 36 anos. Tais radiografias foram obtidas com o paciente em
duas posições: sentado e em pé. A variação observada foi razoavel
mente grande, indicando a necessidade de se levar em conta, na análise do perfil, a variação biológica da posição da cabeça.

As relações angulares entre a linha sela-násio, o pla no horizontal de Frankfurt e a linha facial foram determinadas - por HAMILTON⁴⁰ que, em 1957, fez uma investigação cefalométrico-radiográfica em 80 adultos com perfil facial harmonioso e boa oclusão dentária. O autor concluiu que:

- a) "a considerável variação na relação angular entre a linha sela-násio e o plano horizontal de Frankfurt existiu na amostra estudada;
- b) devido a esta variação, o estudo das relações dentárias ou dento-faciais, baseado somente na angulação de um destes dois planos com o plano facial, poderia ser falho".

SASSOUNI⁸², em 1958, fez uma crítica das análises conhecidas, salientando que há necessidade de se aplicar uma análise peculiar a cada caso, para o diagnóstico diferencial; e propôs uma análise tridimensional, que inclui todas as estruturas importantes do esqueleto facial.

Em 1959, mais uma vez se reuniram na Fundação Bolton, Cleveland, os pesquisadores em cefalometria radiológica, para discutir e ordenar os problemas inerentes à técnica. Os resultados - deste simpósio foram publicados por SALZMAN⁷⁹ em 1960, em forma - resumida. Em 1961, SALZMAN⁸⁰ publicou-os num livro.

RICKETS⁷⁴, em 1960, ao analisar o uso da cefalometria radiológica no diagnóstico ortodôntico, assim se expressou: "Muitos esquemas têm sido apresentados sem outro propósito ou razão além da preferência individual do investigador; eu sinto a necessidade de restabelecer os objetivos das assim chamadas análises cefalométricas". Continuando, o autor afirmou: "a avalíação quantitativa da cefalometria radiológica é somente uma parte de toda a sua aplicação clínica. O primeiro propósito dos traçados e medidas é permitir uma descrição crítica; a análise não é uma fórmula para o tratamento, mas um método para descrever condições". Em 1961, RICKETS⁷⁵, na tentativa de simplificar e esclarecer certas idéias com respeito à cefalometria clínica, apresentou um método cefalométrico-radiográfico para descrever e classificar a natureza do problema esquelético e das maloclusões dentárias.

Em 1962, BARNETT¹⁰ utilizou os métodos de análise cefalométrica de DOWNS³⁰, RIEDEL⁷⁶, STEINER⁸⁹, TWEED⁹⁷, para anal<u>i</u> sar as telerradiografias da cabeça de 30 rapazes na faixa etária dos 13 aos 16 anos, perfazendo um total de 90 medidas cefalométr<u>i</u> cas. Através desse estudo, o autor selecionou e apresentou as medidas cefalométricas que considerou essenciais para uma base ab soluta no diagnóstico ortodôntico.

GREENE³⁹, em 1964, desenvolveu estudo semelhante ao aplicar as análises cefalométricas de DOWNS³⁰, NORTHWESTERN UNI-VERTISY"⁶⁹ e SASSOUNI⁸¹, em telerradiografias da cabeça de 30 crianças americanas, brancas, portadoras de oclusão dentária considerada normal, com idade média de 12 anos e 6 meses. Em suas conclusões, o autor assim se expressou: "as infinitas variações - das relações osseas e dentárias tornam impossível o uso rígido de "padrões" em cefalometria radiológica".

Nesse mesmo ano, PAULSON⁷¹, apresentou um método para determinar o padrão cefalométrico de um indivíduo, permitindo visualizar os desvios das medidas cefalométricas em termos de desvio padrão.

Um estudo comparativo entre várias linhas de referência foi realizado em 1964, por SEAL⁸⁴, que estabeleceu correlações entre a linha His e o plano horizontal de Frankfurt com a linha sela-násio, tendo concluído que:

- a) "há menos variação da linha His do que do plano horizontal de Frankfurt, em relação à linha sela-násio;
- b) há uma alta correlação entre estas duas linhas de referência;
- c) a linha His poderia ser usada em substituição ao plano horizontal de Frankfurt, tendo em vista que os pontos que a determinam são ósseos, estão na linha mediana e guardam uma considerável distância entre si". Na realização deste trabalho, o autor utilizou telerradiografias da cabeça de crianças, obtidas por dois diferentes operadores.

ANGELMAN³, em 1964, propôs um método de análise cefalométrico-radiográfico simplificado. Relacionou os ápices dos incisivos superiores e inferiores a um plano comum (násio-apical), e forneceu uma análise posicional do relacionamento anteroposterior das bases apicais.

Novo estudo, empregando as análises cefalométricas de DOWNS³⁰, "NORTHWESTERN UNIVERSITY"⁶⁹ e SASSOUNI⁸¹, foi desenvolvi do por JAHINA⁴⁹, em 1964. Comparando os resultados que obteve com a aplicação dos diversos métodos de análise cefalométrica entresi, o autor observou que "os resultados não eram absolutamente se

melhantes, fato esse que pode, provavelmente, ser atribuído aos - diferentes padrões de "normalidade" determinados pelos autores".

RUMEL⁷⁷, em 1964, estudou a posição anteroposterior - do primeiro molar superior permanente no conjunto crânio e face, através de telerradiografias da cabeça, concluindo que "os valores obtidos para as normas estabelecidas para a posição do primeiro molar superior permanente para um grupo étnico, não se aplicavam a outro".

ARAUJO⁵, nesse mesmo ano, fez uma revisão histórica - dos principais métodos de análise cefalométrica. O autor concluiu que "a análise cefalométrica dos casos de classe I e classe II de Angle nos demonstrou que em ambas as classes podemos encontrar diferentes tipos de maloclusão, que podem ser agrupados conforme o resultado da análise".

Continuando seus trabalhos em cefalometria radiológica, ARAUJO, em 1967, aplicou as medidas cefalométricas, propostas por diversos autores, em telerradiografias da cabeça de 80 in divíduos brancos, na faixa etária dos 11 aos 12 anos, assim distribuidos: 50 indivíduos eram portadores de maloclusão cl. I e 30 de maloclusão cl. II, div. 1. O autor concluiu que "as medidas lineares e angulares utilizadas nas diversas análises cefalométricas necessitam ser revistas e uniformizadas numa tentativa de padronização dos melhores métodos de análises propostos".

NANDA & SASSOUNI⁶⁸, em 1965, aplicaram cinco diferentes métodos de análise para determinar a posição anteroposterior do mento, quando utilizados diferentes planos de referências, che gando a resultados contraditórios, quando as diferentes análises cefalométricas foram aplicadas nos mesmos casos.

TAYLOR & HITCHCOCK⁹², em 1966, estudaram telerradio—grafias da cabeça de 40 crianças americanas, predominantemente su listas, portadoras de oclusão dentária considerada normal e divididas quanto ao sexo em 17 meninos e 23 meninas. Os autores analisaram 32 medidas cefalométricas propostas por diferentes autores e, desse total, selecionaram 16 medidas, que se apresentaram esta tisticamente significantes. Com essa base, propuseram o seu método de análise cefalométrica.

MERRIEFIELD⁶⁴, em 1966, estudou 120 telerradiografias da cabeça de pacientes julgados de boa estética facial e propôs - um método de análise do perfil, para guiar o ortodontista em

seus propósitos de alcançar a máxima harmonia facial. Segundo o autor, "a medida do ângulo Z dá uma descrição crítica do relacionamento da face inferior e elimina o vago julgamento a olho".

A fim de comparar a variabilidade de 5 diferentes linhas crânio-faciais, comumente usadas em cefalometria radiológica como linhas de referência, WEY¹⁰³, em 1968, fez uma investigação para identificar a que menos variasse. Esse estudo comparativo, efeito em telerradiografias da cabeça de 50 estudantes universitários do sexo masculino, mostrou que a linha sela-násio foi a menos variável.

SASSOUNI⁸³, em 1969, definiu quatro tipos faciais básicos, sendo dois na dimensão anteroposterior e dois na dimensão vertical. Segundo o autor, "eles são síndromes de características, que em conjunto podem criar uma deformidade facial".

THOMAZINHO 93, em 1970, procurou estabelecer uma análise do conjunto crânio e face, para efeito do diagnóstico das irregularidades que comprometem a integridade desta estrutura. Concluiu que "há um padrão facial que representa o "padrão médio" para indivíduos portadores de oclusão dentária considerada normal; o padrão esquelético da face, projetado em uma radiografia cefalométrica em norma lateral, pode ser diagnosticado por meio da análise cefalométrica proposta, que nos permite estabelecer o prognóstico do tratamento ortodôntico, de acordo com o desvio que as variáveis apresentam em relação aos valores que determinam o padrão facial médio".

Analisando a cefalometria radiológica aplicada na interpretação das irregularidades dento-faciais, WAITE¹⁰⁰, em 1971, assim se expressou: "A relação entre o esqueleto facial, o perfil, e as estruturas orais é a base da cefalometria. A análise cefalométrica, quando aplicada e interpretada corretamente, dará informação sobre a necessidade de tratamento ortodôntico ou cirúrgico, ou ambos".

MOORE⁶⁶, nesse mesmo ano, discutiu a técnica radiográfica cefalométrica como método de diagnóstico, bem como sua aplicação para cirurgia ortodôntica, e opinou: "Radiografia cefalométrica é usada para estudar efeitos do crescimento e desenvolvimento na morfologia esquelética da face e avalíar os efeitos das forças ambientais controladas, no relacionamento espacial dos dentes e maxilares. Uma avaliação cefalométrica radiográfica torna possí

vel determinar áreas de displasias, ajudando a predeterminar os efeitos de alternativas cirúrgicas e ortodônticas no padrão dento-facial".

HOPKINS & MURPHY 47, em 1971, estudaram telerradiografias da cabeça de 60 indivíduos igualmente divididos quanto ao sexo, desde os 13 anos até 22, concluindo que os rapazes apresentaram modificações mais acentuadas de crescimento do que as meninas.

Nesse mesmo ano, KOWALSKI & WALKER⁵⁸, aplicaram o - triângulo de diagnóstico facial de Tweed em uma amostra grande, de indivíduos que apresentavam oclusão dentária considerada normal, concluindo que o ângulo, formado pelo plano horizontal de Frankfurt e o plano mandibular, tende a diminuir com a idade.

Continuando seus trabalhos em cefalometria radiológica, WALKER & KOWALSKI¹⁰¹ estudaram nesse mesmo ano o comportamento do ângulo ANB aplicado em 1.100 indivíduos com oclusão dentária considerada normal ou aceitável; compararam os seus resultados com os de STEINER⁸⁹, achando uma variação estatisticamente significante.

Em 1972, HARKNESS e colaboradores 41 estudaram telerra diografias da cabeça de 275 meninas britânicas, com idade média a proximada de 12 anos, portadoras de oclusão dentária considerada normal. Seus estudos objetivaram determinar padrões cefalométri—cos que pudessem ser usados nas análises cefalométricas pelos ortodontistas das Ilhas Britânicas.

Em 1973, WALKER & KOWALSKI¹⁰² estudaram a distribuição dos ângulos SNA e SNB em 1.100 casos que apresentavam oclusão den tária considerada normal.

BUGG e colaboradores 21 , em 1973, estudaram as medidas cefalométricas descritas por RIEDEL 76 , TWEED 97 , DOWNS 30 , em 60 telebradiografias de crianças de 4 a 5 anos, de origem latino-americana.

Ao compararem seus resultados com os de HIGLEY, verificaram que existiam algumas diferenças, que poderiam ser atribuidas à diferença de grupos étnicos.

CAPÍTULO III

MATERIAL E MÉTODOS

MATERIAL

Foram utilizadas 80 crianças brasileiras, brancas, na faixa etária de 11 anos completos aos 15 anos incompletos, de ambos os sexos, residentes em Piracicaba, portadoras de oclusão dentária considerada "normal", segundo ANGLE⁴. A distribuição da amostra de acordo com o sexo e idade se encontra no quadro I.

QUADRO I

DISTRIBUIÇÃO DA AMOSTRA DE INDIVÍDUOS PORTADORES DE OCLUSÃO DEN
TÁRIA CONSIDERADA "NORMAL", SEGUNDO SEXO E IDADE

T T) A T) Ti	SE	SEXO	
IDADE	MASCULINO	FEMININO	
11 12	5	6	
12 13	18	10	
13 14	7	14	
14 15	10	10	

Esta amostra de indivíduos portadores de oclusão dentária considerada "normal" foi obtida mediante uma triagem feita entre 1.623 estudantes do curso secundário de estabelecimentos de ensino de Piracicaba.

Dos 1.623 escolares examinados clinicamente, 80 foram selecionados e radiografados em norma lateral, de acordo com a técnica preconizada por BROADBENT¹⁶, observando-se os métodos - internacionalmente conhecidos. Para isso, os seguintes materiais foram utilizados:

- a) aparelho de RX D/3, marca "GE", de 90 Kvp e 30mA;
- b) cefalostato tipo BROADBENT-BOLTON 16;
- c) porta-filme do tamanho 18 cm x 24 cm, com tela intensificadora;
- d) películas radiográficas do tamanho 18 cm x 24 cm da "Kodak Blue brand";
- e) filtro de alumínio de FREITAS³⁵, para obtenção do perfil da parte mole.

METODOS

O levantamento populacional dos escolares portadores de oclusão dentária considerada normal obedeceu a critérios previamente determinados, empregados segundo a sua ordem de apresentação, como segue:

1 - Exame clínico

O exame clínico foi realizado em 1.623 escolares do curso secundário dos estabelecimentos de ensino de Piracicaba,—dos quais foi selecionada uma amostra de 80 escolares, homogê—nea em relação aos seguintes fatores:

1.1 - Identificação

1.1.1 - Idade

Procuramos selecionar indivíduos que se enquadrassem na faixa que julgamos ideal para o tratamento ortodôntico, evitando uma faixa de idade grande, que sofrería modificações pro-

vocadas pelo crescimento e desenvolvimento das estruturas que compõe o complexo crânio-facial.

Assim, foi estabelecida a faixa etária de 11 anos com pletos aos 15 anos incompletos para compor a amostra de indivíduos portadores de oclusão dentária considerada "normal".

1.1.2 - Cor da pele

Examinaram-se neste estudo apenas escolares brancos,por ser este caráter cromático um dos fatores de classificação de grupos étnicos.

Esse caráter cromático da pele foi verificado em seus ascendentes até a segunda geração, como demonstra a ficha de exame clínico.

1.1.3 - Nacionalidade

O grupo selecionado é constituído apenas de indivíduos brasileiros residentes em Piracicaba, conforme demonstra a ficha de anotações do exame clínico, cujo modelo é apresentado a seguir:

UNIVERSIDADE ESTADUAL DE CAMPINAS FACULDADE DE ODONTOLOGIA DE PIRACICABA Nº Curso de Pós-Graduação em Ortodontia

Nome			
Endereço		ny	Fone
Data de Nascime	ento://	Idade:anos	meses
Sexo		Cor	
Local de Nascin	nento		
Escola	,,,,,,,,,,,,,,,,,,,,,,,,,,,,,,,,,,,,,		
Endereço	······································		
Série	Turma	_ Sala	Turno
(Pai Filiação ∮Locs	l de Nascimento		
§Mãe	l de Nascimento	······································	
Avós paternos	Avó	ento	_ Cor
Avós maternos	(Avô Local de Nascime Avó	ento	Cor
Tipo de oclusão	: Normal ()		
_	tares: Incidência ;ivas		
Dent	tes permanentes e	xtraídos ———	***************************************

1.2 - Exame clínico propriamente dito

1.2.1 - Desenvolvimento físico

Para que não houvesse comprometimento da homogeneidade da nossa amostra, foram excluídos os casos que não apresenta vam um desenvolvimento físico normal.

1.2.2 - "Oclusão normal" dos dentes

Adotamos para seleção da amostra as oclusões dentárias que apresentassem características mais próximas da oclusão dentária normal estabelecida por ANGLE⁴.

Dos 1.623 escolares examinados, 80 apresentavam a dentição permanente completa, com exceção dos terceiros molares e, em alguns casos, os segundos molares não ocluídos totalmente.

Pela simples observação visual do paciente com a boca aberta, os dentes foram examinados segundo as seguintes características: higidez, ausência de anomalias de forma, de tamanho, de posição; presença de cáries e restaurações satisfatórias.

Estando o paciente com a boca fechada e os dentes em oclusão, observou-se que os mesmos apresentavam uma aceitável - relação entre os planos inclinados das cúspides dentárias.

As figuras 1, 2, 3, 4, 5, 6, 7, 8 e 9 ilustram um dos casos que compõem a amostra de indivíduos portadores de oclusão dentária considerada "normal".



Fig. 1 - Fotografia da face, em norma frontal.



Fig. 2 - Fotografia da face, em norma lateral.



Fig. 3 - Fotografia da boca, em norma frontal.

Dentes anteriores em oclusão.



Fig. 4 - Fotografia da boca, em norma lateral esquerda. Dentes posteriores em oclusão.

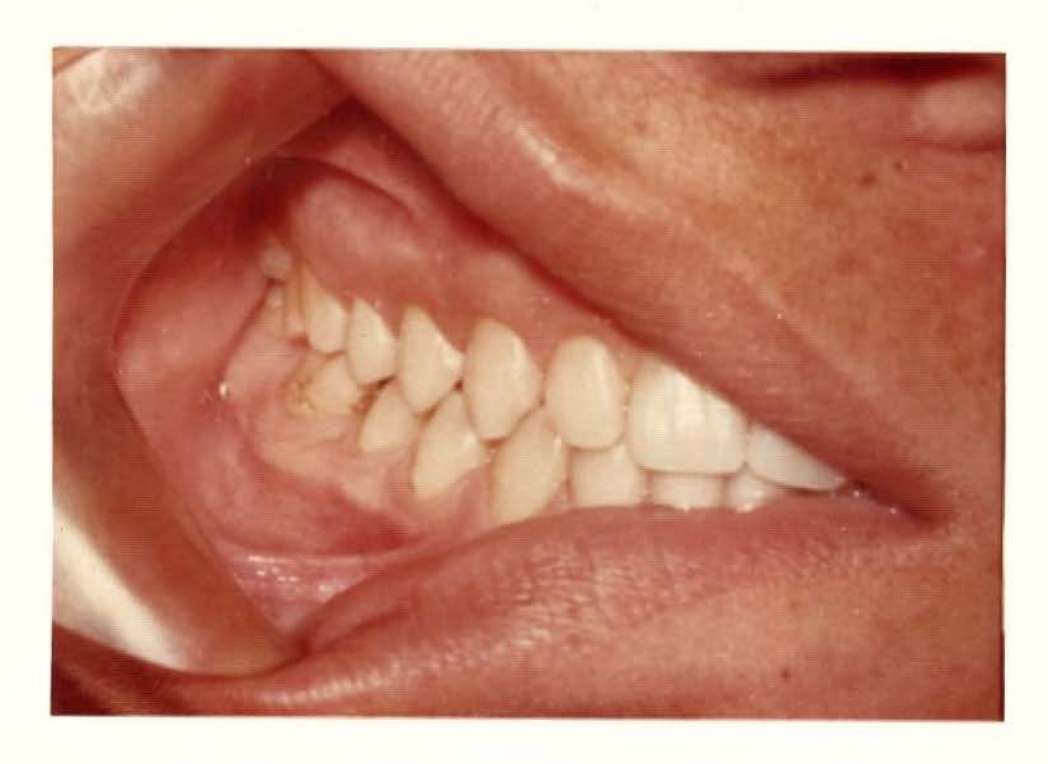


Fig. 5 - Fotografia da boca, em norma lateral Direita. Dentes posteriores em oclusão.

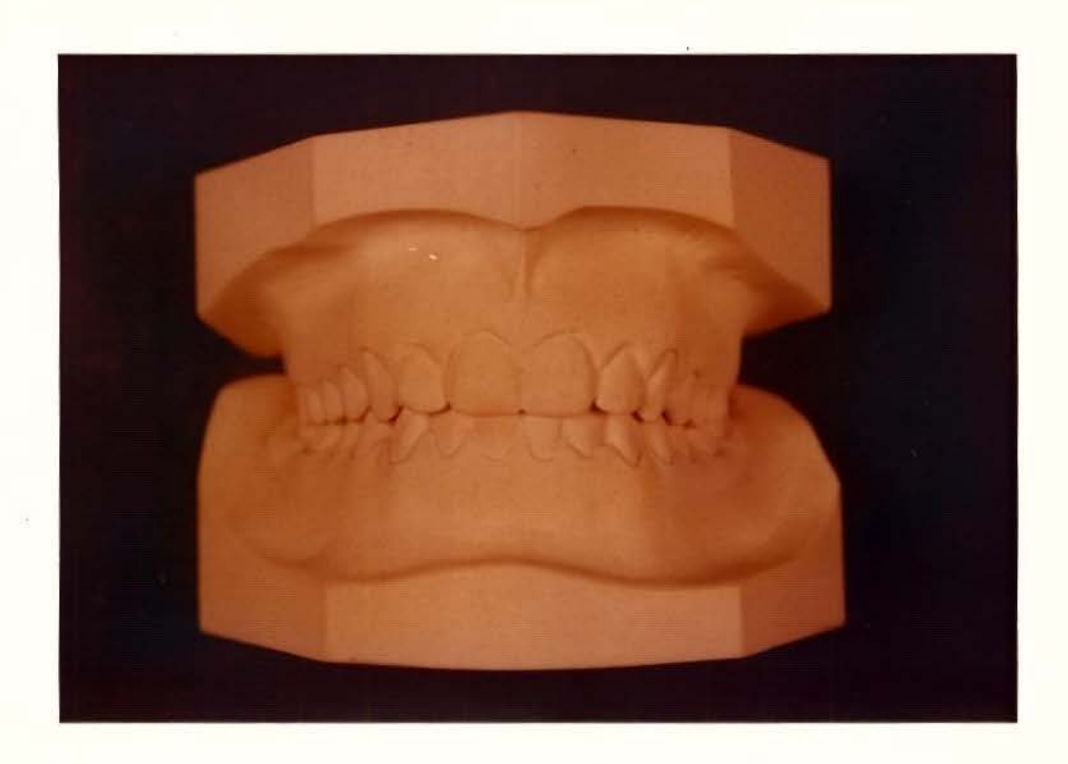


Fig. 6 - Fotografia dos modelos de gesso em norma frontal. Dentes anteriores em oclusão.

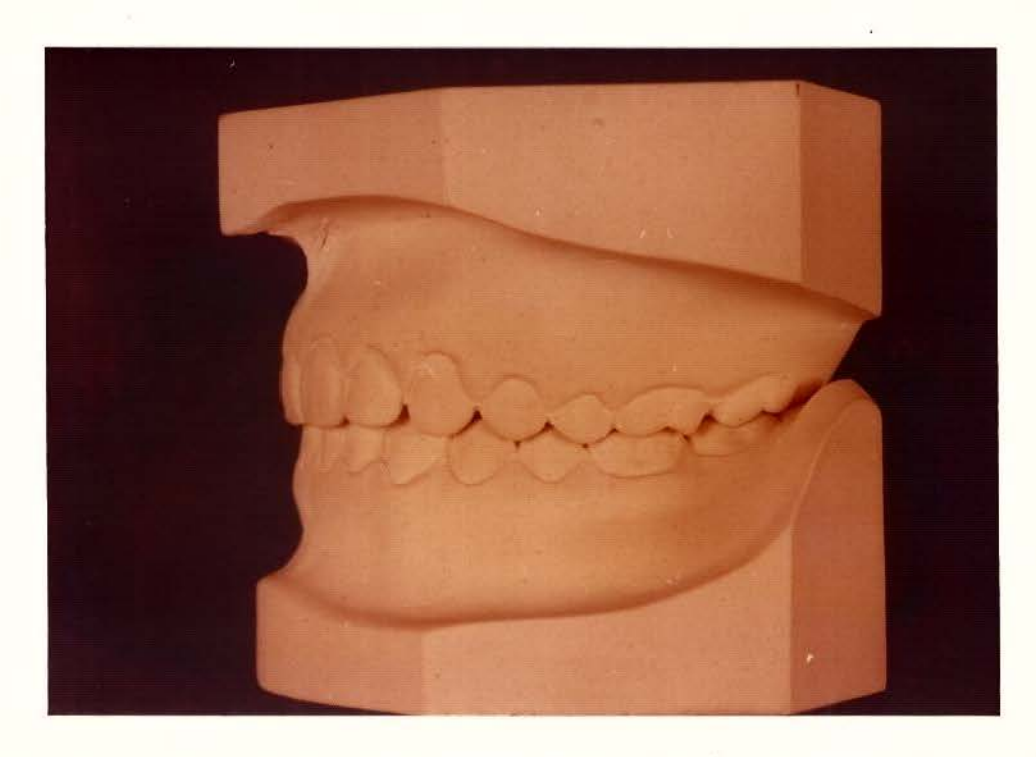


Fig. 7 - Fotografia dos modelos de gesso, em norma lateral esquerda. Dentes posteriores em oclusão.

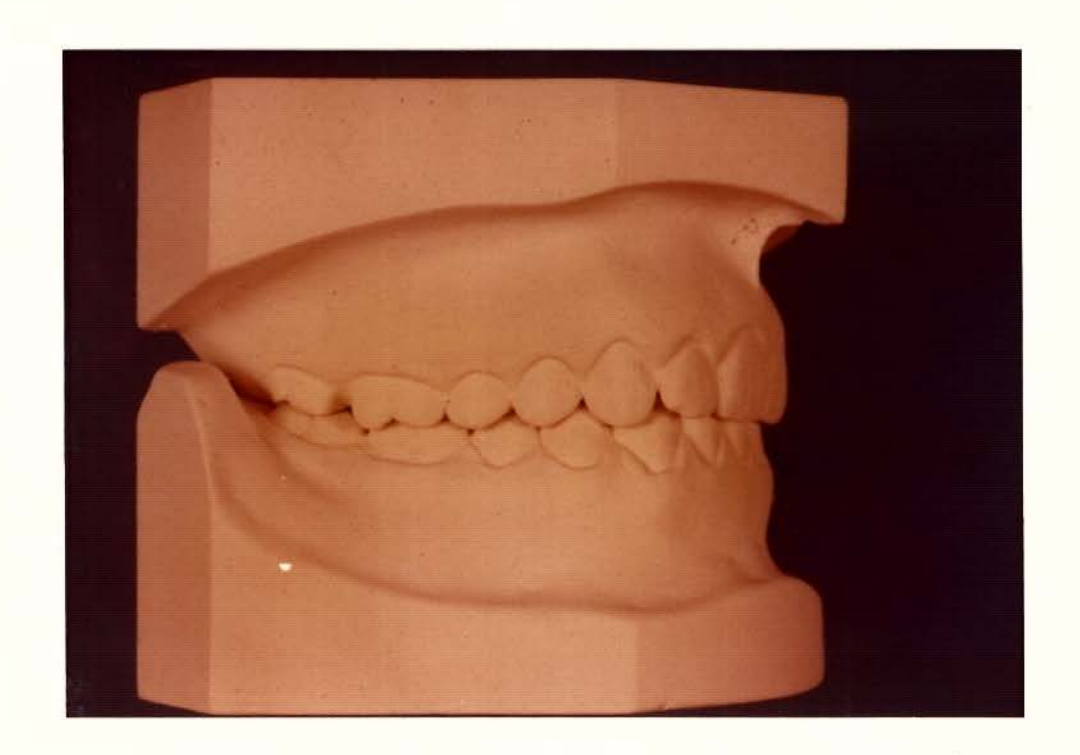


Fig. 8 - Fotografia dos modelos de gesso, em norma lateral direita. Dentes posteriores em oclusão.



Fig. 9 - Fotografia oclusal dos modelos de gesso

2 - Exame radiográfico

2.1 - Tomada das telerradiografias da cabeça dos escolares

Os 80 pacientes selecionados através do exame clínico . foram submetidos a exame telerradiográfico da cabeça, em norma lateral, de acordo com a técnica preconizada por BROADBENT¹⁶, - com os dentes em oclusão cêntrica. As seguintes medidas padronizadas foram usadas:

- a) distância da ampola do Raio X ao plano mediano sagital da cabeça do paciente: 1.386 mm;
- b) distância do plano mediano sagital da cabeça do paciente ao filme: 105 mm (em média);
- c) regularem do aparelho de Raio X: 25 miliamperes e 70 kilovolts;
- d) 1/9 segundo de exposição.

Os filmes foram revelados em tempos que variaram de acordo com a temperatura ambiente. A fixação foi feita imediata mente após a revelação por um período de 10 minutos.

2.2 - Confecção dos cefalogramas

Nas telerradiografias obtidas da cabeça de cada paciente foram traçados cefalogramas, em papel "ultraphan". Estes traçados são compostos de 10 medidas angulares e 5 medidas lineares propostas pelos autores: DOWNS³⁰, TWEED⁹⁷, RIEDEL⁷⁶, WYLIE¹⁰⁵, WYLIE & JOHNSON¹⁰⁶, STEINER⁸⁹ e MERRIEFIELD⁶⁴. Essas medidas cefalométricas são adotadas no Curso de Pós-Graduação em Ortodontia de Piracicaba, na avaliação do caso ortodôntico.

Na confecção dos cefalogramas e obtenção das medidas foram empregados os seguintes materiais: telerradiografias da cabeça, negatoscópio, papel "ultraphan", fita adesiva, lapiseira com grafite 0,3 mm; régua milimetrada com aproximação de 0,5 mm, transferidos com aproximação de 1/4 de grau, esquadro e "template".

Para as estruturas anatômicas bilaterais, que apresen

^{*} Não fizemos a tradução do inglês, porque esta palavra já está consagrada pelo uso em Ortodontia.

tavam duas imagens radiográficas, foi traçada sempre a menor imagem, ou seja a mais próxima ao filme, por representar com
maior aproximação o tamanho real das estruturas radiografadas (no presente estudo, as do lado esquerdo).

No traçado dos cefalogramas, usamos vários pontos, linhas e planos cefalométricos, que foram definidos por KROGMAN & SASSOUNI⁵⁹, no "A Syllabus in roentgenographic cephalometry", e ditado pela Livraria do Congresso, em 1957.

2.2.1 - Glossário dos pontos, linhase planos cefalométricos usados

- 2.2.1.1 Pontos cefalométricos situados no plano mediano sagital
- 1) Ponto S: localizado no centro da sela túrcica e determinado pelo cruzamento dos eixos maior e menor do seu contorno.
- 2) Ponto N (Násio): situa-se na parte mais anterior da sutura naso-frontal, vista em norma lateral.
- 3) Ponto A (de DOWNS³⁰): localizado na parte mais profunda da concavidade sub-espinhal, na pré-maxila, logo abaixo da espinha nasal anterior e logo acima do próstio.
- 4) Ponto B (de DOWNS³⁰): situado na parte mais profunda da concavidade supra-mentoniana, logo abaixo do infradental e logo acima do pogônio.
- 5) Ponto Pg (pogônio): corresponde ao ponto mais anterior do mento ósseo.
- 6) Ponto Gn (gnátio): localizado no contorno externo da sínfise do mento, determinado pela bissetriz do ângulo forma do pela linha facial com o plano mandibular.
- 7) Ponto Me (mentoniano): situa-se no limite mais inferior da curva da sínfise mentoniana, em um ponto em que se encontram as linhas externas das imagens das corticais vestibular e lingual.

A figura 10 ilustra a localização dos pontos cefalomé tricos situados no plano mediano sagital descritos.

2.2.1.2 - Pontos cefalométricos bilaterais

- 1) Ponto Po (pório): localizado no ponto médio da borda superior do conduto auditivo externo, correspondendo, nas telerradiografías da cabeça, ao ponto mais superior do contorno da imagem da oliva metálica esquerda do cefalostato.
- 2) Ponto Or (orbitário): situado na parte mais inferior do rebordo orbitário esquerdo.
- 3) Ptm (fissura ptérigo maxilar): não se trata real--mente de um ponto, mas sim da imagem radiolúcida dessa fossa, -cujo contorno anterior representa a tuberosidade retromolar da maxila e o contorno posterior, a margem anterior do processo -pterigoideo do esfenóide.

A localização dos pontos cefalométricos bilaterais, é demonstrada em norma lateral na figura 10.

2.2.1.3 - Linhas cefalométricas

- 1) Linha SN (sela túrcica-Násio): determinada pelos pontos S e N.
- 2) Linha NA (Násio-ponto A): determinada pela união dos pontos N e A.
- 3) Linha NB (Násio-ponto B): determinada pela união dos pontos N e B.
- 4) Linha SGN (sela túrcica-gnátio): determinada pela união dos pontos S e Gn.
- 5) Linha do longo eixo do incisivo central superior determinada pela união de um ponto médio da borda do incisivo central superior com um ponto médio de seu ápice radicular.
- 6) Linha do longo eixo do incisivo central inferior:determinada pela união de um ponto médio da borda incisal do
 incisivo central inferior com um ponto médio de seu ápice radicular.
- 7) Linha do perfil, de MERRIEFIELD⁶⁴: determinada pela união do ponto pogônio mole, e plano horizontal de Frankfurt. Ela tangencía o lábio mais protruído, superior ou inferior.

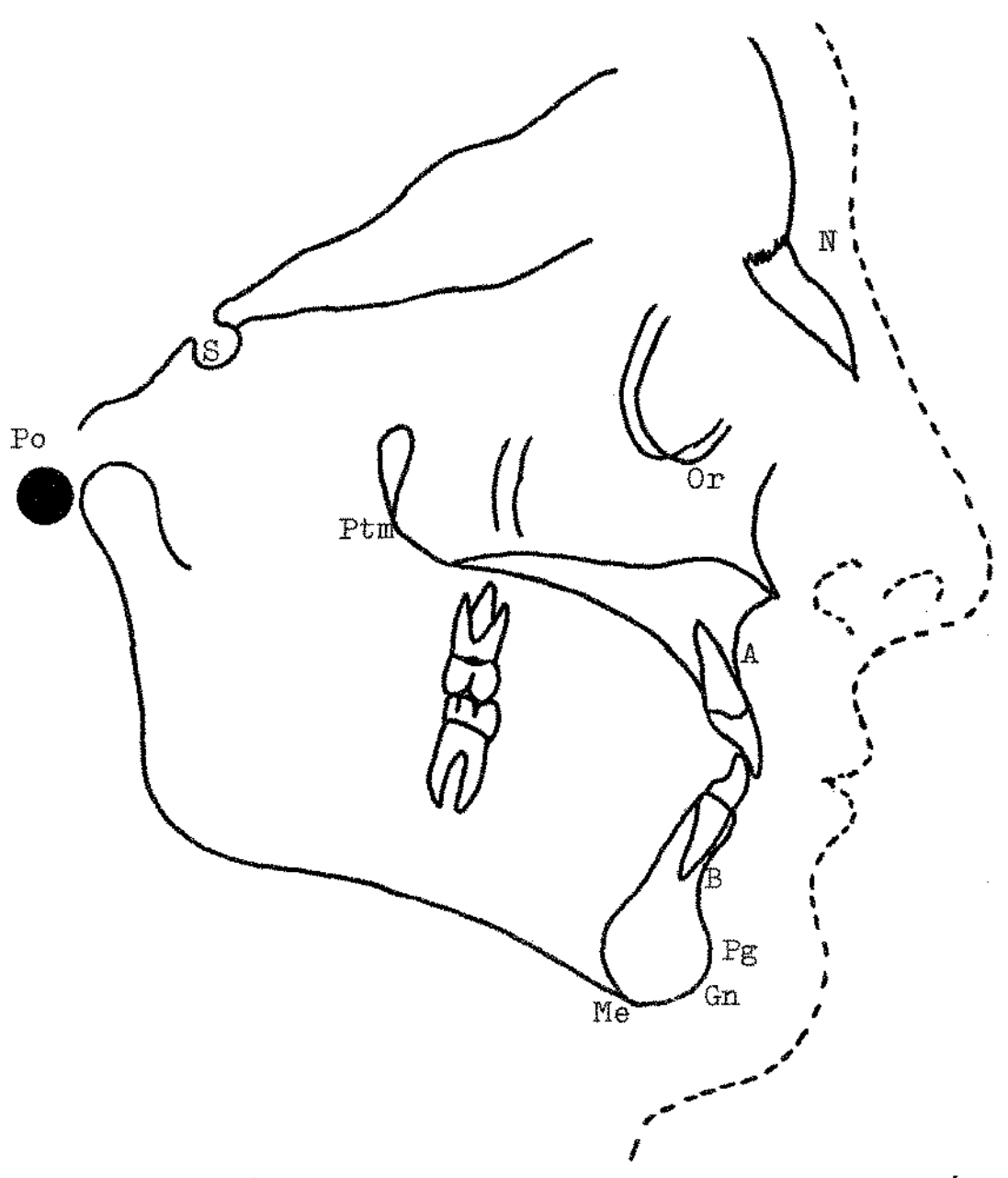


FIG. 10 - Localização em norma lateral dos pontos cefalométricos bilaterais e aqueles situados no plano mediano sagital.

2.2.1.4 - Planos cefalométricos

- l) Plano horizontal de Frankfurt: é o plano que vai do pório cefalométrico (Po) ao ponto orbitário (Or).
- 2) Plano mandibular: utilizamos em nossos cefalogra--mas, a exemplo de MARGOLIS⁶³, o plano tangente ao bordo inferior do corpo da mandibula.

2.3 - Aplicação da análise cefalométrica

Com os dados obtidos dos cefalogramas, foi feita para cada caso a análise cefalométrica, a fim de observar as relações dos dentes com as estruturas do crânio e da face, e destas entre si. Adotamos a análise cefalométrica usada pelo Curso de Pós-Graduação em Ortodontia da Faculdade de Odontologia de Piracicaba, da Universidade Estadual de Campinas, cujas medidas passaremos a descrever:

- 1) Ângulo SNA, de RIEDEL 76, determinado pela intersecção da linha SN com a linha NA, determinando o grau de protrusão ou retrusão da maxila, em relação à linha SN. Fig. 11.
- 2) Ângulo SNB, de RIEDEL⁷⁶, formado pela intersecção da linha SN com a linha NB, determinando o grau de protrusão ou retrusão da mandíbula em relação à base do crânio. Fig. 11.
- 3) Ângulo ANB, de RIEDEL⁷⁶, determinado pela intersecção das linhas NA com a linha NB. Estabelece a relação anteroposterior entre maxila e mandíbula através do ponto N. Representa a diferença entre os dois ângulos anteriormente citados. Fig. 11.
- 4) Ângulo FMA, de TWEED⁹⁷, formado pela intersecção do plano mandibular e o plano horizontal de Frankfurt. Fig. 12.
- 5) Ângulo FMIA, de TWEED⁹⁷, formado pelo cruzamento da linha do longo eixo do incisivo central inferior com o plano horizontal de Frankfurt. Fig. 12.
- 6) Ângulo IMPA, de TWEED⁹⁷, determinado pela intersecção da linha do longo eixo do incisivo central inferior com o plano mandibular. Fig. 12.
- 7) Ângulo Y do crescimento, de DOWNS³⁰, determinado pelo cruzamento da linha SGn com o plano horizontal de Frankfurt. Estabelece a direção de crescimento da mandíbula no sentido ver tical e anteroposterior. Fig. 13.

- 8) Ângulo Z, do perfil, de MERRIFIELD⁶⁴, determinado pelo cruzamento da linha de perfil com o plano horiz**o**ntal de Frankfurt. Fig. 14.
- 9) Ângulo incisivo central superior NA, de STEI-NER⁸⁹, formado pela intersecção da linha do longo eixo do incisivo central superior com a linha NA, determinando o grau de inclinação axial deste dente em relação à linha NA. Fig. 15.
- 10) Ângulo incisivo central inferior NB, de STEI-NER⁸⁹, formado pelo cruzamento da linha do longo eixo do incisi vo central inferior com a linha NB, estabelecendo o grau de inclinação deste dente em relação à linha NB. Fig. 15.

2.3.2 - Medidas lineares

- l) Comprimento da mandíbula, de WYLIE¹⁰⁵, corresponde ao comprimento total da mandíbula, determinado pela projeção or togonal do pogônio e do ponto mais posterior do côndilo da mandíbula, no plano mandibular. Fig. 16.
- 2) Comprimento da maxila, corresponde à distância obtida entre a projeção ortogonal do ponto A, de DOWNS 30, e a projeção da parte mais anterior da fissura ptérigo-maxilar, no pla no horizontal de Frankfurt. Esta medida foi utilizada inicial-mente por WYLIE 105, que a definiu como sendo: "a distância entre a projeção da fossa ptérigo-maxilar e a projeção da espinha nasal anterior (ENA), no plano horizontal de Frankfurt". Porém, aceitando as críticas formuladas por HOFFER 44, com respeito à dificuldade que se encontra para determinar precisamente a espinha nasal anterior (ENA), nas telerradiografias, adotamos para avaliar o comprimento da maxila o ponto A, de DOWNS 30, por ser mais fácil de se determinar e mais representativo do limite anterior da maxila. Fig. 16.
- 3) Altura total da face, N-Me, de WYLIE & JOHNSON 106, corresponde à distância entre os pontos N e Me. Fig. 17.
- 4) Distância em mm incisivo central superior NA, de STEINER⁸⁹, determina a distância entre o ponto mais anterior deste dente projetado ortogonalmente na linha NA. Determina a posição anteroposterior deste dente em relação à linha NA.Fig. 15.
 - 5) Distância em mm incisivo central inferior NB, de

STEINER⁸⁹, determina a distância entre o ponto mais anterior - deste dente projetado ortogonalmente na linha NB. Determina a posição anteroposterior deste dente em relação à linha NB. Fig. 15.

Na figura 18 apresentamos a fotografia de uma telerra diografia da cabeça e o seu respectivo cefalograma, que ilustram a analise cefalométrica de um dos casos selecionados.

* *

Ângulo SNA = 1 Ângulo SNB = 2 Ângulo ANB = 3

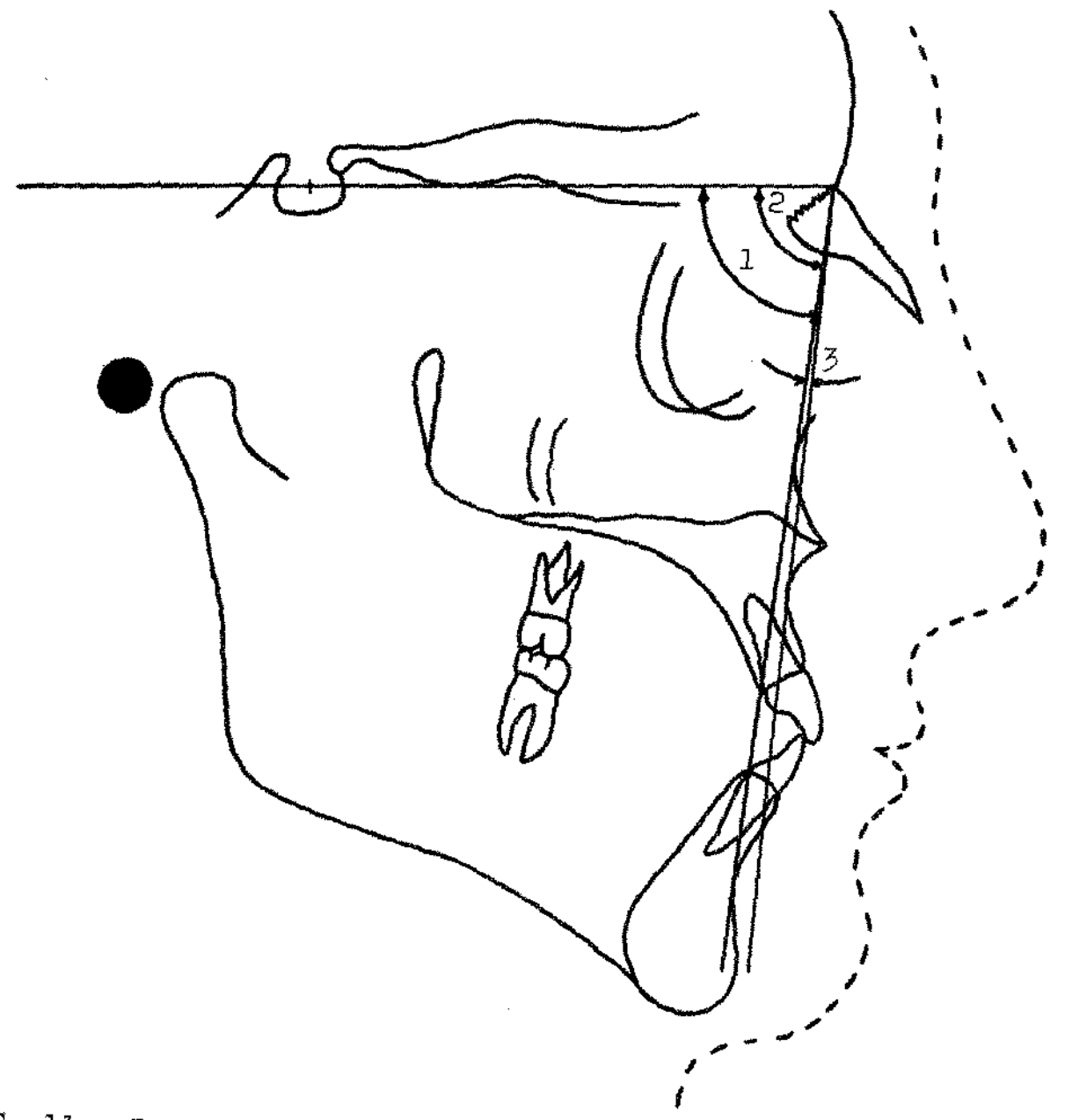


FIG. 11 - Localização dos ângulos SNA, SNB e ANB

Ângulo FMA = 1 Ângulo FMIA= 2

Ângulo IMPA= 3

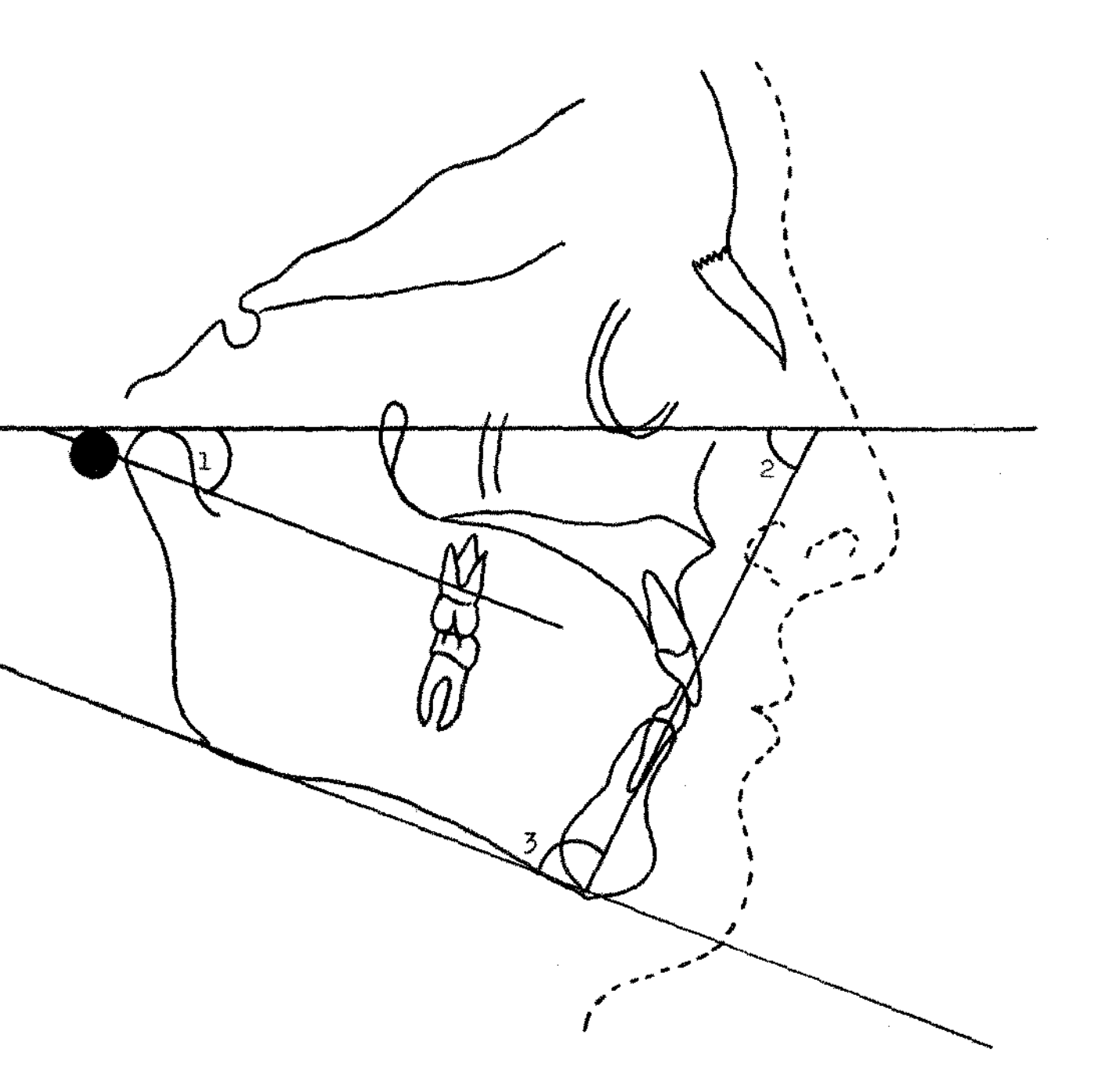
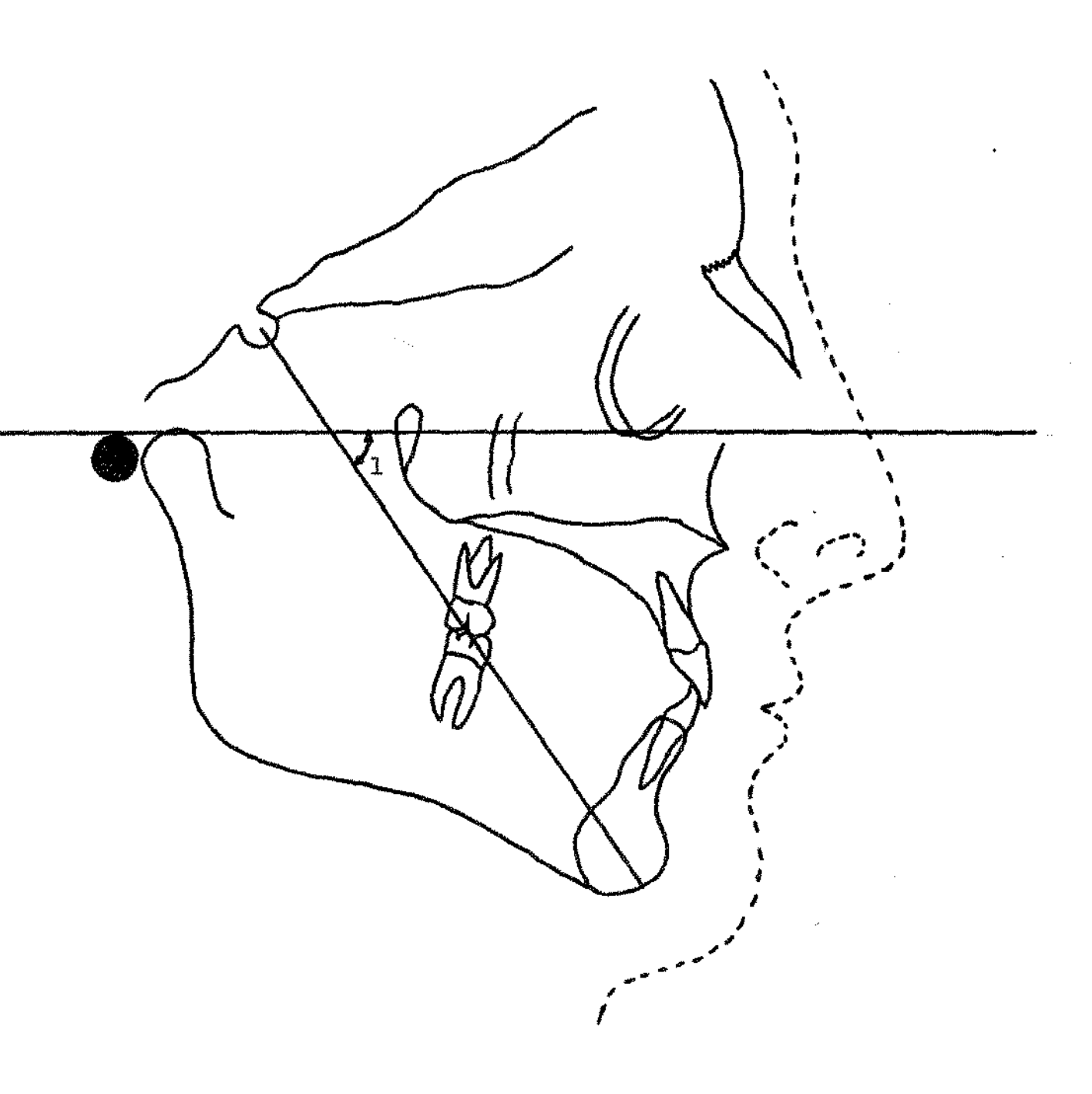


FIG. 12 - Localização dos ângulos FMA, FMIA e IMPA.

 \hat{A} ngulo Y = 1



FTG. 13 - Localização do ângulo Y

Ângulo Z = 1

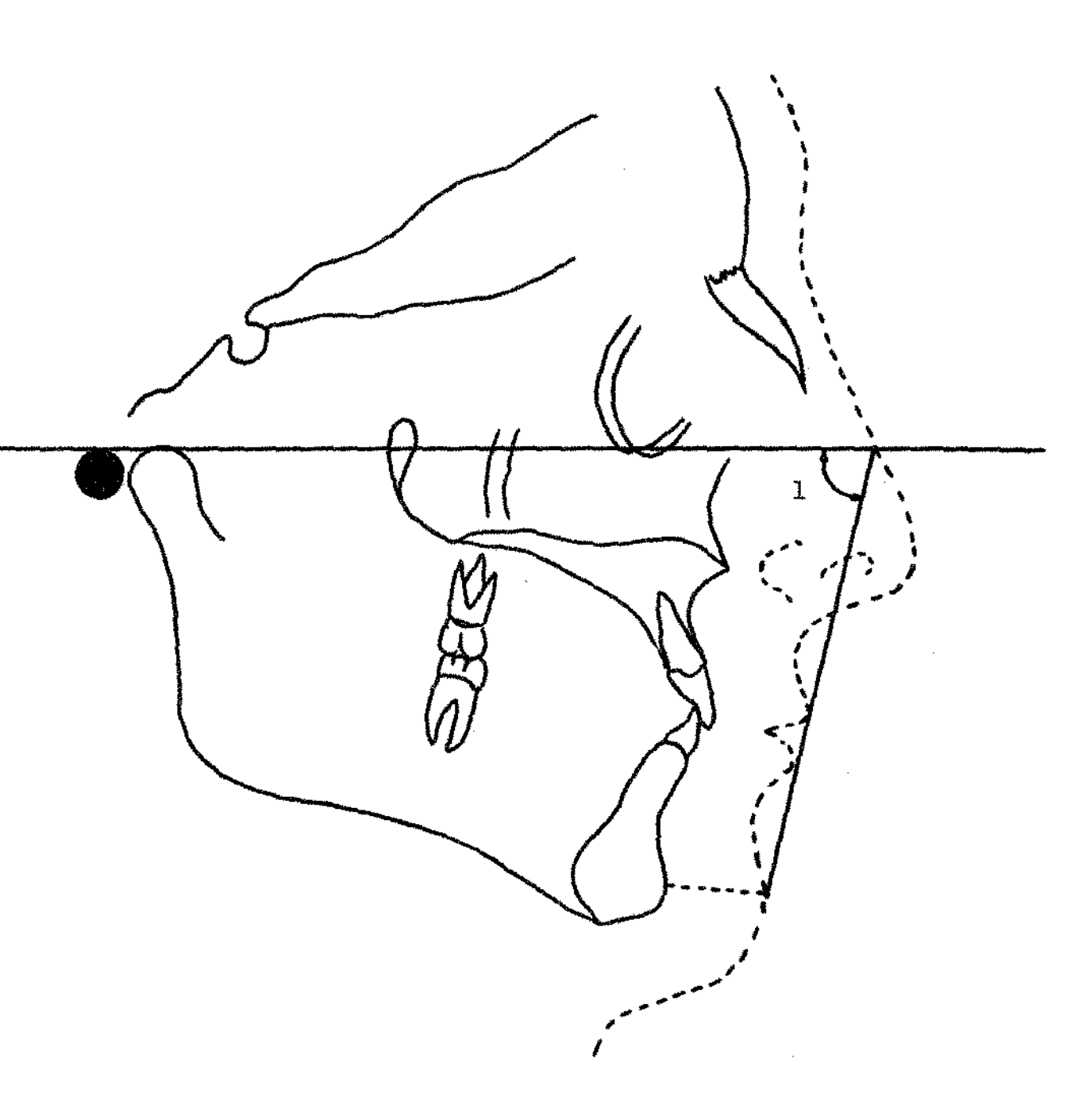


FIG. 14 - Localização do ângulo Z

ângulo 1 - NA = 1ângulo T - NB = 2Distância em mm 1 - NA = 3Distância em mm 1 - NB = 4

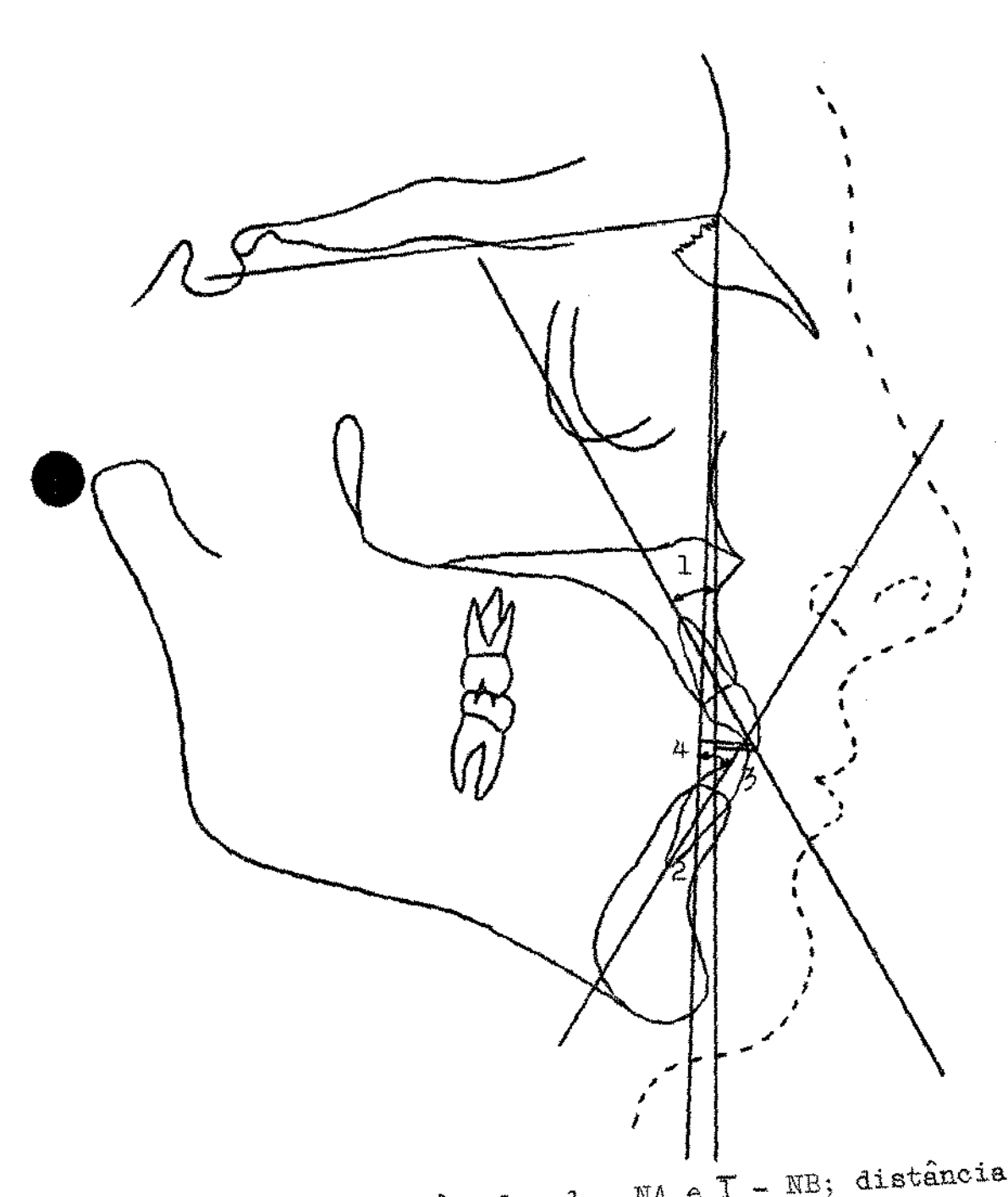


FIG. 15 - Localização dos ângulos <u>1</u> - NA e T - NB; distâncias em mm <u>1</u> - NA e T - NB.

Comprimento da maxila = 1 Comprimento da mandíbula = 2

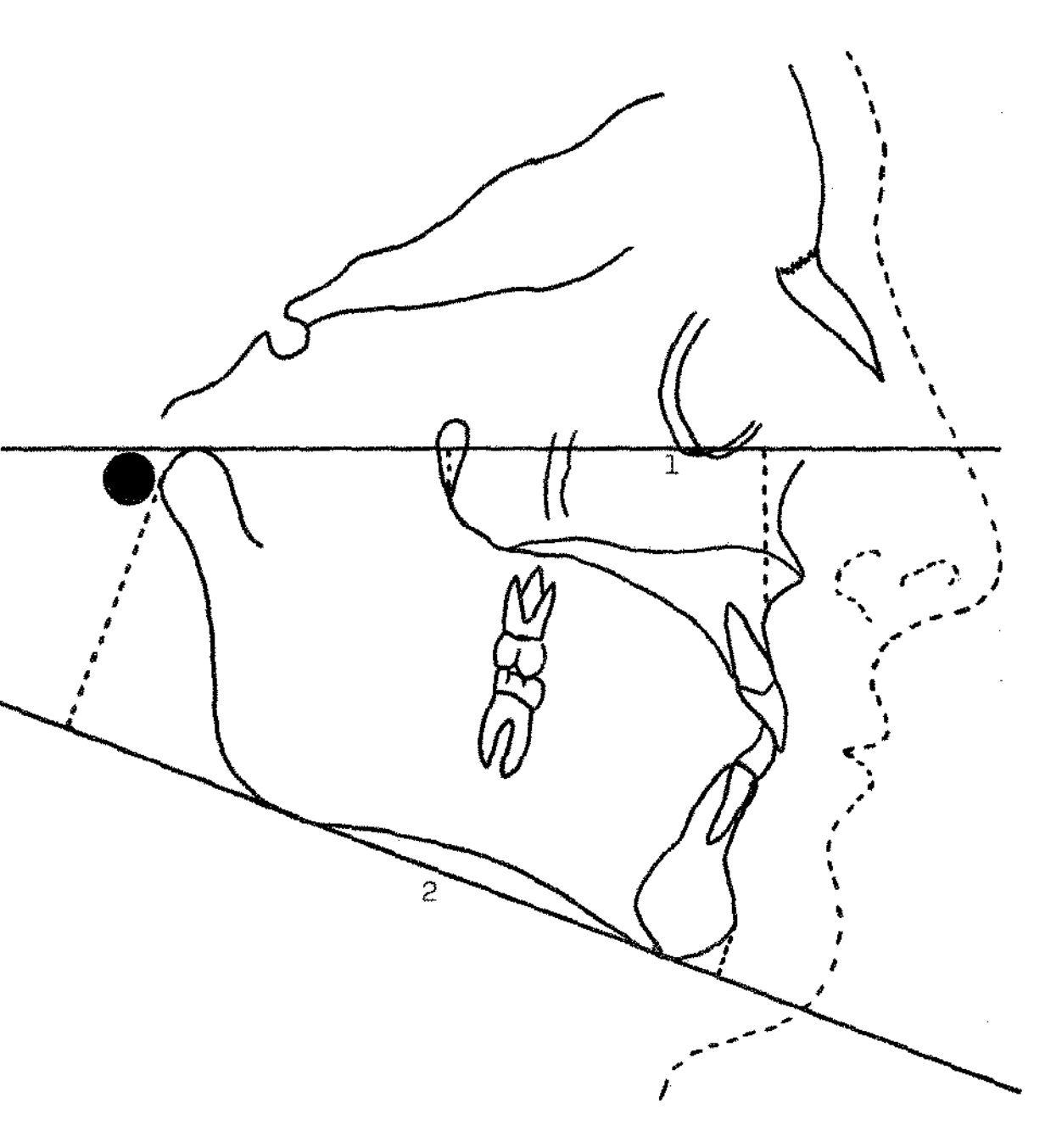


FIG. 16 - Localização das medidas cefalométricas: comprimento da mandíbula e maxila.

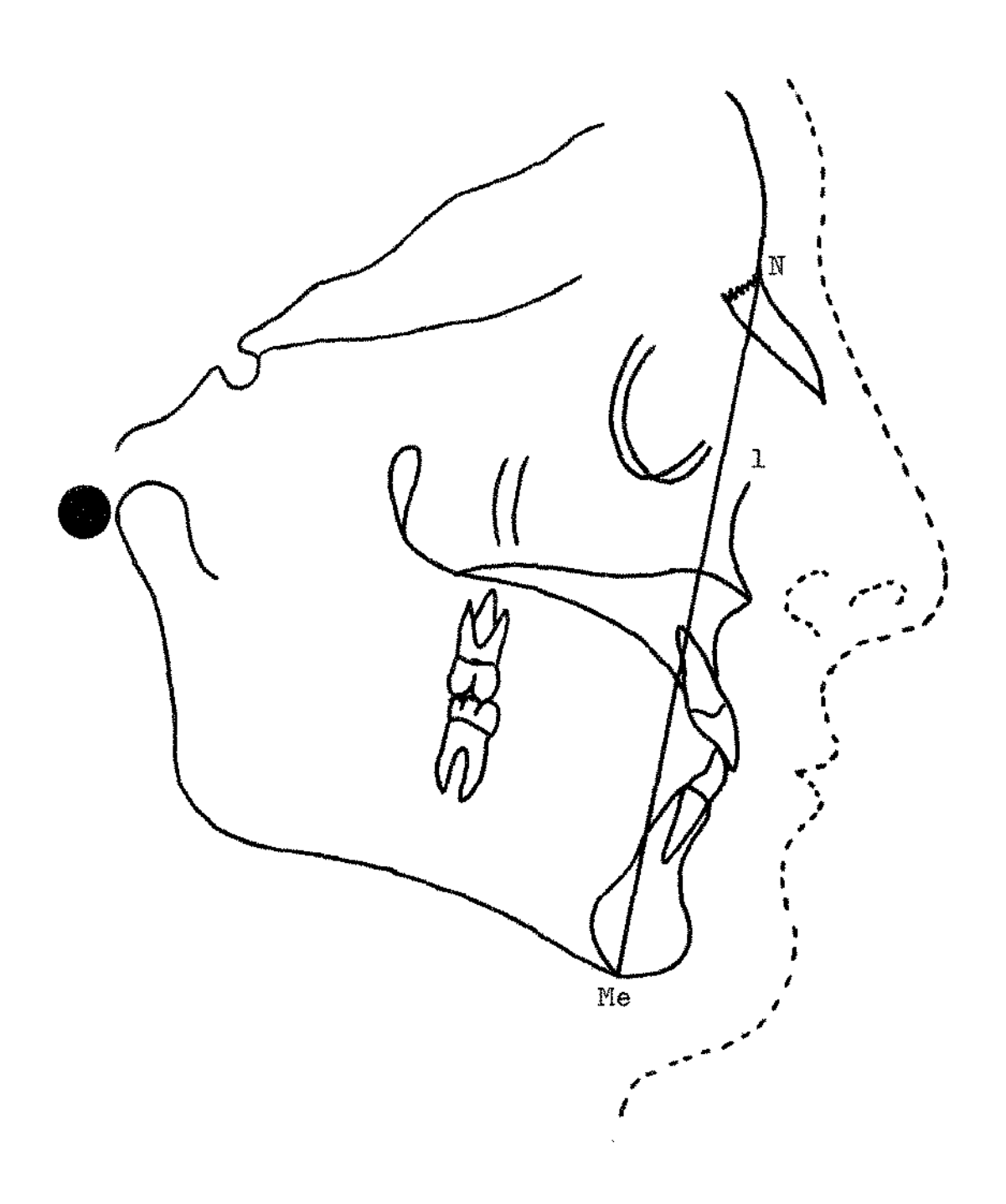
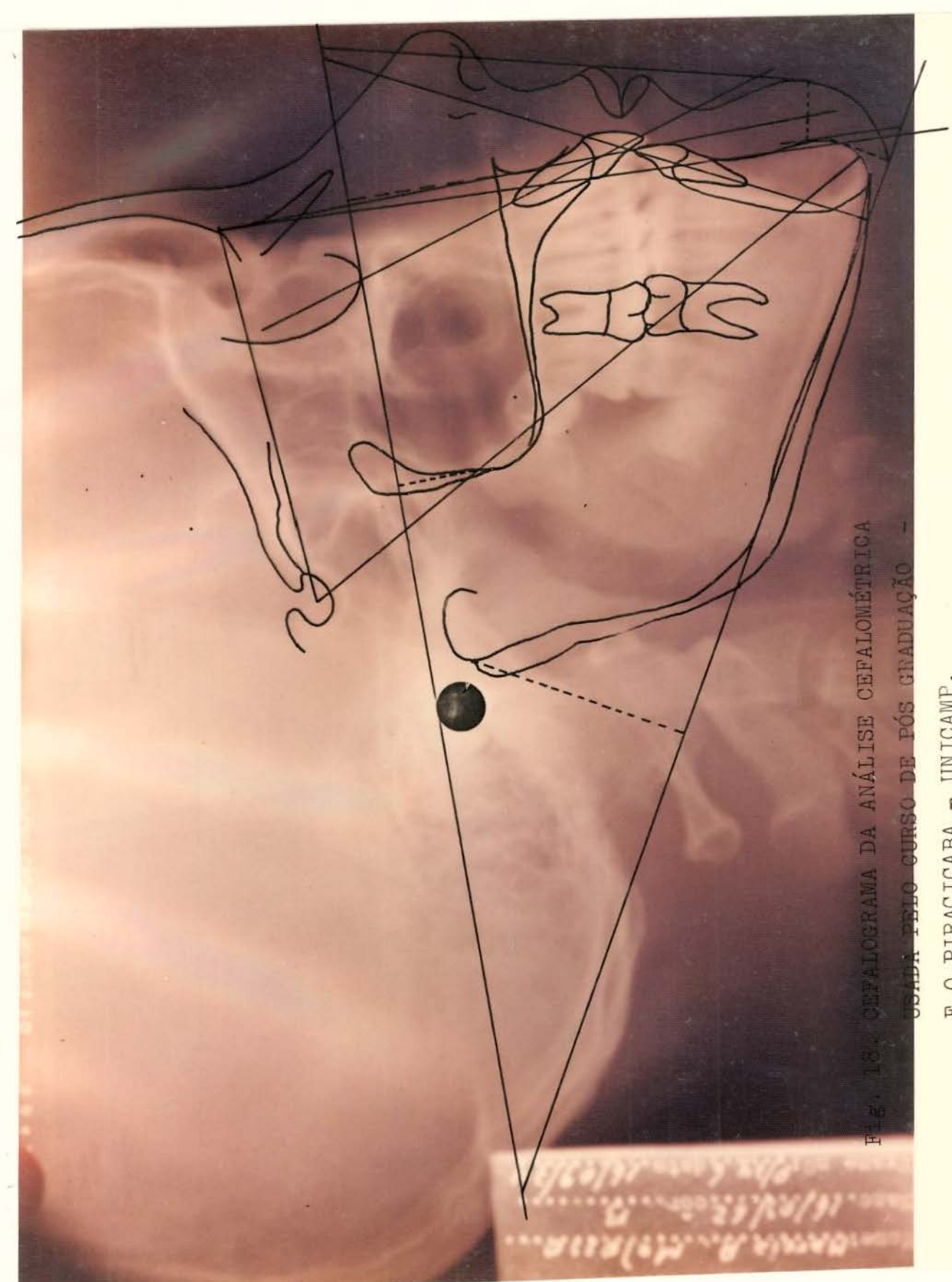


FIG. 17 - Localização da medida cefalométrica: altura total da face.



F.O.PIRACICABA - UNICAMP.

RESULTADOS

Nas tabelas I e II apresentamos as medidas cefalomé—
tricas, obtidas em Piracicaba, de 80 indivíduos brancos, portadores de oclusão dentária considerada "normal", na faixa etária dos 11 anos completos aos 15 anos incompletos, sendo 40 indivíduos do sexo masculino e 40 do sexo feminino. A tabela I
contém as medidas cefalométricas dos indivíduos do sexo masculino e, a tabela II dos indivíduos do sexo feminino. As medidas cefalométricas estudadas são: SNA, SNB, ANB, FMA, FMIA, ÂNGULO
Y, ÂNGULO L-NA, ÂNGULO 1-NB, ÂNGULO Z, COMPRIMENTO DA MAXILA, COMPRIMENTO DA MANDÍBULA, DISTÂNCIA 1-NA em mm, DISTÂNCIA 1- NB
em mm, ALTURA TOTAL DA FACE. Por questões de facilidade na apre
sentação dos resultados, da discussão e das conclusões, convencionamos chamá-las, respectivamente, de variáveis 1, 2, 3, 4, 5,
6, 7, 8, 9, 10, 11, 12, 13, 14 e 15.

Os dados distribuidos nas tabelas I e II, que se referem às variáveis 1, 2, 3, 4, 5, 6, 7, 8, 9 e 10 são expressos - em graus, enquanto os que se referem às variáveis 11, 12, 13,14 e 15 são expressos em milímetros.

A partir das medidas cefalométricas contidas nas tabe las I e II, foram feitas análises estatísticas, que se resumem nos seguintes pontos:

a) Estudo do comportamento individual das 15 variáveis tanto para a amostra de indivíduos do sexo masculino como para a amostra de indivíduos do sexo feminino. O estudo foi realizado estatísticamente, através da média (m̂), variância (s²), desvio padrão (s), erro padrão da média s(m̂), coeficiente de variação (CV), amplitude total de variação, representada pelomínimo e máximo, e intervalo de confiança (IC). Os valores destas estatísticas, para os indivíduos do sexo masculino, encontram-se na tabela III e para os do sexo feminino, na tabela IV.

A partir destes resultados, elaboramos as seguintes tabelas: VI, que apresenta as superposições dos intervalos de
confiança, das médias das 15 variáveis, dos indivíduos do sexo
masculino sobre os intervalos de confiança dos indivíduos do
sexo oposto; VII, que apresenta, também, as superposições dos
intervalos de confiança, porém no sentido contrário da anterior;

VIII, que contém a classificação dos coeficientes de variação - das 15 variáveis, de acordo com o sexo, segundo GOMES³⁷.

- b) Estudo comparativo entre as médias das 15 variáveis, levando em conta o fator sexo. Para se saber da signifi-cância estatística dos desvios existentes entre as médias, determinamos os valores do teste "t", os quais estão contidos na tabela V.
- c) Estudo do grau de relação existente entre as 15 va riáveis, feito através do cálculo dos coeficientes de correlação. Estes coeficientes de correlação a amostra de indivíduos do sexo masculino se encontram na tabela IX e para a amostra de indivíduos do sexo feminino na tabela XII. A significância esta tística dos coeficientes de correlação foi determinada a partir do teste "t"; os valores resultantes deste teste se encontram nas tabelas X e XIII, para a amostra de indivíduos do sexo masculino e para a do sexo feminino, respectivamente.

As tabelas X e XIV nos mostram, respectivamente, para a amostra de indivíduos do sexo masculino e do sexo feminino,os coeficientes de determinação, entre as 15 variáveis, que expres sam em porcentagem, a parte da variação total que é explicada - pela regressão.

- d) Estudos do comportamento individual das variáveis e do grau de relação entre elas estão contidos nas tabelas XV, XVI, XVII e XVIII, as quais foram obtidos através de uma análise conjunta, em que a fonte de variação "sexo" não foi considerada.
- e) Análise da variância, para cada uma das variáveis, incluindo o teste de Tukey.

Com a finalidade de verificar o comportamento das diferentes idades dos indivíduos (de ambos os sexos) dentro de cada uma das variáveis, efetuamos análise de variância para cada uma das variáveis e estudamos o comportamento do fator "idade", verificando a significância dos contrastes entre as médias das seguintes faixas etárias: a) 11 | 12 anos; b) 12 | 13 anos; c) 13 | 14 anos; d) 14 | 15 anos.

 todas as variáveis e comparado com o respectivo valor teórico,—que em nosso trabalho assume o valor 2,74, extraído da "tabela l" de GOMES 7, com 3 graus de liberdade para faixas etárias e 76 graus de liberdade para o resíduo, ao nível de 5% de probabilidade.

Pode ocorrer que o teste F não seja significativo e que as diferenças entre as médias seja significativa pelo teste de Tukey. Apresentamos 15 quadros com os resultados da aplicação também do teste de Tukey, onde um traço à direita (-) indica que as médias das faixas etárias em questão não diferem estatisticamente entre si, e um asterisco (*) indica a diferença existente entre as médias das respectivas faixas etárias não é estatísticamente significante ao nível de 5% de probabilidade.

Nos resultados das análises de variância para todas - as variáveis temos:

GL = graus de liberdade.

SQ = soma de quadrados.

QM = quadrado médio.

F = teste F.

⁻ Tabela numerada segundo original do autor.

1108,5 108,0 107,0 106,0 113,0 130,0 110,0 122,0 318,0 115,0 111,5 112,0 120,0 111,5 116,0 108,0 314,0 310,0 111,5 115,0 114,5 119.0 114,0 112,5 13 120,0 113,0 105,0 115,0 130,0 127.0 128,0 118, 1 - MB 17 88 5,00 7,00 7,00 8,70 8,70 8,70 5,00 8 8 8 8 \$,00 00.4 8 00 t 5,00 6,00 5,00 3,00 8 32 5,00 8,00 2,00 8,9 5,00 TEN A 00,0 2,2 2,00 60,0 % ℃ eri H 104,50 116,00 100,00 105,00 105,00 118,50 30, 101 107,50 113,00 52, 56 110,00 115,00 100,00 111,00 102,00 110,00 103,501 115,00 109,00 106,00 103,00 115,00 100,00 110,00 110,00 111,00 24,00 198,88 105,00 108,00 118,50 117,00 115,00 112,50 00,001 110,00 107,50 St. 49,50 COMP. 48,00 46,00 8,64 49,00 48,00 52,83 50,00 05154 00,00 47,50 53,50 51,50 53,00 55,50 53,00 9,39 98,59 53,00 8,8 52,50 48,00 53,00 88,88 48,50 51,00 8,8 8.0 49,50 55,00 00,64 39,50 8,54 AMGUEOR 69,00 82.53 69,90 68,50 (00,00) 72,00 73,59 78,89 69,88 84,00 70,50 65,23 24,50 72,00 65,30 8228 8228 74,5 76,00 8.53 8.53 67,09 71,59 65,69 64,50 72,00 8,69 8,89 67,00 75,00 78,50 69,00 61,50 83,00 8,2 £ ATOUTA 1-MB 29,80 22,50 31,55 8. S 38,00 88,88 8,58 27,00 26,00 23,05 25,50 29,00 53,00 25,00 21,00 58,00 ¢. 22,00 17,50 22,90 8 8 8 8 8 88,89 57,90 15,00 25,50 37,00 16,50 85,88 98,98 8 8 8 8 26,00 19,50 27,00 24,00 26,00 8,5 25,00 25,00 15,25 8 22,59 20,09 23,50 20,50 16,90 16,50 27,00 ફ ARGITLO 65,53 3 3 3 3 28,50 57,50 63,30 64,00 57,00 160,00 62,00 52,50 57,00 27,83 27,83 34,83 65,00 59,50 63,25 00,49 8 % 8 % 00,03 67,75 65,50 58,30 8,8 60,50 67,00 8 8 8 8 8 8 83,00 62,00 8 8 8 8 8 8 8 8 93,00 95,00 95,00 87,58 87,58 35,68 65,00 91,52 91,53 88,53 91,00 96,56 87,58 98, 89 98, 98 87,00 91,00 62,58 8,8 87,25 95,50 83,75 34,25 00'16 S ફ ä R 8 8 8 TMPA 60,00 64,50 20° 92 57,50 \$3,00 59,00 67,00 53,000 61,00 55,50 8 % 8 % 62,50 63,50 59,00 65155 63,00 70,55 65,00 57,00 64,50 68,23 58, 50 66,39 60,00 62,75 75,30 68,50 56,50 52,50 60,50 65,50 54,50 63,00 1 3 \$ \$ \$ \$ \$. 35,58 28,50 22,00 28,00 28,00 21,00 21,25 25,50 32,55 24,75 33,50 60, 12 3,00 28,50 35,50 30,00 28,00 29,55 8,8 20,00 A. 75.75 00,5 8,55 8,75 3,00 88888 8 8 2,09 2 8 3,8 3,00 SKS. 26,50 78,00 78,00 81.28 83.28 36,59 83,00 3.23.63 3.63.63 3.53.63 81,50 82,93 73,53 29,00 76,00 22,00 36,83 78.50 28,00 %. %. 50,50 75,50 27,00 8 30,00 80,00 81,58 this Si 78,55 85,50 8, 30 80,50 28,50 97,50 83.50 00,89 80,00 64,50 82,00 82,00 36,50 3,18 83,00 85,00 64,00 85,00 79,00 82,50 8.33 29.23 80°08 78,75 28,55 78,50 80,00 81,53 83,33 78,50 £,52 82,00 80,00 င္တ IDADE ance/me-gen 12,11 12,11 12,11 15.0 0,51 0,51 0,51 0,51 0,51 32,9 12,33 5.3 12,3 日本の 63 38888 724 729 729 739 735

Kormel.

Congiderada

Dentaria

TABERA I - Valores des Récides Cefalonétrices de 15 Vatièreis; Extraídes de 45 Indivídes con Colusão

Massulias, Pinacicaba, SP, 1974.

Sexo

ę,

108,00 111,00 115.00 109,00 107,50 108,50 121,00 124,00 108,50 114,50 116,00 110,00 115,50 105,00 110,00 115,00 119,00 115,00 115,00 171.00 119,00 107,00 10%,00 117,50 100, 119,50 107,00 115,00 120,00 122,00 112,00 115,00 106,00 125,00 119,00 115,50 100 E 3,0 2,00 5,00 00'9 5,00 * v 2,00 8888 888 5,00 000,4 8 8 9 .00° R ~ ुं S. 8,4 8 00,8 4 5,00,4 60,4 3,4 5,00 4,50 8, 4 80, 4 8. 18. 18. 18. 3, 5 8.0 æ,08 888 ₹. 30 5,00 5,00 2,5 6,50 6,50 6,00 8 0514 7,00 8 9 6,30 20,00 4,00 7,00 3 5,00 6,0 1-84 mm* 110,00 104,50 03, 201 107,70 109,00 110,50 107,00 105,00 113,00 102,501 100,55 311.5 104,53 106,30 105,50 99,00 108,00 111,00 115,00 1,09,50 106,00 131,05 300,00 110,00 113,50 111,00 100,50 110,00 113,00 103,00 36,00 114,00 10,5 101,00 114,00 108,50 108,00 107,05 00,401 COURT. ¢. 52,93 51,50 8,8 8.8 8 00,0% 8 13° 64 30,00 43,50 48,50 49,00 00,34 8 51,50 54,00 50,50 47,00 00'65 48,50 30,03 3,00 46,00 43,50 52,00 02.64 00,63 50,00 43,00 49,00 53,00 00,64 49,00 90,44 COMP. 30,18 25,57 61,00 72,50 30°50 73,00 88.89 72,00 58,00 72,00 69,00 71,00 68,00 72,50 76,00 00,17 73,50 58,00 75,00 8,53 85,83 59,33 21,00 70,50 00,00 70,50 ARGUIO 00,59 8,00 67,50 67,68 72,00 74,00 71,00 69,00 77,50 63,00 77,00 32.52 8,8 25,80 ARCHIO 32,50 22.52 25,00 19,50 35,55 13,60 22,00 25,53 15,00 23,00 38,28 8 27,50 25,00 23,53 26, 50 8.8 8.8 32,25 3,53 8,0 22,50 24,00 25,50 95,00 37,00 2,5 89.68 25,00 (27.20 55,00 23,00 001 12 17,00 80.8 18,50 18,50 œ. ANCHIO 1-X1 30,50 23,50 54,00 32,50 19,00 19,50 80,03 33.50 10,50 83,58 17,86 24,00 24,50 8,58 28,00 882888 882888 84,85 24: 30 24,00 53,55 16,50 30,50 35,00 30,08 26,00 23.00 3,53 37,50 28,50 18,00 Sa, 00 20,05 19,00 a, 8 8 8 8 8 8 % % % % % % % % % % % % % 28,50 28,00 1887 F. 63,00 65,40 58,43 60,50 63, 50 61,00 61,50 100° 60° 18.18 58.63 S. 8 62,30 3. 3. 52.50 63,75 100,00 63,50 62,00 66,00 63,50 28,99 60,09 57.73 63,00 SO, OO 61,00 68,00 ANGREG 93,00 00'26 83,50 93,50 28,52 89,50 50.00 85.00 91,50 88, CO 93,50 2.18 88 93,00 33,00 93,00 31.13 8 00,49 20,5% 86,00 88°0 98,00 8,8 98°83 9 87,00 8,53 86,00 29,25 00,18 35,53 00,68 20. 21. 21. 8 Œį, 84,00 63,00 59,00 59,50 2.0 56,00 53,50 57,00 72,90 60,00 56,50 2.2 58,50 02,130 S, S 60,00 51,00 57,00 64,75 59,00 63,00 60,00 8,180 62.68 00,13 29,63 54.75 20,00 67,00 55,50 60,50 26,00 64,25 88,88 63,50 65,00 65,00 2717.A 25,03 26,03 28,00 36,00 8 8 68,00 52,50 25,00 27,00 21,50 % 8, 25,00 51,50 77,00 28,00 35,00 53,00 89,88 29,00 23.150 31,00 35,00 33,30 00°*92 20,00 23,00 9. 98 20,00 25,82 00,75 52,50 29,00 2.2 8,38 71 2. 88888888 8 6 8 8 8 8 8 00° 3,00 8,3 \$ 3,00 8,50 2,00 8 8 2,50 3,00 8 8 ر ا ا 5,5 3,00 3,00 1,50 ुः ३० 3,00 2,00 76,50 F1.00 26,35 79,50 Sec. 30. 88 75,50 81,00 26,00 04,450 98,00 79,00 80,00 83,88 78, 30 26,00 00°08 82,50 82, 50 80,08 37.50 95,55 78,53 78,50 (e) te 25,00 00136 80.30 8 80,08 26,00 00,53 8,8 83 CO 50,48 80°C 77,50 87,00 0, 48 78,55 85,00 78,00 57,53 29,75 78,00 00,50 88,433 (F) (F) 80°0 38,68 83.58 34,00 78,00 33.33 82,00 05166 8,2 ಜಿತ್ಯದಿಂ 77,00 85,00 82,30 34,50 35,50 8,8 81,53 80,59 67,03 56,00 59,00 8 92,00 86.00 538.A ลีต/ธ**o**ยธ 10411 11,10 11,11 12,11 13,31 13,10 8 12,0 12,0 0,5% 17.5 12,0 (C) 63 8 . 6 . 4 . 34,0 14,0 30,0 14,0 14,5 ON THE CAN 28822888888888

rannia II - Valorem des Nedidas Cefalosétricas de 15 Variáveis. Extraídos de 40 Indivídass dos Oplusão Dertéria Considerada Bormal.

se Sero Feeining, Meneicaba, SF, 1974.

TABELA III - Valores das medidas de tendência central e de dispersão, das 15 variáveis, extraídos de 40 indivíduos do sexo masculino com Oclusão Normal, compreendidos na faixa etária de 11 anos completos aos 15 anos incompletos. Piracicaba, SP, 1974

VARIÁVEIS	ĥ	,2 s	s	s(m̂)	CV	Mínimo	Máximo	I	C
AMETHATIO	Hi	ລ	D	D(m)	V	TILLITINO	I I I I I I I I I I I I I I I I I I I	EI	ES
1234567890 112345 112315	81,53 79,25 29,10 60,41 60,84 60,85 24,36 70,35 108,97 108,97 108,97 115,71	5,5530 5,7820 0,8147 31,7493 23,6070 20,2800 15,9989 21,0957 15,2602 46,4942 8,8487 36,2814 3,1282 3,4076 42,9344	2,35 30 9,490 5,850 9,599 9,981 7,98	0,37 0,38 0,14 0,89 0,71 0,67 0,62 0,61 1,07 0,47 0,29 0,29	2,89% 3,03% 39,24% 19,36% 4,98% 6,57% 20,54% 16,69% 5,69% 37,23% 46,76%	77,50 75,50 0,00 20,00 51,50 81,00 15,00 16,75 54,50 42,50 98,50 2,00 1,00 105,00	86,50 84,50 4,50 42,50 70,50 100,50 69,50 32,00 33,25 84,00 56,00 124,00 11,00 9,00 130,00	80,39 78,49 2,02 27,32 58,96 88,99 59,48 23,74 68,91 107,07 4,21 3,65	82,27 80,01 2,58 30,88 62,00 91,83 62,20 23,79 26,18 72,46 50,79 110,87 5,29 4,53 117,77

m = média aritmética

s² = variância

s = desvio padrão

 $s(\hat{m}) = erro padrão da média$

CV = coeficiente de variação

Mínimo = menor valor observado na amostra

Máximo = maior valor observado na amostra

I C = intervalo de confiança

EI = extremo inferior

ES = extremo superior

TABELA IV - Valores das medidas de tendência central e de dispersão, das 15 variáveis, extraídos de 40 indivíduos do sexo feminino com Oclusão Normal, compreendidos na faixa etária de 11 anos recompletos aos 15 anos incompletos. Piracicaba, SP,1974.

VARIÁVEIS	ŵ	s ²	s	s(m̂)	CV	Mínimo	Máximo	I	C
VARCIAVILLO	111	(a)	U	D(m)		TIAMAMO	TICLALIMO	EI	ES
1 2 3 4 5 6 7 8 9 0 1 1 2 3 4 5 1 1 1 1 1 1 1 1 1 1 1 1 1 1 1 1 1 1	81,58 79,46 2,11 28,56 62,59 89,24 60,86 22,42 23,96 72,18 107,48 107,48 3,68 113,05	7,8538 7,1972 0,7050 19,6690 15,2002 21,5881 9,1825 9,5326 14,0711 24,3839 4,0344 18,2370 1,7532 1,7524 29,9717	2,88 8,68 9,48 9,48 9,48 9,48 9,48 9,48 9,48 9,4	0,44 0,42 0,13 0,70 0,67 0,48 0,77 0,48 0,77 0,75 0,75 0,75 0,75 0,75 0,75 0,75	3,43% 3,37% 39,63% 15,52% 6,20% 4,97% 13,765% 4,96% 4,96% 27,16% 35,88% 4,84%	76,00 75,00 0,50 21,50 56,50 55,00 15,00 61,00 44,00 98,50 0,50	87,50 84,50 3,50 39,50 72,00 96,50 68,00 30,50 31,50 84,00 115,00 8,50 6,00 124,00	80,70 78,62 1,85 27,16 60,97 87,78 59,92 21,46 22,78 70,66 48,56 106,14 4,47 3,28 111,33	82,46 80,30 2,37 29,96 63,41 90,70 61,80 23,38 25,14 73,80 107,48 4,87 4,08 114,77

m = média aritmética

s² = variância

s = desvio padrão

s(m) = erro padrão da média

CV = coeficiente de variação

Minimo = menor valor observado na amostra

Máximo = maior valor observado na amostra

IC = intervalo de confiança

EI = extremo inferior

ES = extremo superior

TABELA V - Comparação de médias das 15 variáveis levando em con sideração o Sexo. Valores do teste "t".

	Médias	(m̂)	erros da	50 d
Variáveis	Sexo Masculino	Sexo Feminino	$_{(s(\hat{m}_{\underline{i}}-\hat{m}_{\underline{j}})}^{\text{deference}}$	Teste t
1.	81,53	81,58	2,58	0,01 —
5	79,25	79,46	2,54	0,08 —
3	2,30	2,11	0,87	-0,20
4	29,10	28,56	5,07	-0,10
5	60,48	62,19	4,40	0,38 —
6	90,41	89,24	4,57	-0,25
7	60,84	60,86	3,54	0,00
8	22,35	22,42	3,91	o,o1 —
9	24,96	23,96	3,82	-0,26
10	70,32	72,22	5 , 95	0,31 —
11	49,85	49,18	2,53	-0,26
12	108,97	107,48	5,22	-0,28
13	4,75	4,87	1,56	0,08 —
14	3 ,9 5	3 , 68	1,60	-0,16 -
15	115,71	113,05	6,03	-0,44

TABELA VI - Superposição em Porcentagem do intervalo de confian ça dos indivíduos do sexo masculino sobre o interva lo de confiança dos indivíduos do sexo feminino.

Variáveis	Superposição %
1	83,51
2	91,44
3	62,50
. 4	74,16
5	33,88
6	60,21
7	69,11
8	85,76
9	57,33
10	42,05
1.1	47,33
12	10,79
13	37,01
14	61,20
15	27,18

TABELA VII - Superposição em Porcentagem do intervalo de confiança dos indivíduos do sexo feminino sobre o intervalo de confiança dos indivíduos do sexo masculino.

Variáveis	Superposição %
1	89,20
2	83,92
3	67,30
4	94,27
5	42,21
6	58,56
7	100,00
8	100,00
9	59,32
10	57,69
11	71,77
1.2	30,60
13	100,00
14	88 , 75
15	32,56

TABELA VIII - Classificação dos Coeficientes de Variação das 15 variáveis de acordo com o sexo.

Variáveis	Sexo Masculino	Sexo Feminino
1	baixo	baixo
2	baixo	baixo
3	muito alto	muito alto
Address Addres	médio	médio
5	baixo	baixo
6	baixo	baixo
	baixo	baixo
8	alto	médio
9	médio	médio
10	baixo	baixo
11	baixo	baixo
12	baixo	baixo
13	muito alto	alto
14	muito alto	muito alto
15	baixo	baixo

TABELA IX - Coeficientes de Correlação Entre as 15 Variáveis da Amostra de 40 Indivíduos do Sexo Masculino com Oclusão Dentária Considerada "Normal". Piracicaba, SP. 1974.

Variáveis	1	2	3	4	5	ő	7	కి	9	10	11	12	13	14	15
1		0,9282	0,1286	-0,1004	0,2143	-0,1055	-0,0899	-0,0553	0,0399	0,1683	0,5316	0,2778	-0,0945	-0,0629	0,0150
2			-0,2480	-0,2126	0,3126	-0,0711	-0,2127	0,0851	-0,0035	0,2650	0,4669	0,5544	0,0783	i i	-0,0490
3				0,3014	-0,2848	-0,0699	0,3289	-0,3662	0,1286	-0,2651	0,1496	0,0497	-0,4497	0,2554	i '
4	-				-0,6406	-0,5600	0,8223	0,0799	0,2676	-0,6654	-0,3012	0,0920	0,2405	0,6170	
5						-0,2773	-0,7281	-0,1079	-0,7413	0,5974	0,3182	0,1668	-0,3690	.	-0,1888
6						1	-0,2433	0,0163	0,4649	0,1880	0,0335	-0,2952	0,0971	0,0457	-0,2760
7	ļ. ·							-0,1149	0,2819	-0,5989	-0,3080	0,0634	0,1284	0,5484	0,4370
8			}						0,2963	-0,2585	-0,2540	-0,1671	0,7356	į	-0,1951
9	-	ļ			1					-0,3093	-0,0980	-0,0253	0,5518	0,7815	0,1312
10					1			<u>.</u>			0,3064	0,3092	-0,1823	-0,5018	-0,0810
11					1 .							0,5353	-0,2351	-0,2442	0,2812
12													0,0397	0,1099	0,7948
13	<u> </u>	an maken o				1							}	0,6439	0,0815
1.4															0.3543
15	į													1	
1		1			W	<u> </u>			<u> </u>						

TABELA X - Valores do Teste "t" Obtidos Para os Coeficientes de Correlação Entre as 15 Variáveis da Amostra de 40 Indivíduos do Sexo Masculino com Oclusão Dentária Considerada "Normal". Piracicaba, SP. 1974.

Variáveis	1	5	3	4	-5	6	-7	8	9	10	11 /	12	13	14	15
Variáveis 1 2 3 4 5 6 7 8 9 10 11 12 13	1.	2 15,3793***	3 0,7999 -1,5786	-0,6224 -1,3416	1,3528 2,0287 -1,8314 -5,1428	-0,6544 -0,4399 -0,4321 -4,1672**	-0,5569 -1,3423 2,1469 8,9088**	-0,3414 0,5269 -2,4260* 0,4944	0,2467 0,0220 0,7995 1,7122 -6,8096 3,2376 1,8114 1,9128	1,0529 1,6946 1,6953 -5,4960 4,5931 1,1801 -4,6107	3,8697** 3,2547* 0,9332 -1,9472 2,0694* 0,2067 -1,9958 -1,6190	1,7827 1,6221 0,3070 0,5698 1,0433 -1,9048 0,3917 -1,0453 -0,1564 2,0044	-0.5857 0.4846 -3,1037** 1,5278 -2,4478 0,6019 0,7983 6,6945 4,0786 -1,1430	-0,3886 -0,9456 1,6287 4,8340* -7,1648* 0,2824 4,0433* 2,4577* 7,7237* -3,5764* -1,5524 0,6822	0,0927 0,3025 1,0526 2,5594 1,7705 2,9951 1,2264 10,6160 0,5013 1,8064 8,0745
14	,				Company of the compan		and the state of t	Aftition of the second							2,3361

Observação: A significância dos coeficientes de correlação foi determinada a partir do teste "t", sendo que um asterisco (*) indica significância ao nível de 5% de probabilidade e dois asteriscos (**) indicam significância ao nível de 1% de probabilidade.

TABELA XI - Coeficiente de Determinação Entre as 15 Variáveis da Amostra de 40 Indivíduos do Sexo Masculino com Oclusão Dentária Considerada "Normal". Piracicaba, SP. 1974.

Variáveis	1	2	3	4	5	6	7	8	9	10	11	12	13	14	15
1		0,8615	0,0165	0,0100	0,0459	0,0111	0,0081	0,0030	0,0016	0,0283	0,2826	0,0771	0,0089	0,0039	0,0002
2			0,0615	0,0452	0,0977	0,0051	0,0452	0,0072	0,0000	0,0702	0,2180	0,3074	0,0061	0,0229	0,0024
3		1		0,0908	0,0911	0.0049	0,1082	0,1341	0,0165	0,0702	0,0224	0,0025	0,2022	0,0652	0,0283
4					0,4104	0,3136	0,6762	0,0063	0,0716	0,4426	0,0907	0,0085	0,0578	0,3807	0,1469
5				ALLEGE		0,0768	0,5301	0,0116	0,5495	0,3569	0,1012	0,0278	0,1361	0,5746	0,0356
6							0,0592	0,0002	0,2161	0,0353	0,0011	0,0871	0,0094	0,0021	0,0762
7								0,0132	0,0795	0,3587	0,0949	0,0040	0,0165	0,3007	0,1909
8	1				1				0,0877	0,0668	0,0645	0,0279	0,5411	0,1371	0,0381
9	1]			1		0,0956	0,0096	0,0006	0,3045	0,6107	0,0172
10	į						2				0,0939	0,0956	0,0332	0,2518	0,0066
11		**										0,2865	0,0553	0,0596	0,0791
12	1							1					0,0015	0,0121	0,6317
13		p. Oppose la		Same for										0,4146	0,0066
14		Harris Constitution of the													0,1255
15															.
		1	Í		es are proportion to the contract of the contr	i Nacifornius santa de la tipo de santa	i Dalamatek estartikanyak alipantakatingtia	i Sen delen alle elanti al territori delle delle proprieta della elanti	indeprination describerations			Well-make and the second		Television Commence (Commence	

TABELA XII - Coeficientes de Correlação Entre as 15 Variáveis da Amostra de 40 Indivíduos do Sexo Feminino com Oclusão Dentária Considerada "Normal". Piracicaba

Variáveis	1	2	3	т	5	6	7	8	9	10	11	12	13	14	15
· 1· · ·		0,9540	0,2893	-0,1386 j	0,1375	0,2480	0,0877	0,1585	0.1501	-0,4048	0,3411	0,1157	0,1176	0,1919	-0,3610
2		-11	-0,0107	-0,1851	-0,0645	0,2308	0,0987	0,2581	0,0193	-0,2930	0,2368	0,0559	0,2548	0,0634	-0,4376
3	<u>.</u>			0,1279	-0,2529	0,0901	-0,0223	-0,2956	0,3726	-0,4147	0,3817	0,2077	-0,4216	0,4379	0,1931
4 .			-		-0,3840	-0,6322	0,7323	-0,2032	0,0787	-0,3908	-0,3460	0,3232	0,0777	0,4576	0,5297
5		-				-0,4725	-0,3095	-0,2778	-0,7730	0,6108	0,0263	0,0515	-0,2609	-0,6499	0,0055
6.		A		r ·			-0,4393	0,4271	0,5735	-0,1394	0,3081	-0,3518	0,1447	0,1085	-0,5103
7								-0,1689	-0,2348	-0,4937	-0,4816	0,1665	-0,0027	0,1775	0,3137
8									0,3075	-0,0703	0,1232	-0,0331	0,6421	0,3720	-0,2754
9		•	•	e de la companya de l	Apar Consult					-0,3451	0,3189	0,0509	0,2250	0,6937	0,0019
10	1	1		*							0,1055	-0,0105	-0,0857	-0,4684	0,0280
11	1		1		1							0,3963	-0,0198	0,1865	0,0544
15	Common or many or				ļ .								-0,0093	0,3542	0,6841
13	1				} { {	7		:'		***************************************		1		0,4306	-0,2148
14		***		***	the state of the s					`					0,2879
15 •		A COUNTY OF		1	5	l control of the cont			-			}	,		-

TABELA XIII - Valores do Teste "t" Obtidos Para os Coeficientes de Correlação Entre as 15 Variáveis da Amostra de 40 Individuos com Oclusão Dentária Considerada Normal. Piracicaba, SP. 1974.

Variáveis]	2	3	4	5	6	7	8	9	10	11	12	13	14	15
1		19,6295	1,8631	0,8646	-0,8563	1,5783	0,5432	0,9897	0,8090	-2,7290**	2,2371	0,7185	0,7305	1,2053	-2,3866
2			-0,0664	-0,1613	-0,3987	1,4627	0,6114	1,6470	0,1190	-1,8895	1,5029	0,3451	1,6249	\$ ·	-3,0002
3 1		Service of the servic	10 m	0,7950	-1,6116			-1,9078	2,4752*	-2,8097**	2,5459	1,3094	-2,8661**	3,0027	1,2138
4		4.)			-2,5641	⊢ 5,0305°	6,6298	-1,2798	0,4868	-2,6174	-2,2735	2,1058*	0,4809	3,1727	
5			1			-3,3050		-1,7826	-7,5132	4,7557**	0,1624	0,3181	-1,6661	-5,2722**	0,0341
6			1	,	1	1	-3,0144**	2,9122**	4,3162**	-0,8683	1,9970	-2,3169	0,9014	0,6733	-3,6578
7					1		<u>}</u>	-1,0569	-1,4893	-3,5000	-3,3883 [*] *	1,0412	-0,0172	1,1123	2,0372
8		and the second	. ,	***					1,9922	-0,4346	0,7656	-0,2043	5,1631**	2,4712**	-1,7665
9		<u>r</u>		1						-2,2670	2,0747	0,3147	1,4238	5,9383	0,0120
10 {				Table State			1		1		0,6540	-0,0647	-0,5307	-3,2689**	0,1728
11 .									1			2,6612	-0,1226	1,1704	0,3979
15								:	1	1			-0,0576	2,3348	5,7819
13 •		i de contrare	Materioria		t-								1	2,9412**	-1,3563
1.4			0,744 446	,	***		1	1							1,8532
15		- Compression	· ·	and year and a second	Page 1					-			1		

Observação: A significância dos coeficientes de correlação foi determinada a partir do teste "t", sendo que um asterisco (*) indica significância ao nível de 5% de probabilidade e dois asteriscos (**) indicam significância ao nível de 1% de probabilidade.

TABELA XIV - Coeficientes de Determinação Entre as 15 Variáveis da Amostra de 40 Individuos do Sexo Feminino com Oclusão Dentária Considerada "Normal". Piracicaba, SP. 1974.

1	1	2	3	Д.	5	6	7	8	9	10	11	12	13	. 14	15 .
1		0,9101	0,0836	0,0193	0,0189	0,0515	0,0077	0,0251	0,0169	0,1638	0,1163	0,0133	0,0138	0,0368	0,1303
2			0,0001	0,0342	0,0042	0,0532	0,0097	0,0866	0,0003	0,0858	0,0561	0,0031	0,0649	0,0040	0,1915
3				0,0164	0,0639	0,0081	0,0005	0,0873	0,1388	0,1719	0,1456	0,0431	0,1775	0,1917	0,0373
4 1				der a chart	0,1474	0,3997	0,5362	0,0413	0,0062	0,1527	0,1197	0,1044	0,0060	0,2093	0,2806
5				of the state of th		0,2232	0,0957	0,0772	0,5975	0,3730	0,0006	0,0027	0,0680	0,4224	0,0000
6							0,1929	0,1824	0,3289	0,0194	0,0949	0,1237	0,0209	0,0117	0,2604
7		,		ga andreas state				0,0285	0,0551	0,2437	0,2319	0,0277	0,0000	0,0315	0,0984
5		and the same of th		W AND spiral					0,0945	0,0049	0,0152	0,0010	0,4122	0,1384	0,0758
9		واختم	k k			ļ				0,1191	0,1017	0,0026	0,0506	0,4832	0,0000
10		· Brown of the second		Mary Property							0,0111	0,0001	0,0073	0,2194	0,0007
		ft stagger	T-SP-T-SP-T-SP-T-SP-T-SP-T-SP-T-SP-T-SP								·	0,1570	0,0003	0,0348	0,0041
12	F	- Carron		i 1									0,0000	0,1254	0,4680
13		Market Market	And the state of t				i i							0,1854	0,0461
14	Application of the state of the	-	r. Salar												0,0828
15	A. Comments			patro pa	1				***************************************					}	,

TABELA XV - Valores das Medidas de Tendência Central e de Dispersão das 15 Variáveis, Extraídos de 80 Indivíduos, de Ambos os Sexos, com Oclusão Dentaria Considerada Normal, Compreendidos na Faixa Etária de 11 anos completos a 15 anos incompletos. Piracicaba, SP. 1974.

Variáveis	m :	s ²	s	s(m̂)	cv	Mínimo	Máximo	+	С
varravers	#11 :	S	8	S(m)			ITAXIMO	EI	ES
1	81,55	6,6190	2,57	0,28	3,15%	76,00	87,50	80,98	82,13
2	79,35	6,4189	2,53	0,28	3,19%	75,00	84,50	78,78	79,92
3	2,20	0,7586	0,87	0,09	39,43%	0,00	4,50	2,01	2,40
4	28,83	25,4569	5,0	0,56	17,50%	20,00	42,50	27,70	29,95
5	61,33	19,9004	4,46	0,49	7,27%	51,50	72,00	60,33	62,33
6	89,83	21,0186	4,58	0,51	5,10%	76,50	100,50	88,80	90,85
7	60,85	12,4314	3,52	0,39	5,79%	53,00	69,50	60,06	61,64
8	22,39	15,1215	3,88	0,43	17,36%	15,00	32,00	21,52	23,26
9	24,46	14,7331	3,83	0,42	15,68%	15,00	33,25	23,61	25,32
10	71,27	35,9044	5,99	0,66	8,40%	54,50	84,00	69,93	72,61
11	49,51	6,4711	2,54	0,28	5,13%	42,50	56,00	48,94	50,08
12	108,23	27,4743	5,24	0,58	4,84%	98,00	124,00	107,05	109,40
13	4,81	2,4137	1,55	0,87	32,28%	2,00	11,00	4,46	5,15
14	3,81	2,5648	1,60	0,17	41,93%	0,50	9,00	3,46	4,17
15	114,38	37,7863	5,54	0,68	5,37%	104,00	130,00	113,00	115,75

m = média aritmética

CV = coeficiente de variação

Minimo = menor valor observado na amostra

Máximo = maior valor observado na amostra

IC = intervalo de confiança

EI = Extremo inferior

ES = Extremo superior

s²= variância

s = desvio padrão

 $s(\hat{m}) = erro padrão da média$

TABELA XVI - Coeficientes de Correlação Entre as 15 Variáveis da Amostra de 80 Individuos, de ambos os Sexos, com Oclusão Dentária Considerada "Normal". Piracicaba, SP. 1974.

Variáveis	1	5	3	4	5	. 6	7	8	9	10	11 .	12	13	14	15
1]	0,9419	0,2093	-0,1168	0,0425	0,0371	-0,0055	0,0382	0,0856	-0,0913	0,4248	0,1938	0,0055	0,0517	-0,1713
2	ļ		-0,1303	-0,1985	0,1381	0,0841	-0,0686	0,1546	0,0026	0,0218	0,3480	0,1548	-0,1570	-0,0579	-0,2432
3				0,2313	-0,2841	0,0218	0,1814	-0,3339	0,2540	-0,3337	0,2467	0,1247	-0,4371	0,3315	0,2021
4					-0,5406	-0,5744	0,7873	-0,0184	0,1905	-0,5658	-0,3057	0,1802	0,1775	0,5607	0,4523
5			<u> </u> -			-0,3780	-0,5583	-0,1619	-0,7569	0,6135	0,1837	0,0936	-0,3140	-0,7175	-0,1539
6							-0,3231	0,1779	0,5268	0,0256	0,1576	-0,2895	0,1101	0,0811	-0,3480
7		1					1	-0,1329	0,0629	-0,5539	-0,3634	0,0980	0,0809	0,4161	0,3862
8		į							0,2925	-0,1928	-0,1362	-0,1738	0,7031	0,3687	-0,2267
ò						:		}		-0,3350	0,0810	0,0241	0,4028	0,7401	0,1032
10				1							0,2143	0,1733	-0,1398	-0,4956	~0, 0805
11]		*		İ						0,4997	-0,1664	-0,0915	0,2067
12	ļ			and Artificial			•	,	.)			0,0166	0,2414	0,7465
13							-	1. 4						0,5635	-0,0412
14				1	r o constitution of the co										0,3430
15		E 3	·												

TABELA XVII - Valores do Teste "t" Obtidos para os Coeficientes de Correleção Entre as 15 Variáveis da Amostra de 80 Indivíduos, de Ambos os Sexos, com Oclusão Dentária Considerada "Normal". Piracicaba, SP. 1974

Variáveis	1	2	3	<u> </u>	5	6	7	8	ò	10	11	12	13	. 14	15
1		24,7816**	1,8912	-1,0390	0,3761	0,7729	-0,0491	0,3377	0,7594	-0,8105	4,1 44 8**	1,7452	0,0493	0,4580	-1,5359
2		<u> </u>	-1,1607	-1,7897	1,2322	0,7455	-0,5076	1,3824	0,0231	0,1927	3,2789	1,3838	1,4046	0,5129	-2,2144*
3				2,1004	-2,6172	0,1929	1,6296	-3,1290	2,3194	-3,1269	2,2485	1,1106	-4,2929	3,1037	1,8226
4 .		es de la company			-5,6762	-6,1978**	11,2774	-0,1629	1,7145	-6,0607	-2,8359			5,9806	4,4796**
5				ower particular to the control of th	ļ	-3,6060°	-5,9447	-1,4497	-10,2309**	6,8626	1,6510	0,8308	-2,9211	<u>-</u> 9,0983**.	-1,3757
6							-3,0153	1,5968	5,4740**	0,2267	1,4099	-2,6713	0,9785	0,7188	-3,2791
7				Segaritor, e.				1,1844	0,5572	÷5,8760°		0,8697		4,0414	3,6983 [*]
8			-						2,7015*	-1,7356	L1,2144	-1,1025		3,5034	-2,0557
g				·						-3,1400°°				9,7200	0,9168
10		ign and the same of the same o		•		:		,			1,9379		-1,2476	1	-0,7136
11		P C C C C C C C C C C C C C C C C C C C							į			5,0953	-1,4908	-0,8123	1,8663
12				Tarken and the second									0,1471	1,8165	9,9100
13		•		***************************************				ì	[6,0255	-0,3649
14		· ·	1		Ì									1	3,2254
15			MATTER S												,

Observação: A significância dos coeficientes de correlação foi determinada a partir do teste "t", sendo que um asterisco (*) indica significância ao nível de 5% de probabilidade e dois asteriscos (**) inidoam significância ao nível de 1% de probabilidade.

TABELA XVIII - Coeficientes de Determinação Entre as 15 Variáveis da Amostra de 80 Individuos, de Amos os Sexos, com Oclusão Dentária Considerada "Normal". Piracicaba, SP. 1974.

ariáveis	1	S	3	4	5.	6	7	8	9	10	11	12	13.	14	15
1		0,8873	0,0438	0,0136	0,0018	0,0076	0,0000	0,0014	0,0073	0,0083	0,1804	0,0375	0,0000	0,0026	0,0293
. 2			0,0169	0,0394	0,0190	0,0070	0,0047	0,0239	0,0000	0,0004	0,1211	0,0239		· '	0,0299
3				0,0535	0,0807	0,0004	0,0329	0,1115	0,0645	0,1113	0,0608	0,0155		0,1099	0,0408
Ξ.				A. Control of the Con	0,2923	0,3299	0,6198	0,0003	0,0363	0,3201	0,0934	0,0324	0,0315	0,3143	0,2046
5	-				arcine Leading	0,1428	0,3118	0,0262 0,0316	0,5730	70,3764	0,0337	0,0087	1 ' ')		0,0236
7			*				0,1047	0,0510	0,2775	0,0006	0,0248	0,0838	l í	0,0065	0,1211
8			1					~,~,~	0,0855	0,0371	0,1020	0,0096	1 ' ' 1	0,1731 0,1359	0,1491
9			****	* throwever		·		,		0,1122	0,0065	0,0005	0,1622		0,0513
10			i marianta	k was							0,0459	0,0300	0,0195		0,0064
11 12			7.									0,2497	0,0277	0,0083	0,0427
13				and the state of t									0,0002		0,5573
14		ti-str/,oppea												0,3176	0,0017
15 .		-	· :				The second secon								0,1176

QUADRO II - Resultados da análise de variância e do teste de Tukey para a Variável 1.

Cauxas de variação	G.L.	S.Q.	Q.M.	F
Faixas etárias Resíduo	3 76	15,2065 507,6992	. ,	0,758 —
TOTAL	79	522,9057		

Média geral = 81,55

Coeficiente de variação = 3,16%

Faixas etárias	Médias
a) 11 12	82,18
b) 12 13	81,75
c) 13 - 14	80,88
d) 14 ├── 15	81,65

Faixas etárias	Contrastes	Tukey 5%
å b	0,42 —	2,41
a c	1,30 —	2,53
a d	0,53 —	2,55
ъс	0,87 —	1,96
b d	0,10 —	1,99
c d	-0,76	2,12

QUADRO III - Resultados da análise de variância e do teste de Tukey para a Variável 2.

Causas de Variação	G.L.	S.Q.	Q.M.	F
Faixas etárias Resíduo	-	13,5231 493,5734	,,,,,,,,,,,,,,,,,,,,,,,,,,,,,,,,,,,,,,,	0,694 —
TOTAL	79	507.0966		

Média geral = 79,35 Coeficiente de variação = 3,21%

Faixas etárias	Médias
a) 11 12	80,09
b) 12 13	79 , 51
c) 13 14	78,78
d) 14 — 15	79,32

Faixas	etárias	Contrastes	Tukey 5%
a	Ъ	0,57 —	2,38
æ.	С	1,30 —	2,49
а	đ	0,76	2,51
ď	С	0,73 —	1,93
ď	đ	0,19 —	1,96
c	đ	- 0,53 —	2,09

QUADRO IV - Resultados da análise de variância e do teste de Tukey para a Variável 3.

Causas de Variação	G.L.	s.Q.	Q.M.	F
Faixas etárias	3	0,8515	0,2838	0,365 —
Residuo	76	59,0788	0,7773	
TOTAL	79	59,9304		

Média geral = 2,20

Coeficiente de variação = 39,90%

Faixas etárias	Médias
a) 11 12	2,09
b) 12 — 13	2,24
c) 13 — 14	2,09
d) 14 — 15	2,35

Faixas etárias	Contrastes	Tukey 5%			
a b	-0,15 —	0,82			
a c	-0,01	0,86			
a d	-0,25	0,87			
ъ с	0,14	0,66			
ъ.а	-0,10	0,67			
c đ	-0,25	0,72			

QUADRO V - Resultados da análise de variância e do teste Tukey para a variável 4.

de

ANÁLISE DE VARIÂNCIA

Causas de variação	G.L.	s.Q.	Q.M.	F
Faixas etárias Resíduo	3 76	59,9177 1951,1792	19,9725 25,6734	0,777 —
TOTAL	79	2011,0969		

Média geral = 28,83° Coeficiente de variação = 17,57%

Faixas etárias	Médias
a) 11 12	29,00
b) 12 — 13	27,82
c) 13 —— 14	28,90
d) 14 ├── 15	30,07

Faixs	as etárias	Contrastes	Tukey 5%
8.	Ъ	1,17 —	4,74
a	c	0,09 —	4,96
a	đ	-1,07	5,00
ď	c	-1,08	3,84
ъ	đ	-2, 25 	3,90
c	đ	-1,17 —	4,16

QUADRO VI - Resultados da análise de variância e do teste Tukey para a Variável 5.

Causas de Variação	G.L.	S.Q.	Q.M.	F
Faixas etárias Resíduo	3 76	6,4201 1565,7175	2,1400 20,6015	0,103 —
TOTAL	79	1572,1376	-	

Média geral = 61,33

Coeficiente de variação = 7,39%

Faixas etárias	Médias
a) 11 12	60,63
b) 12 — 13	61,49
c) 13 —— 14	61,38
d) 14 15	61,46

Faixas etárias	Contrastes	Tukey 5%
a b	-0,85 —	4,24
a c	-0,74	4,44
a d	-0,82	4,48
ъс	0,11	3,44
b ä	:0,02 	3,49
c d	-0,08	3 , 73

QUADRO VII - Resultados da análise de variância e do teste de Tukey para a Variável 6.

Causas da variação	G.L.	s.Q.	Q.M.	F
Faixas etárias Resíduo	3 76	61,4028 1599,0693	20,4676 21,0403	0,972 —
TOTAL	79	1660,4721		

Média geral = 89,83

Coeficiente de variação = 5,10%

Faixas etárias	Médias
a) 11 12	90,36
b) 12 13	90,68
c) 13 —— 14	89,71
d) 14 —— 15	88,46

Faixa	as etárias	Contrastes	Tukey 5%
	Ъ	-0,32 —	4,29
a	c	0,64 —	4,49
a	à	1,90 —	4 , 52
ď	С	0,97 —	3 , 48
Ъ	đ	2,22	3,53
C C	đ	1,25 —	3,76

QUADRO VIII - Resultados da análise de variância e do teste de Tukey para a Variável 7.

ANÁLISE DE VARIÂNCIA

Causas de variação	G.L.	S.Q.	Q.M.	F
Faixas etárias Resíduo	3 76	66,4377 915,6491	22,1459 12,0480	1,838 —
TOTAL	79	982,0869		

Média geral = 60,85

Coeficiente de variação = 5,70%

Faixas etárias	Médias
a) 11 	60,81
b) 12 13	60,33
c) 13 14	60,10
d) 14 ├── 15	62,38

Contraste	Tukey 5%
0,48 —	3,24
0,71 —	3,39
-1,56	3,42
0,22 —	2,63
-2,05	2,67
-2,28	2,85
	0,71 — -1,56 — 0,22 — -2,05 —

QUADRO IX - Resultados da análise de variância e do teste de Tukey para a Variável 8.

Causas da variação	G.L.	s.Q.	Q.M.	F
Faixas etárias Residuo	3 76	61,7244 1132,8810	20,5748 14,9063	1,380 —
TOTAL	79	1194,6054		

Média geral = 22,39

Coeficiente de variação = 17,24%

Faixas etárias	Médias
a) 11 12	22,68
b) 12 13	22,67
c) 13 —— 14	23,25
d) 14 15	20,92

Faixas	etárias	Contrastes	Tukey 5%
8.	b	0,01 —	3,61
a	с	-0,56	3 , 77
а	đ	1,75 —	3 , 81
ď	c	-0, 57 	2,93
ď	đ	1,75	2,97
c	đ	2,32 —	3,17
1			

QUADRO X - Resultados da análise da variância e do teste de Tukey para a Variável 9.

Causas da variação	G.L.	S.Q.	Q.M.	F
Faixas etárias Resíduo	3 76	25,7752 1138,1466	8,5917 14,9756	0,573 —
TOTAL	79	1163,9218		

Média geral = 24,46

Coeficiente de variação = 15,81%

Faixas etárias	Médias
a) 11 12	24,40
b) 12 13	24,82
c) 13 14	24,92
d) 14 ├── 15	23,52

Faixas e	etarias	Contraste	Tukey 5%
a ·	ъ	-0,41-	3,62
а	c	-0,51	3,78
a	đ	0,88	3,82
ъ	c	-0,10	2,93
ď	đ	1,29—	2,98
С	đ	1,40	3 , 18

QUADRO XI - Resultados da análise da variância e do teste de Tukey para a Variável 10.

Causas da variação	G.L.	S.Q.	Q.M.	F
Faixas etárias Resíduo	3 76	114,8408 2721,6093	38,2802 35,8106	1,068 —
TOTAL	79	2836,4501		***************************************

Média geral = 71,27

Coeficiente de variação = 8,39%

Faixas etárias	Médias
a) 11 12	69,09
b) 12 13	72,21
c) 13 —— 14	70,28
d) 14 ├── 15	72,20

Faixas	etárias	Contrastes	Tukey 5%
a	ъ	-3,12	5,60
а	c	-1,19	5,85
a	đ.	an 3,10	5,90
ъ	c .	1,92	4,54
ъ	đ	0,01 —	4,60
c	đ	-1,91	4,91

QUADRO XII - Resultados da análise da variância e do teste de Tukey da Variável 11.

Causas de variação	G.L.	S.Q.	Q.M.	F
Faixas etárias Resíduo	3 76	20,7364 490,4854	, -	1,071 —
TOTAL	79	511,2219		

Média geral = 49,51

Coeficiente de variação = 5,13%

Faixas etárias	Médias
a) 11 12	48,36
b) 12 13	49,75
c) 13 —— 14	49,38
a) 14 1 5	49,97

Faixa etária	Contrastes	Tukey 5%
a b	-1,38	2,37
a c	-1,01 —	2,48
a d	-1,61	2,50
ъс	0,36 —	1,92
b đ	-0, 22 	1,95
c đ	acc 0 , 59 minima	2,08

QUADRO XIII - Resultados da amostra da variância e do teste de Tukey para a Variável 12.

ANÁLISE DE VARIÂNCIA

Causas de variação	G.L.	s.Q.	Q.M.	F
Faixas etárias Residuo	3 76	448,9926 1721,4790	149,6642 22,6510	6,607*
TOTAL	79	2170,4716		

Média geral = 108,23 Coeficiente de variação = 4,39%

Faixas etárias	Médias
a) 11 12	103,72
b) 12 13	108,32
c) 13 14	107,38
d) 14	111,47

etárias	Contrastes	Tukey 5%
b	-4,59*	4,45
3	-3,65	4,65
ī	-7, 74*	4,69
3	0,94	3,61
đ	-3,15	3,66
ā .	<u>~</u> 4,09*	3,91
		-4,59* -3,65 -7,74* -3,15 -3,15

QUADRO XIV - Resultados da análise da variância e do teste de Tukey para a Variável 13.

Causas de variação	G.L.	s.Q.	Q.M.	F
Faixas etárias	3	•	• • •	0,300 —
Residuo	·	188,4525	2,4796	
TOTAL	79	190,6875		·····

Média geral = 4,81

Coeficiente de variação = 32,72%

Faixas etárias	Médias
a) 11 12	4,86
b) 12 13	4,71
c) 13 —— 14	5,07
d) 14 ├── 15	4,65

Faixas	etárias	Contrastes	Tukey 5%
a	Ъ	0,14 —	1,47
a	С	-0,20	1,54
a	đ	0,21 —	1,55
ъ	С	-0,35 -	1,19
р	đ	0,06 —	1,21
c	đ	0,42 —	1,29

QUADRO XV - Resultados da análise da variância e do teste đе Tukey para a Variável 14.

Causas da variação	G.L.	S.Q.	Q.M.	F
Faixas etárias	3	1,8440	0,6146	0,232 —
Residuo	76	200,7778	2,6418	
TOTAL	79	202,6218		

Média geral = 3,81 Coeficiente de variação = 42,56%

Faixas etárias	Médias
a) 11 12	3,54
b) 12 13	3 , 73
c) 13 14	3,90
d) 14 ├── 15	4,00

Faixas eta	árias	Contrastes	Tukey 5%
a b		-0,18	1,52
a c		-0, 35	1,59
a d		-0,45	1,60
b c		-0,17 —	1,23
b đ	·	-0,26 	1,25
c đ		,09	1,33

QUADRO XVI - Resultados da análise da variância e do teste de Tukey para a Variável 15.

Causas de variação	G.L.	ક.વ.	Q.M.	F
Faixas etárias Resíduo	3 76	417,3613 2575,5263	139,1204 33,8885	4,105*
TOTAL	79	2992,8876	·	

Média geral = 114,33

Coeficiente de variação = 5,09%

Faixas etárias	Médias
a) 11 12	109,90
b) 12 13	114,41
c) 13 —— 14	113,61
d) 14 ├── 15	117,42

Faixas	etárias	Contrastes	Tukey 5%
a	đ	-4 ,50 	5,44
a	c	-3,70	5,69
a	đ	-7,51*	5,74
Ъ	С	0,79 —	4,42
đ	đ.	-0,31	4,48
c	đ	-3,80 	4,78

CAPÍTULO V

CAPÍTULO V

DISCUSSÃO

A discussão dos nossos resultados será feita sob os seguintes aspectos:

- 1) Comportamento individual das variáveis dentro de cada sexo.
- 2) Estudo comparativo entre as médias das 15 variáveis estudadas.
- 3) Estudo do grau de relação existente entre as variá veis em estudo.
- 4) Análise conjunta, não levando em conta o fator sexo, efetuando estudos do comportamento individual das variáveis e do grau de relação entre elas.
- 5) Análise de variância para cada uma das variáveis em estudo.
- 6) Estudo comparativo entre os resultados obtidos para as 15 variáveis e, aqueles apresentados por outros pesquisadores.

1 - Comportamento individual das variáveis dentro de cada sexo

Conforme podemos observar nas tabelas III e IV, a experiência realizada com as 15 variáveis foi boa em termos de precisão, haja vista que, em grande parte, as variáveis em estudo tiveram um coeficiente de variação abaixo de 20% com exceção das variáveis 3, 13 e 14. Em ambas as amostras e para todas as variáveis, a variância, desvio padrão e o erro padrão da média foram baixos, o que indica que houve bastante uniformidade dos elementos no que concerne às medidas aferidas e que, em grande parte, os elementos de cada variável cefalométrica estão em tor no de sua média. Nestas tabelas encontramos para todas as variáveis, os intervalos de confiança para as médias. Tais intervalos de confiança para as médias, com 95% de probabilidade.

2 - Estudo comparativo entre as médias das 15 variáveis

Como o sexo é uma fonte de variação, neste trabalho uma das nossas preocupações foi a de verificar o quanto esta fonte de variação contribui para as variáveis em estudo. Esta verificação foi realizada mediante um teste de hipótese, no qual inicialmente formulamos a hipótese de nulidade, ou seja: que as médias das variáveis, da amostra de indivíduos do masculino, não diferem das respectivas médias de amostra do sexo oposto. Em seguida determinamos os valores do teste "t", com base nas medidas cefalométricas de ambas as amostras. Tais valo res estão contidos na tabela V, todos seguidos de um traço à di reita (---) querendo isto dizer que não houve significância esta tística na diferença entre as médias das variáveis em estudo.Os valores do teste "t", constantes na tabela V, foram comparados com os valores teóricos de "t" (1,994 e 2,647) extraídos da "ta bela 9" de GOMES 37, com 78 graus de liberdade aos níveis de 5% e 1% de probabilidade respectivamente. Diante disso, somos leva dos a aceitar a hipótese antes formulada, qual seja, a de as médias não diferem entre si. Isto nos possibilita dizer o comportamento de todas as variáveis é praticamente o mesmo em ambos os sexos. Isto que acabamos de dizer poderá ser reforçado se nos detivermos um pouco nas tabelas VI e VII, onde poderemos observar que grande parte das variáveis tiveram superposições de intervalo de confiança acima de 50%, em ambos os sentidos. -Se nos reportarmos ainda à tabela VIII, verificaremos que nosso estudo é bastante fidedigno, uma vez que na maioria das variá-veis o coeficiente de variação se mostrou de médio a baixo, que nos leva a dizer que foi boa a precisão experimental, segun do GOMES³⁷.

3 - Estudo do grau de relação entre as 15 variáveis

O grau de relação entre duas variáveis é determinado a partir do coeficiente de correlação, que tem em vista especial

^{*} Tabela numerada segundo original do autor.

mente, estudar a dependência entre estas variáveis. Em nosso - trabalho, além da determinação dos coeficientes de correlação - para todos os pares de variáveis, calculamos o valor do teste "t" e os coeficientes de determinação. Os valores calculados para o teste "t" foram comparados com os valores teóricos de "t" aos níveis de 5% e 1% de probabilidade com 38 graus de liberdade que são, respectivamente 2,03 e 2,71 segundo GOMES 37. Este estudo foi feito para ambos os sexos.

- a) Sexo Masculino: na tabela IX estão contidos os coe ficientes de correlação entre as 15 variáveis em estudo. Pela tabela X podemos constatar que 32 pares de variáveis tiveram um coeficiente de correlação significativo, aos níveis de 5% e 1% de probabilidade. Destes 32 pares, selecionamos 8 como os mais bem relacionados, uma vez que pela tabela XI podemos observar que seus coeficientes de determinação estão acima de 50%. A seguir apresentamos um estudo individual de cada par. Os gráficos construidos para esse estudo estão contidos no apêndice.
- a.l Variável l versus variável 2 0 coeficiente de correlação para estas variáveis foi r = 0,9282, significativo ao nível de 1% de probabilidade. O sinal positivo deste coeficiente está indicando que, aos valores baixos de uma variável,
 estão associados valores baixos da outra, o mesmo ocorrendo para os valores altos. No gráfico l podemos observar como os pontos tendem a distribuir-se sobre uma linha reta.

O coeficiente de determinação para este par de variáveis foi de 86,16%, significando que esta porcentagem é explica da pela regressão, tomando por base a variação total.

a.2 - Variável 4 versus variável 7 - Para este par de variáveis o coeficiente de correlação foi significativo ao nível de 1% de probabilidade, significância esta obtida com a aplicação do teste "t". No gráfico 2 apresentamos a distribui-ção das variáveis, podendo observar com mais detalhe a intensidade da tendência dos pontos para uma linha reta.

O coeficiente de correlação foi positivo, indicando - que, aos valores baixos da variável 4, estão associados os valores baixos da variável 7, e aos valores altos da variável 7 estão associados os valores altos da variável 4.

a.3 - Variável 5 versus variável 7 - Para este par de variáveis o coeficiente de correlação foi r =-0,7281, signi-

ficativo ao nível de 1% de probabilidade. Aos valores baixos da variável 5 estão associados os valores altos da variável 7, e aos valores altos da variável 5 correspondem os valores baixos da variável 7, isto porque o sinal do coeficiente de correlação é negativo. No gráfico 3 mostramos a distribuição dos dados obtidos e como os mesmos tendem para a reta. O coeficiente de determinação, calculado para este caso, foi 53,01%, percentual este que é explicado pela regressão, tomando por base a variação total.

a.4 - Variável 5 versus variável 9 - 0 coeficiente de correlação para estas variáveis foi significativo ao nível de 1% de probabilidade e o valor assumido foi r = -0,7413 que, sendo negativo, tem a mesma interpretação do par anterior. No gráfico 4 mostramos a distribuição dos dados observados, podendo constatar que eles tendem a uma reta.

O coeficiente de determinação para este par de variáveis foi igual a 54,95%, percentagem esta explicada pela regres são, tomando por base a variação total.

a.5 - Variável 5 versus variável 14 - Para este - par o coeficiente de correlação foi igualmente negativo e, em consequência, tem o mesmo significado dos pares anteriores. Este coeficiente r = -0,7584 foi significativo ao nível de 1% de probabilidade e apresentou um coeficiente de determinação - igual a 57,46%, percentual este explicado pela regressão, toman do por base a variação total. No gráfico 5 podemos observar com mais detalhe o grau de relação entre as variáveis consideradas.

a.6 - Variável 8 versus variável 13 - 0 coeficiente de correlação para este par de variáveis foi r = 0,7356, significativo ao nível de 1% de probabilidade, apresentando um coeficiente de correlação igual a 54,11%. Isso indica que da variação total esta porcentagem é a parte explicada pela regressão.-No gráfico 6 mostramos a distribuição dos dados observados.

Como o coeficiente de correlação foi positivo, os valores baixos e altos da variável 8 estão associados aos valores baixos e altos, respectivamente, da variável 13.

a.7 - Variável 9 versus variável 14 - Para este par de variáveis houve significância estatística, ao nível de 1% de probabilidade, para o coeficiente de correlação que assumiu o valor de 0,7815. A parte explicada pela regressão é de

61,07% da variação total, pois esta porcentagem foi o valor assumido pelo coeficiente de determinação. No gráfico 7 apresenta mos a distribuição dos dados observados e podemos constatar como os pontos tendem a distribuir-se sobre uma reta.

Como o coeficiente de correlação foi positivo, aos valores baixos e altos da variável 9 estão associados, respectí vamente, os valores baixos e altos da variável 14.

a.8 - Variável 12 versus variável 15 - O coeficiente de correlação para este caso foi igual a 0,7948, significativo ao nível de 1% de probabilidade. O coeficiente de determinação foi da ordem de 63,17%, indicando que, da variação total, esta é a parte explicada pela regressão. Como o sinal do coeficiente de correlação foi positivo, a interpretação com referência ao mesmo é idêntica à do par anterior. No gráfico 8 mostramos - como os dados tendem a distribuir-se sobre uma linha reta.

b - Sexo feminino: Na tabela XII estão classificados os coeficientes de correlação entre as 15 variáveis em estudo e que pela tabela XIII podemos constatar que 40 pares destas mesmas variáveis apresentaram um coeficiente de correlação significativo aos níveis de 5% e 1% de probabilidade. Porém, destes 40 pares, selecionamos apenas 3 pares como os mais relacionados, uma vez que, de acordo com a tabela XIV, somente estes pares tiveram um coeficiente de determinação superior a 50%. A seguir, apresentamos um estudo individual de cada par.

b.l - Variável l versus variável 2 - 0 coeficiente de correlação para este par de variáveis foi igual a 0,9540, significativo ao nível de 1% de probabilidade. O coeficiente de determinação foi da ordem de 91,01%, significando que este percentual é explicado pela regressão, tendo em vista a variação - total. No gráfico 9 apresentamos a distribuição dos dados observados, podendo constatar como os pontos se reunem ao longo de uma reta.

Os valores baixos e altos da variável l estão associa dos respectivamente aos valores baixos e altos da variável 2, - uma vez que o sinal do coeficiente de correlação foi positivo.

b.2 - Variável 4 versus variável 7 - Para este par de variáveis o coeficiente de correlação encontrado foi r = 0,7323, significativo ao nível de 1% de probabilidade. O coeficiente de determinação foi da ordem de 53,62%, porcentagem esta

UNICAMP BIBLIOTECA CENTRA: que é explicada pela regressão tomando por base a variação total. No gráfico 10 podemos observar como os dados se distribuem ao longo de uma reta.

Os valores baixos da variável 4 estão associados aos valores baixos da variável 7, o mesmo acontecendo com os valores altos, isto devido ao sinal positivo do coeficiente de correlação.

b.3 - Variável 5 versus variável 9 - Neste caso, o coeficiente de correlação r = -0,7730 foi significativo ao nível de 1% de probabilidade e, como o sinal foi negativo, os valores baixos da variável 5 estão associados aos altos da variável 9, e os valores altos da variável 5 estão associados aos valores baixos da variável 9. No gráfico 11 este detalhe pode ser melhor observado, bem como a distribuição dos dados.

A parte que é explicada pela regressão é 59,75% da variação total, pois este foi o valor encontrado para o coeficiente de determinação.

4 - Análise conjunta, não levando em conta o fator sexo - De acordo com o que já observamos nos ítens anteriores, a fonte de variação sexo praticamente em nada influenciou as variáveis que estamos estudando. Diante deste fato, foi-nos possí vel reunir as duas amostras (a do sexo masculino e do feminino) numa só, essa com 80 indivíduos. A partir daí procedemos aos seguintes estudos:

estudo feito para verificar o comportamento das variáveis - 0 estudo feito para verificar o comportamento das variáveis poderá ser observado detalhadamente na tabela XV, onde encontramos, para cada uma delas, as medidas de tendência central e de dispersão, bem como o intervalo de confiança para as médias das variáveis. É importante observar que variância, desvio padrão e erro padrão da média, para a maioria das variáveis, assumiram - valores baixos, pois, na maior parte, os coeficientes de variação foram de médios a baixos, o que indica uma boa precisão no experimento. Podemos ainda dizer que as verdadeiras médias estão bem estimadas através das médias aritméticas e que os intervalos de confiança cobrem as verdadeiras médias com uma probabilidade de 5% de erro.

4.2 - Relação existente entre as variáveis - O es tudo da relação entre as variáveis foi realizado através do coe ficiente de correlação, cujos valores estão contidos na tabela XVI. Estes coeficientes foram testados através do teste "t", constante na tabela XVII. Os valores teóricos de "t" (1,994 e 2,647) foram extraídos da "tabela 9" de GOMES 37, com 78 graus de liberdade, correspondendo respectivamente aos níveis de 5% e 1% de probabilidade. Conforme podemos observar nestas tabelas, 45 pares de variáveis tiveram coeficiente de correlação significativo aos níveis de 5% e 1% de probabilidade. Porém, destes 45, selecionamos apenas 6 pares como os mais relacionados, uma vez que pela tabela XVIII podemos constatar que os respectivos coeficientes de determinação foram superiores a 50%.

A seguir apresentamos os seis pares de variáveis.

4.2.1 - Variável l versus variável 2 - 0 coeficiente de correlação calculado para este par de variáveis foi igual a 0,9419, apresentando significância estatística ao nível de 1% de probabilidade. Uma vez que este coeficiente teve sinal positivo, os valores baixos da variável l estão associados aos valores baixos da variável 2, o mesmo ocorrendo com os valores altos. No gráfico 12, podemos observar este detalhe, bem como a distribuição dos dados observados ao longo de uma reta.

O coeficiente de determinação foi da ordem de 88,73%, indicando que esta porcentagem é a parte da variação total devida a regressão.

4.2.2 - Variável 4 versus variável 7 - Para este caso o valor assumido pelo coeficiente de correlação foi r = 0,7873, significativo ao nível de 1% de probabilidade. Como o sinal do coeficiente foi positivo, o raciocínio é o mesmo do caso anterior. No gráfico 13 podemos constatar este fato e observar a tendência dos pontos distribuirem-se ao longo da reta.

O que é explicado pela regressão, tomando por base a variação total, é da ordem de 61,98%, pois este foi o valor assumido pelo coeficiente de determinação.

4.2.3 - Variável 5 versus variável 9 - Este par de variáveis apresentou um coeficiente de correlação r = 0,7569, significativo ao nível de 1% de probabilidade. Aos valores baixos da variável 5 estão associados os valores altos da variável 9, e aos valores altos da variável 5 correspondem os * Tabela numerada segundo o original do autor

valores baixos da variável 9, isto porque o sinal do coeficiente de correlação é negativo. No gráfico 14 podemos constatar es te fato e observar como os pontos se distribuem ao longo de uma reta.

O coeficiente de determinação calculado para este caso foi da ordem de 57,30%, sendo esta a parte da variação total explicada pela regressão.

4.2.4 - Variável 5 versus variável 14 - Como no caso anterior, o coeficiente de correlação é negativo e, portanto, o raciocínio é o mesmo. O valor assumido pelo coeficiente r = -0,7175 apresentou significância estatística ao nível de 1% de probabilidade. No gráfico 15 apresentamos a distribuição dos dados observados, através de um diagrama de dispersão de pontos.

A parte da variação total explicada pela regressão, - neste caso, é da ordem de 51,48%, pois foi este o valor assumido pelo coeficiente de determinação.

4.2.5 - Variável 9 versus variável 14 - 0 coeficiente de correlação determinado para este par de variáveis foi igual a 0,7401, significativo ao nível de 1% de probabilida de. Através do gráfico 16 podemos observar como os pontos se - distribuem ao longo de uma reta. Podemos também verificar que aos valores baixos da variável 9 estão associados os valores - baixos da variável 14, o mesmo ocorrendo com valores altos, isto porque o sinal do coeficiente de correlação é positivo.

O coeficiente de determinação indica que, da variação total, 54,77% são explicados pela regressão.

4.2.6 - Variável 12 versus variável 15 - Para este par, o coeficiente de correlação calculado foi igual a 0,7465, apresentando significância estatística ao nível de 1% de probabilidade. Como o sinal do coeficiente de correlação foi positivo, a interpretação é a mesma do caso anterior, podendose observar este detalhe no gráfico 17, bem como a distribuição dos dados observados.

O coeficiente de determinação calculado para este par foi da ordem de 55,73%, sendo esta porcentagem a parte da variação total explicada pela regressão.

5 - Análise de variância, para as variáveis em questão, com o objetivo de estudar o comportamento das diferentes faixas etárias.

Conforme podemos observar nos resultados das análises de variância e aplicação do teste de Tukey, contidos nos quadros numerados de II a XVI, para as variáveis 1, 2, 3, 4, 5, 6, 7, 9, 10, 11, 13 e 14 as médias das quatro faixas etárias não dife riram estatisticamente entre si, levando-nos a dizer que, essas variáveis, não houve influência das diferentes faixas etá rias. Para a variável 12, a média, $\hat{m} = 103,72$, da faixa a (11 |--- 12) diferiu estatisticamente da média, m = 108,32 da faixa etária b (12 | 13), diferindo também da média, 111,47, da faixa etária d (14 | 15). Apresentaram diferença significativa, também, as médias das faixas etárias c (13 14) e d (14 |--- 15) que são respectivamente 107,38 e 111,47. -Para a variável 15, apenas um contraste apresentou significan-cia estatística: o contraste entre a média, m = 109,90, da faixa etária a (11 \leftarrow 12) e a média, \hat{m} = 117,42, da faixa etária d (14 ├─ 15).

6 - Comparação dos resultados obtidos com os estabelecidos por outros pesquisadores.

Devem-se ressaltar as dificuldades concernentes às comparações dos resultados no presente trabalho com os existentes na literatura, uma vez que muitos autores pesquisaram as variáveis em estudo, porém poucos o fizeram adotando métodos es tatísticos para avaliação dos resultados; poucos as estudaram dentro de uma faixa etária semelhante e em amostra de indivíduos portadores de oclusão dentária considerada "normal".

Desta maneira, procuramos confrontar os resultados - desta pesquisa com aqueles já conhecidos e aceitos como padrões, bem como buscamos selecionar os principais autores que estudaram estas variáveis em amostra de oclusão dentária "normal", e dentro de uma faixa etária que mais se assemelhasse à utilizada na realização desta pesquisa.

QUADRO XVII - Variável 1 - SNA

AUTOR	Nº de casos	sexo	idade	valor encontrado	traçado realizado
RIEDEL ⁷⁶	24		8 - 11	80,79	S-N-A-
STEINER ⁸⁴	euro	-	-	82,00	S-N-A
DUTRA ³²	40	M-F	11 - 14	81,94	S-N-A
TAYLOR & HITCHCOCK ⁹²	40	M-F	8 - 15	81,00	S-N-A
WALKER & KOWALSKI ¹⁰²	124 159	M F	12 M 14 12 - 14	82,20 81,54	S-N-A S-N-A
	40	M	11 - 14	81,53	S-N-A
Nossos resultados	40	F	11 - 14	81,58	S-N-A
	80	M-F	11 - 14	81, 55	S-N-A

Observamos no quadro XVII que nossos resultados se aproximaram bastante dos apresentados por RIEDEL⁷⁶, STEINER⁸⁹, DUTRA³², TAYLOR & HITCHCOCK⁹² e WALKER & KOWALSKI¹⁰². Os resultados obtidos para a amostra do sexo feminino e os apresentados por WALKER & KOWALSKI¹⁰² para a amostra do mesmo sexo são os que mais se aproximaram.

QUADRO XVIII - Variável 2 - SNB

AUTOR	Nº de casos	Sexo	Idade	valor encontrado	traçado realizado
RIEDEL ⁷⁶	24	-	8 - 11	78,02	S-N-B
STEINER ⁸⁹		-	-	80,00	S-N-B
TAYLOR & HITCHCOCK ⁹²	40	M-F	8 - 15	78,20	S-N-B
DUTRA ³²	40	M-F	11 - 14	80,00	S-N-B3
WALKER & KOWALSKI ¹⁰²	124 159	M	12 - 14 12 - 14	77,52 77,56	S-N-B S-N-B
Nossos resultados	40 40 80	M F M-F	11 - 14 11 - 14 11 - 14	79,25 79,46 79,35	S-N-B S-N-B S-N-B

Verifica-se pelo quadro XVIII que a variável 2 apresentou resultados mais aproximados àqueles apresentados por STEINER⁸⁹, DUTRA³², enquanto apresentou valor maior que os resultados de RIEDEL⁷⁶. Isso pode ser atribuido ao fato desse autor ter determinado - seus valores em uma faixa etária mais baixa que a utilizada na presente pesquisa.

QUADRO XIX - Variável 3 - ANB

AUTOR	Nº de casos	sexo	idade	valor encontrado	traçado realizado
RIEDEL ⁷⁶	24	-	8 - 11	2,77	A-N-B
STEINER ⁸⁹				2,00	A-N-B
BAUM ¹¹	31 31	M F	12 - 14 12 - 14	3,60 2,70	A-N-B A-N-B
TAYLOR & HITCHOCK 92	40	M-F	8 - 15	2,80	A-N-B
WALKER & KOWALSKI ¹⁰¹	124 159	M F	12 - 14 12 - 14	4,92 4,21	A-N-B A-N-B
Nossos resultados	40 40 80	M F M-F	11 - 14 11 - 14 11 - 14	2,30 2,11 2,20	A-N-B A-N-B A-N-B

Verifica-se no quadro XIX que a variável 3 apresentou resultados bastante aproximados àqueles apresentados por RIEDEL 76, STEINER 89, TAYLOR & HITCHCOCK 92 e BAUM 11 para a amos-tra do sexo feminino. Contudo, grande diferença de resultados é observada ao comparar-se com os de BAUM 11, para o sexo masculino e de WALKER & KOWALSKI 101 para ambos os sexos.

QUADRO XX - Variável 4 - FMA

AUTOR	Nº de casos	sexo	idade	valor encontrado	traçado realizado
TWEED 96,97	95	M-F	•••	24,57	Frankfort - plano Go-Me
DOWNS ³⁰	50	M-F	12 - 17	21,90	Frankfort - plano tangente bordo in ferior mand.
	31	M	12 - 14	23,30	Igual a DOWNS ³⁰
BAUM ¹¹	31	F	12 - 14	22,20	Igual a DOWNS_
	62	M-F	12 - 14	22,70	Igual a DOWNS ³⁰
TAYLOR & HITCHOCOCK ⁹²	40	M-F	8 - 15	26,40	Igual a TWEED 96,97
KOWALSKI & WALKER ⁵⁸	124	M	12 - 14	24,88	Igual a TWEED 96,97
TOWALLOW WALKISH	159	F	12 - 14	24,96	Igual a TWEED 96,97
HOPKINS & MURPHY ⁴⁷	50	M-F	12 - 15	25,81	Igual a TWEED 96,97
	40	M	11 - 14	29,10	
Nossos resultados	40	F	11 - 14	28,56	Igual a DOWNS ³⁰
	80	M-F	11 - 14	28,83	

Verifica-se pelo quadro XX que a variável 4 apresentou resultados superiores aos dos demais pesquisadores. O resultado que mais se aproxima dos obtidos na presente pesquisa foi o de TAYLOR & HITCHCOCK 92, embora tenha sido utilizado plano mandibular diferente - do deste trabalho.

QUADRO XXI - Variável 5 - FMIA

AUTOR	Nº de casos	sexo	idade	valor encontrado	traçado realizado
TWEED ⁹⁷	95	M-F	Name .	68,20	Frankfort - longo ei- xo incisivo
kowalski & walker ⁵⁸	110	M-F	12 - 17	59,00	Igual a TWEED ⁹⁷
HOPKINS & MURPHY ⁴⁷	40	M-F	12 - 15	56,08	Igual a TWEED ⁹⁷
	40 40 80	M F M-F	11 - 14 11 - 14 11 - 14	60,48 62,19 61,33	Igual a TWEED ⁹⁷

Observamos pelo quadro XXI que a variável 5 se mostrou bastante discordante dos autores citados, aproximando-se mais dos resultados obtidos por KOWALSKI & WALKER⁵⁸.

QUADRO XXII - Variável 6 - IMPA

AUTOR	Nº de casos	sexo	idade	valor encontrado	traçado realizado
MARGOLIS ⁶²	100	-	6 - 19	90,00	tangente - bordo in- ferior mand.
TWEED 96,97	95	M-F	-	86,93	Go-Me
DOWNS ³⁰	20	M-F	12 - 17	91,40	tangente ao bordo in ferior mand.
SCHAEFFER ⁸⁵	46	mad	12	95,00	Go-Gn
***	31	M	12 - 14	97,30	tangente ao bordo in
BAUM ¹¹	31	F	12 - 14	95,00	ferior da mandibula
	62	M-F	12 - 14	96,20	
BJORK & PALLING ¹⁴	243	_	12	92,10	tangente ao bordo in ferior da mandibula
altemus ²	20	F	11 - 14	96,00	Go-Me
TAYLOR & HITCHCOCK ⁹²	40	M-F	8 - 15	97,30	Go-Me
HOPKINS & MURPHY ⁴⁷	40	M-F	12 - 15	98,11	Go-Me
KOWALSKI & WALKER ⁵⁸	110	M-F	12 - 17	97,00	Go-Me
THOMAZINHO ⁹³	40	M-F	12 - 14	91,89	tangente ao bordo in ferior da mandibula
valente ⁹⁸	40	M-F	12 - 14	91,89	tangente ao bordo i <u>n</u> ferior da mandibula
Nossos resultados	40 40 80	M F M-F	11 - 14 11 - 14 11 - 14	90,41 89,24 89,83	tangente ao bordo in ferior da mandibula

Observando o quadro XXII verificamos que a variável 6 apresentou resultados bastante pró ximos dos apresentados por MARGOLIS62, TWEED96,97, DOWNS30, THOMAZINHO93, VALENTE98. As diferenças apresentadas em relação aos resultados de outros autores podem ser atribuídas a diferente método de traçado.

QUADRO XXIII - Variável 7 - Ângulo Y

AUTOR	Nº de casos	sexo	idađe	valor encontrado	traçado realizado
DOWNS ³⁰	M 5 0	M-F	12 - 17	59,40	S-Gn
BAUMll	<i>3</i> 1	M	12 - 14	57 , 50	Igual a DOWNS ³⁰ Igual a DOWNS ³⁰
	31 62	F M-F	12 - 14 12 - 14	56,90 57,20	Igual a DOWNS ³⁰
TAYLOR & HITCHCOCK ⁹²	40	M-F	8 - 15	60,40	Igual a DOWNS ³⁰
HOPKINS & MURPHY ⁴⁷	50	M-F	12 - 15	61,30	Igual a DOWNS ³⁰
	40	M	11 - 14	60,84	20
Nossos resultados	40 80	f M-F	11 - 14 11 - 14	60,86 60,85	Igual a DOWNS ³⁰

Verificamos para esta variável, ao observar o quadro XXIII, que houve uma conformidade de resultados entre os vários autores e os obtidos nesta pesquisa, estando entretanto mais distanciados dos apresentados por BAUM¹¹.

QUADRO XXIV - Variável 8 - 1 - NA ang.

AUTOR	Nº de casos	sexo	idade	valor encontrado	traçado realizado
STEINER ⁸⁹	***		***	22,00	longo eixo de <u>l</u> - linha NA
HOPKINS & MURPHY ⁴⁷	40	M-F	12 - 15	21,81	Igual a STEINER ⁸⁹
TAYLOR & HITCHCOCK ⁹²	40	M-F	8 - 15	23,20	Igual a STEINER ⁸⁹
	40	M	11 - 14	22,35	
Nossos resultados	40	F	11 - 14	22,42	Igual a STEINER 89
	80	M-F	11 - 14	22,39	

Verificamos ao analisar o quadro XXIV, que a variável 8 se aproximou bastante dos resultados apresentados por STEINER⁸⁹, HOPKINS & MURPHY⁴⁷ e TAYLOR & HITCHCOCK⁹².

QUADRO XXV - Variável 9 - T - NB âng.

AUTOR	Nº de casos	sexo	idade	valor encontrado	traçado realizado
STEINER ⁸⁹	•••	_		25,00	longo eixo de T - linha NB
HOPKINS & MURPHY ⁴⁷	40	M-F	12 - 15	28,30	Igual a STEINER ⁸⁹
TAYLOR & HITCHCOCK ⁹²	40	M-F	8 - 15	27,30	Igual a STEINER ⁸⁹
Nossos resultados	40 40 80	M F M-F	11 - 14 11 - 14 11 - 14	24,96 23,96 24,46	Igual a STEINER ⁸⁹

Pelos resultados apresentados no quadro XXV, verificamos que a variável 9 se aproximou bastante dos resultados alcançados por STEINER⁸⁹ e apresentou grande diferença dos resultados obtidos por HOPKINS & MURPHY⁴⁷ e TAYLOR & HITCHCOCK⁹².

QUADRO XXVI - Variável 10 - ângulo Z

AUTOR	Nº de casos	sexo	idade	valor encontrado	traçado realizado
MERRIEFFELD ⁶⁴	120	M-F	11 - 15	78,00	Pg. tecido mole - lá bio mais protruído - Plano horizontal de Frankfurt.
Nossos resultados	40 40 80	M F M-F	11 - 14 11 - 14 11 - 14	70,32 72,22 71,27	Igual a MERRIEFIELD ⁶⁴ Igual a MERRIEFIELD ⁶⁴ Igual a MERRIEFIELD ⁶⁴

Ao analisar o quadro XXVI, verificamos que a variável 10 se mostrou bastante distante dos resultados obtidos e preconizados por MERRIEFIELD 64 , para amostra de oclusão dentária con siderada "normal", dentro da mesma faixa etária.

QUADRO XXVII - Variável 11 - Comprimento da maxila

AUTOR	NÇ de casos	sexo	idade	valor encontrado	traçado realizado
WYLIE ¹⁰⁵		w.	11	52,00	Ptm - ENA
altemus ²	20	F	11 - 14	54,00	Ptm - ENA
	20	F	11 - 14	49,00	Ptm - A
THOMAZINHO ⁹³	40	M-F	11 - 14	48,89	Ptm' - A"
Nossos resultados	40	М	11 - 14	49,85	Ptm - A
	40	F	11 - 14	49,18	Ptm - A
	80	M-F	11 - 14	49,51	Ptm - A

[&]quot;Embora WYLIE¹⁰⁵ tenha realizado suas pesquisas com amostra de indivíduos portadores de maloclusão Cl. 1, de ANGLE⁴, e seus pontos sejam diferentes dos utilizados na presente pesquisa, seu nome foi citado porque seus resultados são aceitos como padrões para esta variável.

Observando-se os resultados obtidos na presente pesquisa e comparando-os com os resultados estabelecidos por ALTEMUS² e THOMAZINHO⁹³, verificamos que os nossos resultados para amostra do sexo feminino se aproximaram bastante dos alcançados por ALTEMUS², para o mes mo sexo. A variação existente entre nossos resultados e os obtidos por THOMAZINHO⁹³ pode ser atribuída a diferença de traçado cefalométrico. Os nossos mostraram-se discrepantes - dos resultados obtidos por WYLIE¹⁰⁵, pela diferença de pontos adotados para se fazer a medição para esta variável.

QUADRO XXVIII - Variável 12 - Comprimento total da mandíbula

AUTOR	Nº de casos	sexo	idade	yalor encontrado	traçado realizado
WYLIE ¹⁰⁵		M F	11 11	103,00	ponto mais porte- rior do condilo - mand - Pg.
ALTEMUS ²	20	F	11 - 14	104,00	Igual a WYLIE 105
THOMAZINHO ⁹³	40	M-F	11 - 14	106,48	Igual a WYLIE 105
HOPKINS & MURPHY ⁴⁷	20 20	F M	12 - 15 12 - 15	105,50 111,48	Igual a WYLIE 105
Nossos resultados	40 40 80	M F M-F	11 - 14 11 - 14 11 - 14	108,97 107,48 108,23	Igual a WYLIE ¹⁰⁵

Observando-se os valores contidos no quadro XXVIII, verificamos que o valor médio desta variável, não se considerando o fator sexo, se aproximou mais dos obtidos por THOMAZINHO 93. Comparando-os aos valores de WYLIE 105, verificamos que são bastante superiores, comquanto este autor os obtivesse em amostra de maloclusão Cl. 1.

QUADRO XXIX - Variável 13 - 1 - NA mm

AUTOR	Nº de casos	sexo	idade	valor encontrado	traçado realizado
STEINER ⁸⁹	••	w		4,00	1 - NA
HOPKINS & MURPHY ⁴⁷	40	M-F	12 - 15	4,61	Igual a STEINER ⁸⁹
Nossos resultados	40 40 80	M F M-F	11 - 14 11 - 14 11 - 14	4,75 4,87 4,81	Igual a STEINER ⁸⁹

Verificamos pelo quadro XXIX que a variável 13 apresentou resultados bastante próximos aos de STEINER⁸⁹ e HOPKINS & MURPHY⁴⁷.

QUADRO XXX - Variável 14 - T - NB mm

AUTOR	Nº de casos	sexo	idade	valor encontrado	traçado realizado
STEINER ⁸⁹	***		PANA .	4,00	T - NB
HOPKINS & MURPHY ⁴⁷	40	M-F	12 - 15	5,36	Igual a STEINER ⁸⁹
TAYLOR & HITCHCOCK ⁹²	40	M - F	8 - 15	5,40	Igual a STEINER ⁸⁹
Nossos resultados	40 40 80	M F M - F	11 - 14 11 - 14 11 - 14	3,95 3,68 3,81	Igual a STEINER ⁸⁹

Observa-se no quadro XXX que os resultados obtidos para a variável 14 estão bastante próximos dos estabelecidos por STEINER⁸⁹, embora sejam bastante diferentes dos obtidos por TAYLOR & HITCHCOCK⁹² e HOPKINS & MURPHY⁴⁷.

QUADRO XXXI - Variável 15 - N-Me

AUTOR	Nº de casos	sexo	idade	valor encontrado	traçado realizado
WYLIE & JOHNSON 106	97 74	M F	-	114,92 112,93	N - Me N - Me
BJORK ¹³	322	M	12	113,82	N - Me
VALENTE 98	40	M-F	12 - 14	113,28	N - Me
Nossos resultados	40 40 80	M F M - F	11 - 14 11 - 14 11 - 14	115,71 113,05 114,38	N - Me N - Me N - Me

Verificando-se o quadro XXXI, observamos que os nossos resultados se apresentam bastante proximos dos obtidos por WYLIE & JOHNSON¹⁰⁶, confirmando que o sexo feminino apresenta - uma menor altura facial total. Os resultados obtidos por BJORK¹³, VALENTE⁹⁸ também se aproximam bastante dos obtidos na presente pesquisa.

CAPÍTULO VI

CONCLUSÕES

Os resultados que obtivemos com o presente trabalho, levaram-nos a concluir que:

- l) o fator sexo não influiu significativamente no com portamento estatístico das medidas cefalométricas estudadas;
- 2) somente os valtores obtidos para o comprimento da mandíbula e altura total da face, demonstraram variação significativa com a idade;
- 3) há possibilidade de uma aproximação para valores padrões para as medidas cefalométricas das crianças de Piracica ba, portadoras de oclusão dentária considerada "normal", representado pelas médias aritméticas obtidas pela análise conjunta das duas amostras (masculino e feminino);
- 4) os valores obtidos para as variáveis estudadas são muitos semelhantes àqueles valores padrões apresentados para essas variáveis, em estudos prévios;
- 5) houve significativo número de medidas cefalométricas bem correlacionadas, indicando que as 15 medidas cefalométricas, que descrevem as relações esqueléticas e dentárias do conjunto crânio-facial, não podem ser analisadas isoladamente, porque a interpretação de cada medida cefalométrica depende de sua correlação com as outras variáveis que integram a análise cefalométrica estudada;
- 6) idênticos estudos deverão ser desenvolvidos em várias regiões do País, até que se considere a amostra como representativa, para ser estabelecido os padrões cefalométricos da criança brasileira.

CAPÍTULO VII

REFERÊNCIAS BIBLIOGRÁFICAS*

- 1 ALLEN, William I. Historical aspects of roentgenographic cephalometry. Am. J. Orthod., St. Louis, 49 (6): 451-9, June 1963.
- 2 ALTEMUS, Leonard A. Horizontal and vertical dentofacial relationships in normal and class II division 1 malocclusion in girls 11-15 years. Angle Orthod., Chicago, 25 (3): 120-37, July 1955.
- 3 ANGELMAN, Joseph. The incisal apical relationship as an assessment of skeletal pattern. Rep. Eur. Orthod. Soc., Den Haag, 40: 481-98, 1964.
- 4 ANGLE, Edward Hartley. <u>Malocclusion of the teeth</u>. 7 ed. Philadelphia, S.S.White Dental Manufacturing, 1907, p.7.
- 5 ARAUJO, Manoel Carlos Muller de. Contribuição ao estudo dos desvios ântero-posteriores da mandíbula através das radiografias cefalométricas. (Nos casos de classe I e classe II). Piracicaba, 1964, 67p. | Tese (Livre-Docência) F.O.P. |
- 6 . Contribuição para a análise cefalométrico- radiográfica dos critérios de classificação de Angle. (Nos casos de classe I e classe II, divisão 1). Pira
 cicaba, 1967, 123p.
- 7 BALDRIDGE, John Philip. A study of the relation of the maxillary first permanent molars to the face in class I and class II malocclusions. Angle Orthod., Chicago, 11(2): 100-8, Apr. 1941.
- * De acordo com: ASSOCIAÇÃO BRASILEIRA DE NORMAS TÉCNICAS-Rio de Janeiro. Referências Bibliográficas: Norma Brasileira (PNB-66). Rio de Janeiro, Instituto Brasileiro de Bibliografia e documentação, 1970, 31. Abreviaturas dos periódicos: WORLD list of scientific periodicals: 1900, 65. 3v. 1960. 4 ed. London, Butterworths, 1963.

ONICAMP SIBLIOTECA CENTRAL

- 8 BALDRIDGE, John Philip. Further studies of the relation of the maxillary first permanent molars to the face in class I and class II malocclusions. Angle Orthod., Chicago, 20(1): 3-10, Jan. 1950.
- 9 BALLARD, C.F. Some bases for aetiology and diagnosis in orthodontics. <u>Dent. Rec.</u>, <u>68(6)</u>: 133-45, June, 1948.
- 10 BARNETT, J.W. The integumental profile and its supporting dento-skeletal framework: cephalometric studied on thirty boys aged 13 to 16 years. Am. J. Orthod., 48 (5): 389-90, May 1962. | Abstract |.
- 11 BAUM, Alfred T. A cephalometric evaluation of the normal skeletal and dental pattern of children with excellent occlusions. Angle Orthod., Chicago, 21(2): 96-103,-Apr. 1951.
- 12 BJERIN, Rolf. A comparison between the Frankfort horizontal and the sella turcica-nasion as reference planes cephalometric analysis. <u>Acta odont.scand.</u>, Stockholm, 15(1): 1-12, 1957.
- 13 BJORK, Arne. The face in profile: An anthropological Xray investigation on Swedish children and conscripts.

 Svensk Tandlak. Tidskr., Stockhom, 40: 36, 1947. Apud
 KROGMAN, Wilton Marion & SASSOUNI, Viken, op. cit. ref. 59.
- 24 & PALLING, M. Adolescent age changes in sagittal jaw relation, alveolar prognathy, and incisal inclination. <u>Acta odont. scand.</u>, Stockholm, <u>12</u> (3):201-32, 1954.
- 15 BLAIR, Eugene S. A cephalometric roentgenographic appraisal of the skeletal morphology of class I, class II, div. 1, and class II, div. 2 (Angle) malocclusions. -Angle Orthod., Chicago, 24 (2): 106-19, Apr. 1954.

- 16 BROADBENT, B. Holly. A new x-ray technique and its application to orthodontia. Angle Orthod., Chicago, 1(2): 45-66, Apr. 1931.
- The face of the normal child. Angle Orthod., Chicago, 7(4): 183-208, Oct. 1937.
- Bolton standards and technique in orthodontic practice. Angle Orthod., Chicago, 7(4): 209-33, Oct. 1937.
- 19 BRODIE, Allan G. On the growth pattern of the human head from the third month to the eight years of life. Am. J. Anat., Baltimore, 68(2): 209-62, Mar. 1941.
- et alii. Cephalometric appraisal of orthodontic results: a preliminary reports. Angle Orthod., Chica go, 8(4): 261-351, Oct: 1938.
- 21 BUGG, James L.; CANAVARI, Pedro S.; JENNINGS, Richard E.

 A cephalometric study for preschool children. J.

 Dent. Child., Chicago, 40: 103-4, Mar/Apr. 1973.
- 22 BUSHRA, Emil. Variations in the human facial pattern in norma lateralis. Angle Orthod., Chicago, 18 (3/4): 100-2, July/Oct. 1948.
- 23 COBEN, S. Eugene. The integration of facial skeletal variants. Am. J. Orthod., St. Louis, 41(6): 407-34, June 1955.
- 24 CORLETT, E.L. Mandibular incisor position relative to basal bone. Am. J. Orthod. oral Surg., St. Louis, 33 (1): 21-9, Jan. 1947.
- 25 COTTON, Wendell N.; TAKANO, William S.; WONG, Wilfred M.V.

 The Downs analysis applied to three other ethnic groups. Angle Orthod., Chicago, 21(4): 213-20, Oct. 1951.

- 26 COUTAND, A. Role de la teleradiographie de profil en orthopedie dento-faciale. Revue Stomat., Paris, 56 (8/9): 590-603, 1955.
- 27 CRAIG, Charles Everett. The skeletal patterns characteristic of class I and class II, division 1 malocclusions in norma lateralis. Angle Orthod., Chicago, 21(1): -44-56, Jan. 1951.
- 28 DE COSTER, Lucien. La methode des reseaux, methode d'analyse et de diagnostic orthodontique. Revue belge Stomat., Anvers, Apud KROGMAN, Wilton Marion & SASSOUNI, Viken, op. cit. ref. 59. p. 250-1.
- 29 ____. The network method of orthodontic diagnosis. Angle Orthod., Chicago, 9 (1): 3-14, Jan. 1939.
- 30 DOWNS, William Benham. Variations in facial relationship: their significance in treatment and prognosis. Am.J. Orthod., St. Louis, 34(10): 812-40, Oct. 1948.
- Proceedings of first session: statements by moderators, July, 1959. In: SALZMANN, J.A., ec. Roentgenographic cephalometrics. Philadelphia, Lippin cot, 1961. p. 38.
- 32 DUTRA, Delcik Santos. Estudo da correlação entre a base do crânio e a posição ântero-posterior da maxila e
 mandíbula. (Em casos de "oclusão normal" e de classe II, div. 1. Piracicaba, 1973. 57p. | Tese (Mestrado) F.O.P. |
- 33 ELMAN, Earl S. Studies on the relation of the lower sixyear molar to the mandible. Angle Orthod., Chicago,-10(1): 24-32, Jan. 1940.
- 34 ELSSASSER, William A. A cephalometric method for the linear analysis of the human profile. Am. J. Orthod.,-St. Louis, 43 (3): 192-209, Mar. 1957.

- 35 FREITAS, Paulo Afonso de. Telerradiografia Filtro para destacar perfil de partes moles. Bolm. Soc. paul. Orthod., São Paulo, 4(2): 17-9, jul./dez. 1966.
- 36 GILMORE, William Arthur. Morphology of the adult mandible in class II, division 1 malocclusion and in excellent occlusion. Angle Orthod., Chicago, 20(3): 137-146, July 1950.
- 37 GOMES, Frederico Pimentel. <u>Curso de estatística experimental</u>. 3 ed. Piracicaba, Gráfica Benetti, 1966, p.16.
- 38 GRABER, T.M. A critical review of clinical cephalometric radiography. <u>Am.J.Orthod</u>., St. Louis, <u>40</u>(1): 1-26, Jan. 1954.
- 39 GREENE, Arnold G. A roentgenographic cephalometric appraisal of girls at menarche. Am.J.Orthod., St. Louis, (50)(8): 629, Aug. 1954. /Abstract/.
- 40 HAMILTON, David Craig. A study of the angular relationship of the sella nasion and Frankfort planes to one anothe and to the facial plane of the skull. Am. J. Orthod., St. Louis, 43(2): 143, Feb. 1957. /Abstract/
- 41 HARKNESS, E.M. & BROWN, W.A.B. Clinical cephalometric satandards: a radiographic study of 12 year old British girls. Orthodontist, London, 4(1): 25-34, 1972.
- 42 HIGLEY, L. Bodine. Cephalometric standards for children 4 to 8 years of age. Am.J.Orthod., St. Louis, 40 (1): 51-9, Jan. 1954.
- 43 HIXON, Ernest H. The norm concept and cephalometrics. Am. J.Orthod., St. Louis, 42(12): 898-906, Dec. 1956.
- 44 HOFFER, Oscar. L'interpretation du teleradiogramme a l'ai de du "radiogramme craniofacial", em orthopedie maxil lofaciale. Orthod. fr. Lyon, & 320-32, 1954. Apud KROGMAN, Wilton Marion & SASSOUNI, Viken, op. cit. ref. 59.

- 45 HOFRATH, Herbert. Die Bedeutung der r"ontgenfern und abstandsaufnahme f"ur die Diagnostik der Kieferanomalien.

 Fortschr. Orthod., Berlin, 1:232-58, 1931. Apud ALEEN William I. op. cit. ref. 1.
- 46 HOLDAWAY, Reed A. Changes in relationships of points A and B during orthodontic treatment. Am. J. Orthod.,-St. Louis, 42 (3): 176-93, Mar. 1956.
- 47 HOPKINS, John B. & MURPHY, John. Variations in good occlusions. Angle Orthod., Chicago, 41 (1): 55-65, Jan. 1971.
- 48 IYER, V.S. Utility of the maxillofacial triangle in orthodontic diagnosis. <u>Dent. Rec.</u>, London, <u>73</u> (1):316-25, Jan. 1953.
- 49 JAHIMA, Soona B. Correlation between cephalometry and roent genographic cephalometry. Angle Orthod., Chicago, 34
 (3): 194-208, July 1964.
- 50 # JENKINS, D.H. A study of the dentofacial anatomy in normal and abnormal individuals employing lateral cephalometric radiography. Am.J.Orthod., St. Louis, 41 (2): 149-50, Feb. 1955 /Abstract/.
- 51 _____. Analysis of orthodontic deformity employing lateral cephalostatic radiography. Am. J. Orthod., St. Louis, 41(6): 442-52, June, 1955.
- 52 JOHNSON, Ernest L. The Frankfort-mandibular plane Angle and the facial pattern. Am. J. Orthod., St. Louis, 36(7): 516-33, July 1950.
- 53 KINCAID, Robert M. The frequency of deglutition in man: its relationship to overbite. Angle Orthod., Chicago, 21(1): 34-43, Jan. 1951.

in the second

- 54 KORKHAUS, Gustav. Great importance of teleroentgenograms of the face for science and practice. <u>J. dent. Res.</u>, Baltimore, <u>14(3)</u>: 224-5, June 1934.
- 55 L'utilisation des téléradiographies dans le diagnostic des malformations dento-faciales. Orthod. fr., Lyon, 13: 131-49, 1936.
- 56 KOSKI, Kalevi. Roentgenographic cephalometric methods used in diagnosis of developtmental disturbances of the dento-facial complex. A critical review. Separata de Särtr. Odont. Tidskr., Helsinki, (1/2): 11-33, 1951.
- of a new "circle" method. <u>Dent. Rec.</u>, London, <u>73</u> (9): 704-13, Nov. 1953.
- 58 KOWALSKI, Charles J. & WALKER, Geoffrey F. The Tweed trian gle in a large sample of normal individuals. J. Dent.

 Res., Baltimore, 50(6): 1690, Nov./Dec. 1971 /Abstract/.
- 59 KROGMAN, Wilton Marion & SASSOUNI, Viken. A syllabus in roentgenographic cephalometry. Philadelphia, Library of Congress, 1957. 366p.
- 60 LEROI-GOURHAN, A. Influence de la denture sur la face osseuse et la base du crane. Revue fr. Odonto-Stomat., Paris, 1(1): 47-61, Jan. 1954.
- 61 LINDEGARD, Bengt. Intra-racial variations in the profile patterns of human facial skeleton. Acta Odont.scand., Stockholm, 9 (3/4): 215-46, Mar./Apr. 1951.
- 62 MARGOLIS, Herbert I. The axial inclination of the mandibular incisors. Am. J. Orthod., St. Louis, 29(10):571-94, Oct. 1943.

- 63 MARGOLIS, Herbert I. Ambasic facial pattern and its application in clinical orthodontics. Am. J. Orthod., St. Louis, 33(10): 631-41, Oct. 1947.
- 64 MERRIEFIELD, L. Levern. The profile line as an aid in critically evaluating facial esthetics. Am.J.Orthod., St. Louis, 52(11): 804-22, Nov. 1966.
- 65 MOORE, Alton W. Progress report, group 1. July 1959. In: SALZMANN, J.A., ed. Roentgenofraphic cephalometrics. Philadelphia, Lippincot, 1961, p. 42.
- 66 _____. Cephalometrics as a diagnostic tool. <u>J. Am.</u> <u>dent. Ass.</u>, Chicago, <u>82</u> (4): 775-81, Apr. 1971.
- 67 MOORREES, Coenraad F.A. Normal variation and its bearing on the use of the cephalometric radiographs in ortodontic diagnosis. Am. J. Orthod., St. Louis, 39(12): 942-50, Dec. 1953.
- 68 NANDA, Surender & SASSOUNI, Viken. Planes of reference in roentgenographic cephalometry. Angle Orthod., Chicago, 35(4): 311-9, Oct. 1965.
- 69 NORTHWESTERN Analysis. Illinois, U.S.A., 1948. Apud KORG MAN, Wilton Marion & SASSOUNI, Viken op. cit. ref.59.
- 70 PACCINI, A.J. Roentgen ray anthropometry of the skull. <u>J. Radiol.</u>, Iowa City, <u>3</u>: 230-8, 322-31, 418-26, 1922. Apud ALLEN, William I. op. cit. ref. 1.
- 71 PULSON, Richard C. The significance of cephalometric pattern variations. Angle Orthod., Chicago, 34(2): 115-8, Apr. 1964.
- 72 PRAKASH, Prem & MARGOLIS, Herbert I. Dento-cranio-facial relations in varying degrees of overbite. Am. J. Orthod., St. Louis, 38(9): 657-73, Sept. 1952.

- 73 REPORT on first roentgenographic cephalometric workshop. Am. J. Orthod., St. Louis, 44 (12): 899-939, Dec. 1958.
- 74 RICKETTS, Robert M. A foundation for cephalometric comunication. Am. J. Orthod., St. Louis, 46(5): 330-57, May 1960.
- 75 _____. Cephalometric analysis and symthesis. <u>Angle</u>
 Orthod., Chicago, <u>31</u>(3): 141-56, July 1961.
- 76 RIEDEL, Richard A. The relation of maxillary structures to cranium in malocclusion and in normal occlusion. Angle Orthod., Chicago, 22(3): 142-5, July 1952.
- 77 RUMEL, Arão. Contribuição para o estudo da posição ânteroposterior do 1º molar superior permanente no complexo
 crânio-facial pela radiografia cefalométrica em adolescentes do sexo masculino, xantodermas (nisseis), leucodermas, nascidos em São Paulo. São Paulo, 102p.
 |Tese (Livre-Docência) F.O.U.S.P.|.
- 78 SALZMANN, J.A. Cephalometrics, cephalometrist and orthodontist. Am. J. Orthod., St. Louis, 41(9): 709-11, Sept. 1955.
- 79 ______. The research workshop on cephalometrics. Am.

 J. Orthod., St. Louis, 46(11): 834-47, Nov. 1960.
- ed. Roentgenographic cephalometrics. Proceedings of the second research workshop conducted by the special committe of the American Association of Orthodontists. Philadelphia, Lippincot, 1961, 195p.
- 81 SASSOUNI, Viken. A roentgenographic cephalometric analysis of cephalo-facio-dental relationship. Am. J. Orthod., St. Louis, 41(10): 735-64, Oct. 1955.

- 82 SASSOUNI, Viken. Diagnosis and treatment planning via roentgenographic cephalometry. Am. J. Orthod., St. Louis, 44(6): 433-63, June 1958.
- 83 _____. A classification of skeletal facial types. Am. J. Orthod., St. Louis, 55(2): 109-23, Feb. 1969.
- 84 SEAL, William M. The relationship of the Frankfort horizontal to the His line. Angle Orthod., Chicago, 34
 (4): 235-43, Oct., 1964.
- 85 SCHAEFFER, Aaron. Behavior of the axis of human incisor teeth during growth. Angle Orthod., Chicago, 19 (4): 254-75, Oct. 1949.
- 86 SCHWARZ, A. Martin. Das r"ontgenbil im dienste der Gebikre gelung. Z. Stomat., Wien, 34(9): 513-36, Jan. 1936.
- 87 SIMON, Paul W. Fundamental principles of systematic diagnosis of dental anomalies. Boston, Stratford, 1926, p.284.
- 88 SPEIDEL, Thomas D. & STONER, Morris M. Variation of mandibular incisor axis in adult "normal" occlusion. Am. J.Orthod. oral Surg., St. Louis, 30(10): 536-42, Oct. 1944.
- 89 STEINER, Cecil C. Cephalometrics for you and me. Am. J. Orthod., St. Louis, 39(10): 729-55, Oct. 1953.
- 90 Use of cephalometrics as an aid to planning and assessing orthodontic treatment. Am. J. Orthod., St. Louis, 46(10): 721-35, Oct. 1960.
- 91 STONER, Morris M. A photometric analysis of the facial profile: a method of assessing facial change induced by orthodontic treatment. Am. J. Orthod., St. Louis, 41(6): 453-69, June 1955.

- 92 TAYLOR, Wendell H. & HITCHCOCK, H. Perry. The Alabama Analysis. Am. J. Orthod., St. Louis, 52(4): 245-65, Apr. 1966.
- 93 THOMAZINHO, Adilson. Análise cefalométrico-radiográfica como elemento do diagnóstico ortodôntico (Determinação do
 padrão facial nos casos de "oclusão normal", Classe I
 e classe II, divisão 1 de Angle). Ribeirão Preto,
 1970, 155p. | Tese (Doutoramento) F.F.O. |.
- 94 THOMPSON, J.R. The rest position of the mandible and its application to analysis and correction of malocclusion, Angle Orthod., Chicago, 19(3): 162-187, July 1949.
- 95 TOOD, T. Wingate. Integral frowth of the face. Int. J.

 Orthod. Dent. Child., St. Louis, 22: 231-334, Apud

 ALLEN, William I. op. cit. ref. 1.
- 96 TWEED, Charles H. The Frankfort-mandibular plane angle in orthodontic diagnosis, classification, treatment planning and prognosis. Am. J. Orthod., St. Louis, 32 (4): 175-230, Apr. 1946.
- 97 ____. The Frankfort mandibular incisor angle (FMIA)
 in orthodontic diagnosis, treatment planning and prog
 nosis. Angle Orthod., Chicago, 24(3): 121-69, July 1954.
- 98 VALENTE, Ademar. Estudo da posição dos pontos "A" e "B"
 (de Downs) no sentido ântero-posterior e vertical, nos
 casos de "oclusão normal" e maloclusões de classe I
 e II, divisão l, de Angle. (Contribuição ao seu estudo por meio de telerradiografias em norma lateral. Ri
 beirão Preto, 1970. 144p. |Tese (Doutoramento)-F.F.O|.
- 99 VORHIES, Jack M. & ADAMS, J. William. Polygonic interpretation of the cephalometric findings. Angle Orthod., Chicago, 21 (4): 194-7, Oct. 1951.

- 100 WAITE, Daniel E; ÉSAACSON, Robert J.; CHECK, Richard K. Cephalometrics. <u>J. oral Surg.</u>, Chicago, <u>29</u>(10): 697-702, Oct. 1971.
- 101 WALKER, Geoffrey F. & KOWALSKI, Charles J. The distribution of the ANB angle in "normal" individuals. Angle Orthod., Chicago, 41(4): 372-5, Oct. 1971.
- on the use of the SNA and SNB angles in cephalometric analysis. Am. J. Orthod., St. Louis, 64
 (5): 517-23, Nov. 1973.
- 103 WEY, Stephen H.Y. The variability of roentgenographic ce phalometric lines of reference. Angle Orthod., Chica go, 38 (1): 74-8, Jan. 1968.
- 104 WILLIAMS, Benjamin H. Craniofacial proposrionality in a horizontal and vertical plane, a study in norma lateralis. Angle Orthod., Chicago, 23 (1): 26-34, Jan. 1953.
- 105 WYLIE, Wendell L. The assessment of anteroposterior dysplasia. Angle Orthod., Chicago, 17 (3/4): 97-109, -July/Oct. 1947.
- 106 WYLIE, Wendell L. & JOHNSON, Ernest L. Rapid evaluation of facial dysplasia in the vertical plane. Angle Orthod., Chicago, 22(3): 165-82, July 1952.

CAPÍTULO VIII

RESUMO

Estudou-se o comportamento estatístico de algumas medidas cefalométricas obtidas de crianças brancas de Piracicaba, portadoras de oclusão dentária considerada "normal".

Dos 1.623 escolares examinados clinicamente, 80 porta dores de oclusão dentária "normal", foram selecionados e radiografados em norma lateral, de acordo com a técnica preconizada por BROADBENT¹⁶.

Sobre as telerradiografias obtidas da cabeça das crianças da amostra selecionada, foram traçados cefalogramas e obtidas as medidas cefalométricas SNA, SNB, ANB, FMA, FMIA, IMPA, ÂNGULO Y, ÂNGULO 1-NA, ÂNGULO 1-NB, COMPRIMENTO DA MAXILA, COMPRIMENTO DA MANDÍBULA, DISTÂNCIAS em mm 1-NA e 1-NB, ALTURA TOTAL DA FACE.

Essas medidas cefalométricas foram submetidas à análise estatística, procurando-se determinar o comportamento estatístico das mesmas, em relação ao sexo, e em relação à idade. - Procurou-se outrossim, determinar o grau de correlação das mesmas, e uma aproximação para um valor padrão para as medidas cefalométricas das crianças de Piracicaba.

Da discussão dos resultados obtidos, chegou-se à conclusão de que:

- a) o fator sexo não influiu no comportamento estatistico dessas medidas;
- b) a idade demonstrou exercer influência sobre os valores do comprimento da mandíbula e altura total da face;
- c) as medidas cefalométricas estudadas, embora em amostra limitada, mostraram valores cujas variações nos permitem a obtenção aproximada de valores padrões para as crianças de Piracicaba, na faixa etá ria estudada;
- d) houve um significativo número de medidas cefalométricas que se mostraram bem correlacionadas.

GRÁFICO 1 - Diagrama de dispersão de pontos: variável 1 versus variável 20 da amostra de 40 indivíduos brancos, do sexo masculino, portadores de oclusão dentária considerada normal. r = 0,9282

i

8<u>2</u>

GRÁFICO 2 - Diagrama de dispersão de pontos: variável 4 versus variável 7 da amostra de 40 indivíduos brancos, do sexo masculino, portadores de oclusão dentária considerada normal.

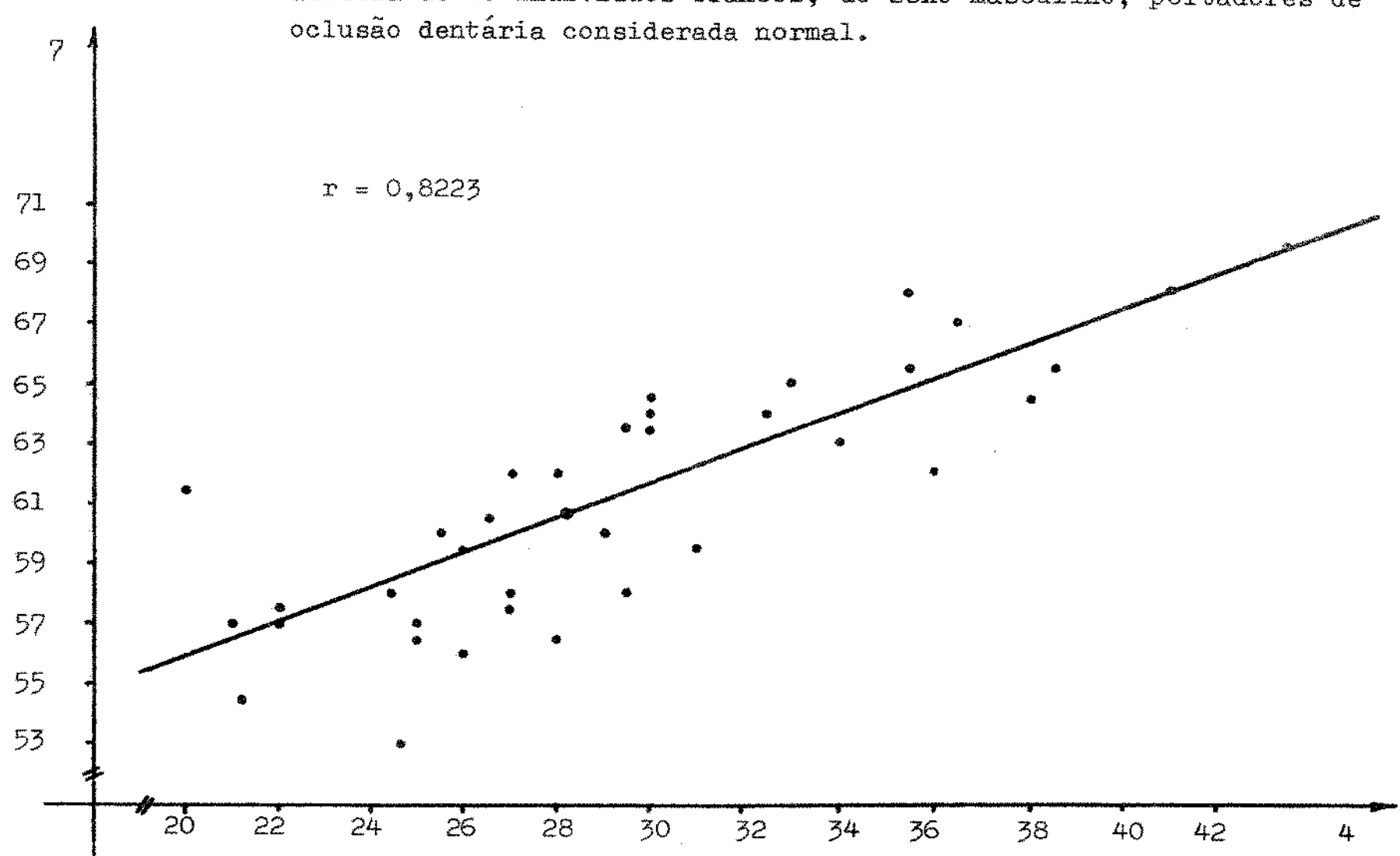


GRÁFICO 4 - Diagrama de dispersão de pontos: variável 5 versus variável 9 da amostra de 40 indivíduos brancos, do sexo masculino, portadores de oclusão dentária considerada normal.

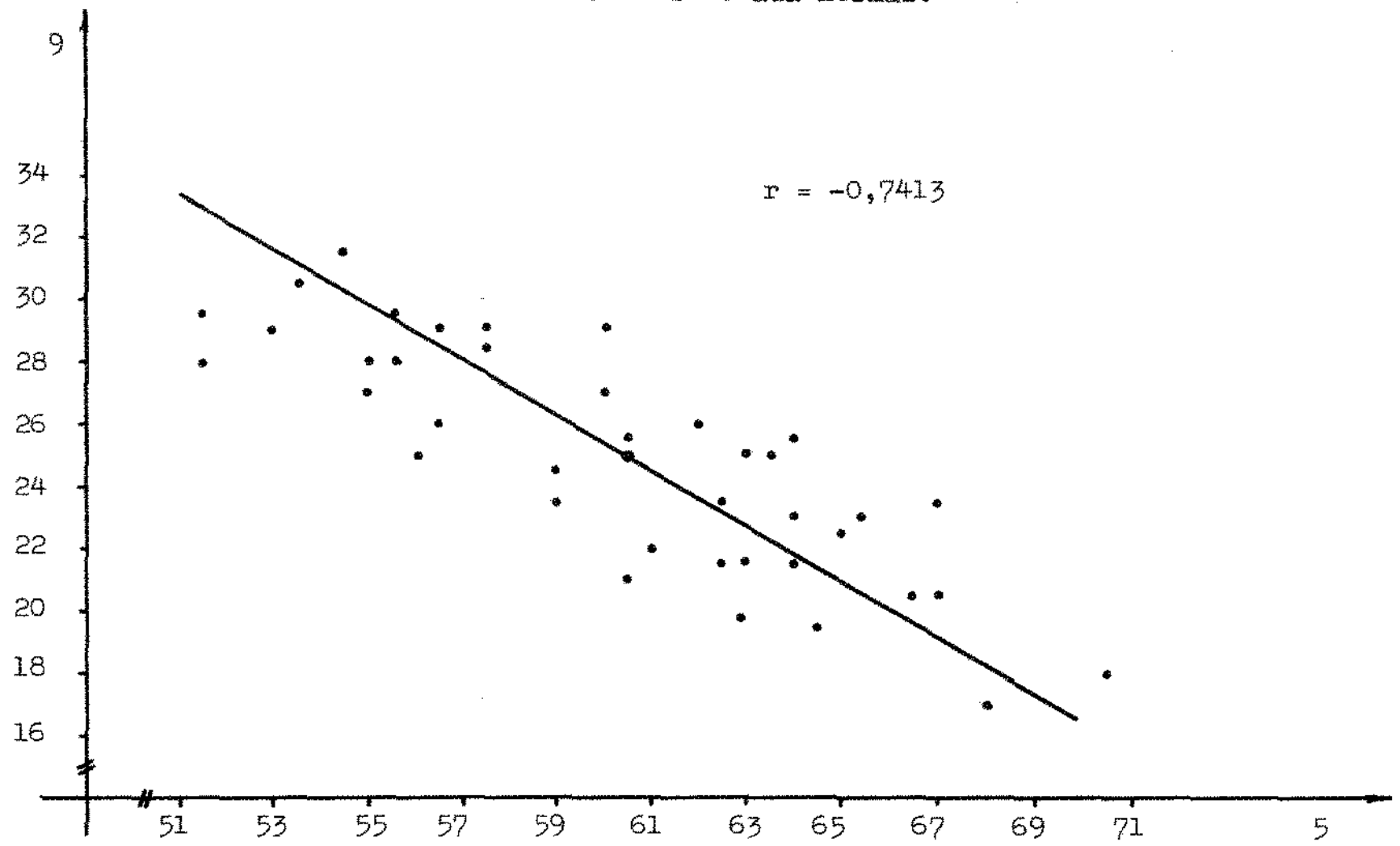


GRÁFICO 5 - Diagrama de dispersão de pontos: variável 5 versus variável 14 da amostra de 40 indivíduos brancos, do sexo masculino, portadores - de oclusão dentária considerada normal.

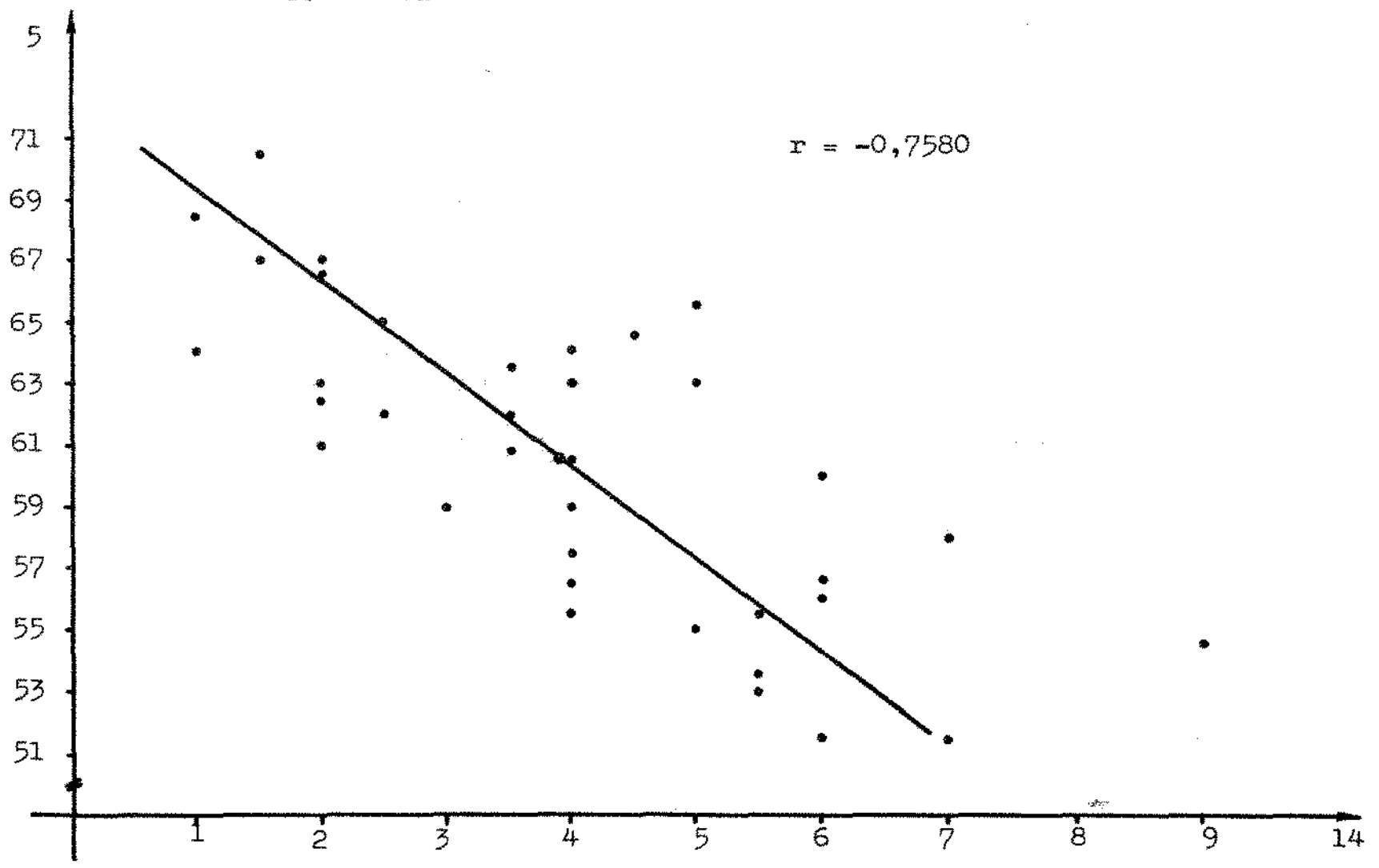


GRÁFICO 6 - Diagrama de dispersão de pontos: variável 8 versus variável 13 da amostra de 40 indivíduos brancos, do sexo masculino, portadores de oclusão dentária considerada normal.

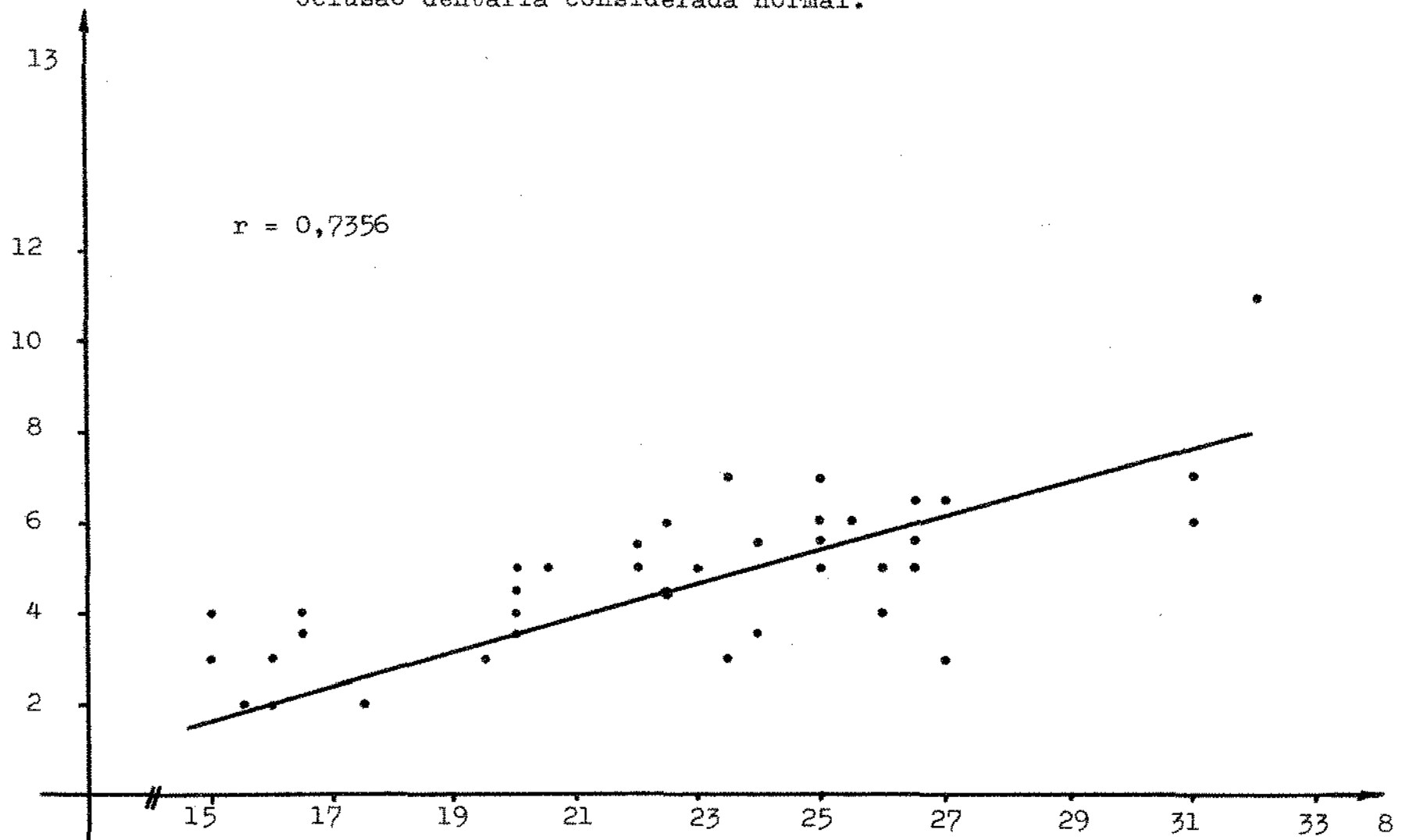


GRÁFICO 7 - Diagrama de dispersão de pontos: variável 9 versus variável 14 da amostra de 40 indivíduos brancos, do sexo masculino, portadores de oclusão dentária considerada normal.

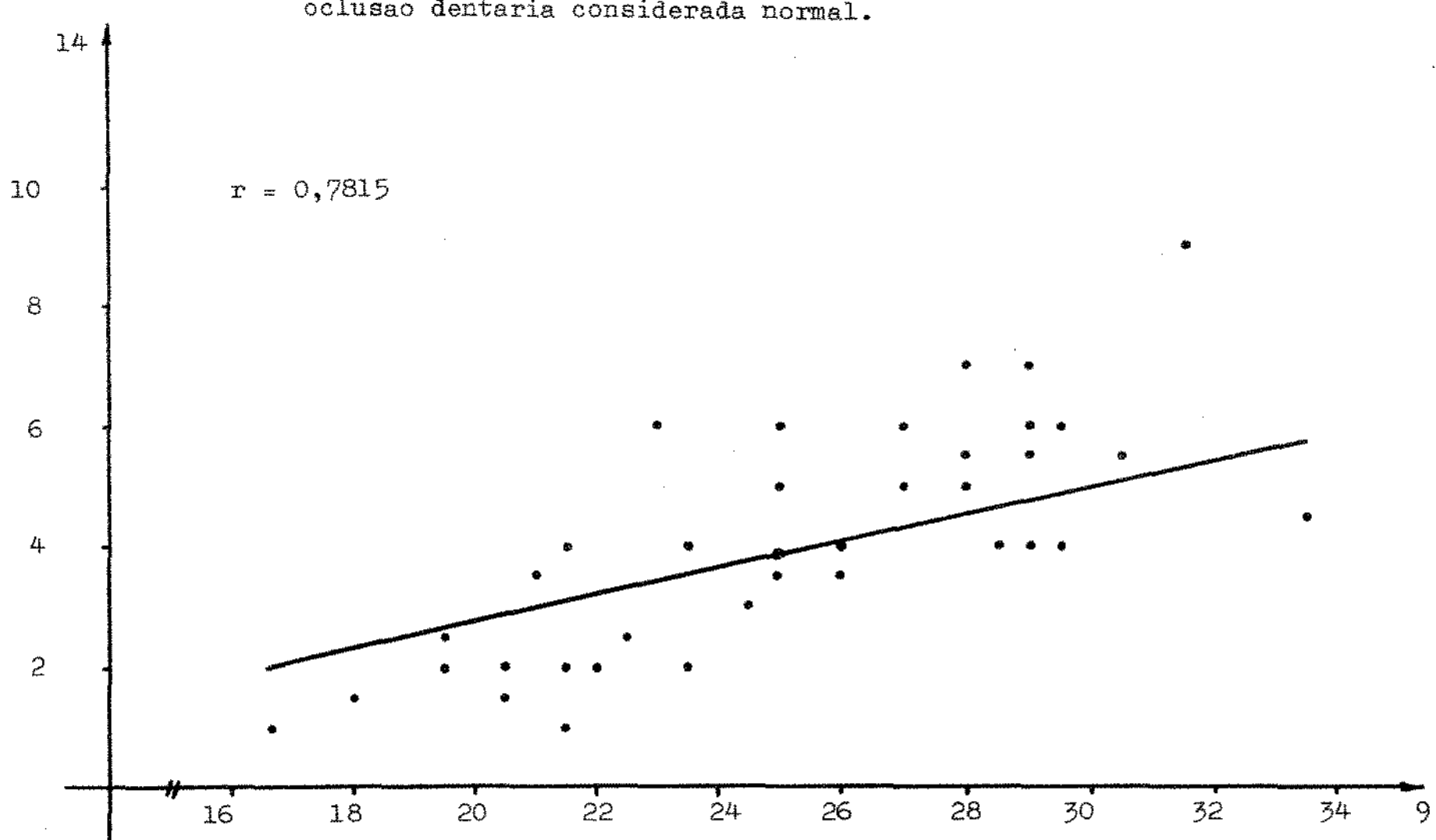


GRÁFICO 8 - Diagrama de dispersão de pontos: variável 12 versus variável 15 da amostra de 40 individuos brancos, do sexo masculino, portadores de oclusão dentária considerada normal. r = 0,7948

GRÁFICO 9 - Diagrama de dispersão de pontos: variável 1 versus variável 2 da amostra de 40 indivíduos brancos, do sexo feminino, com oclusão den tária considerada normal.

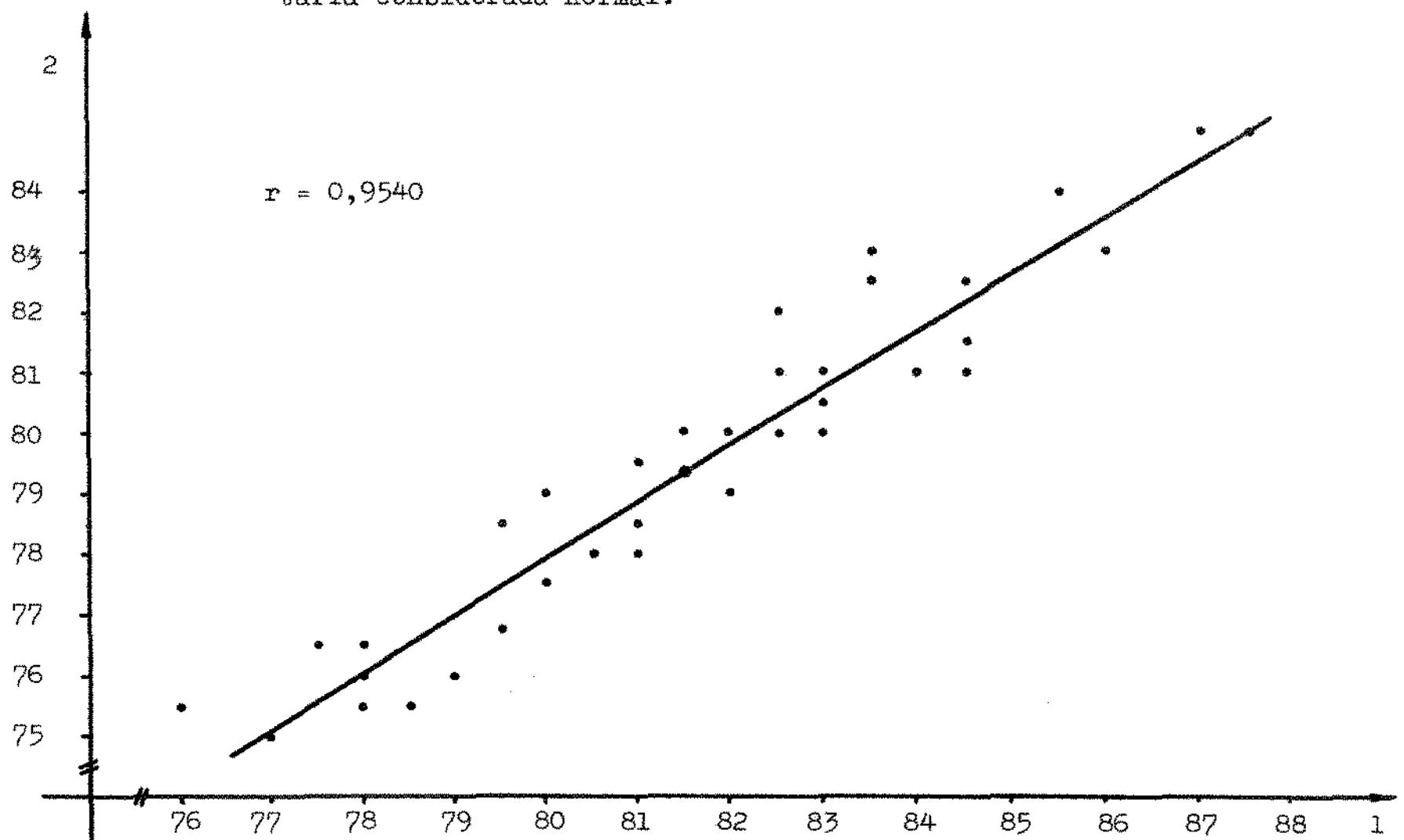


GRÁFICO 10 - Diagrama de dispersão de pontos: variável 4 versus variável 7 da amostra de 40 indivíduos brancos, do sexo feminino, portadores de oclusão dentária considerada normal.

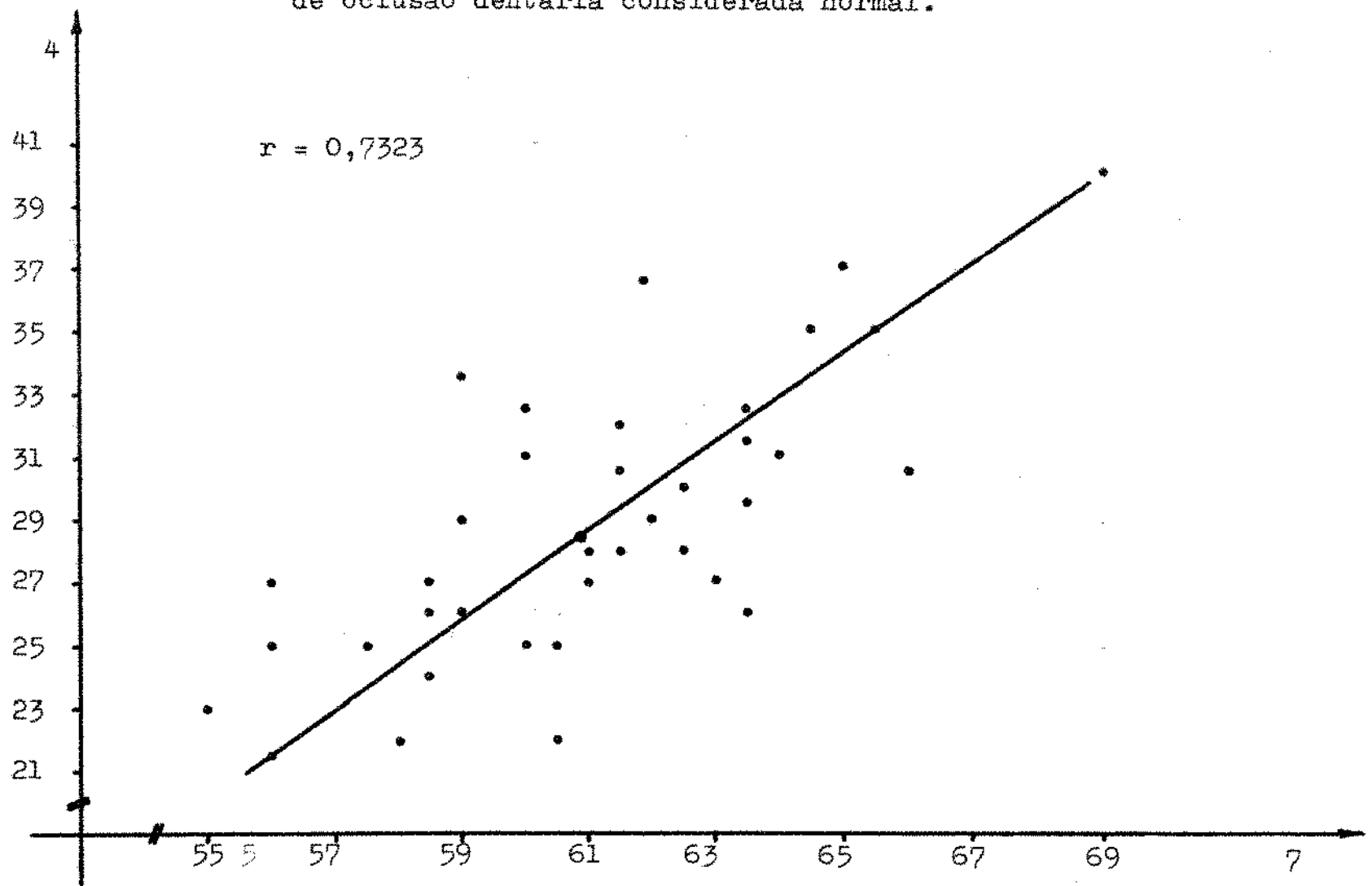


GRÁFICO 11 - Diagrama de dispersão de pontos: variável 5 versus variável 9 da amostra de 40 indivíduos brancos, do sexo feminino, portadores de oclusão dentária considerada normal.

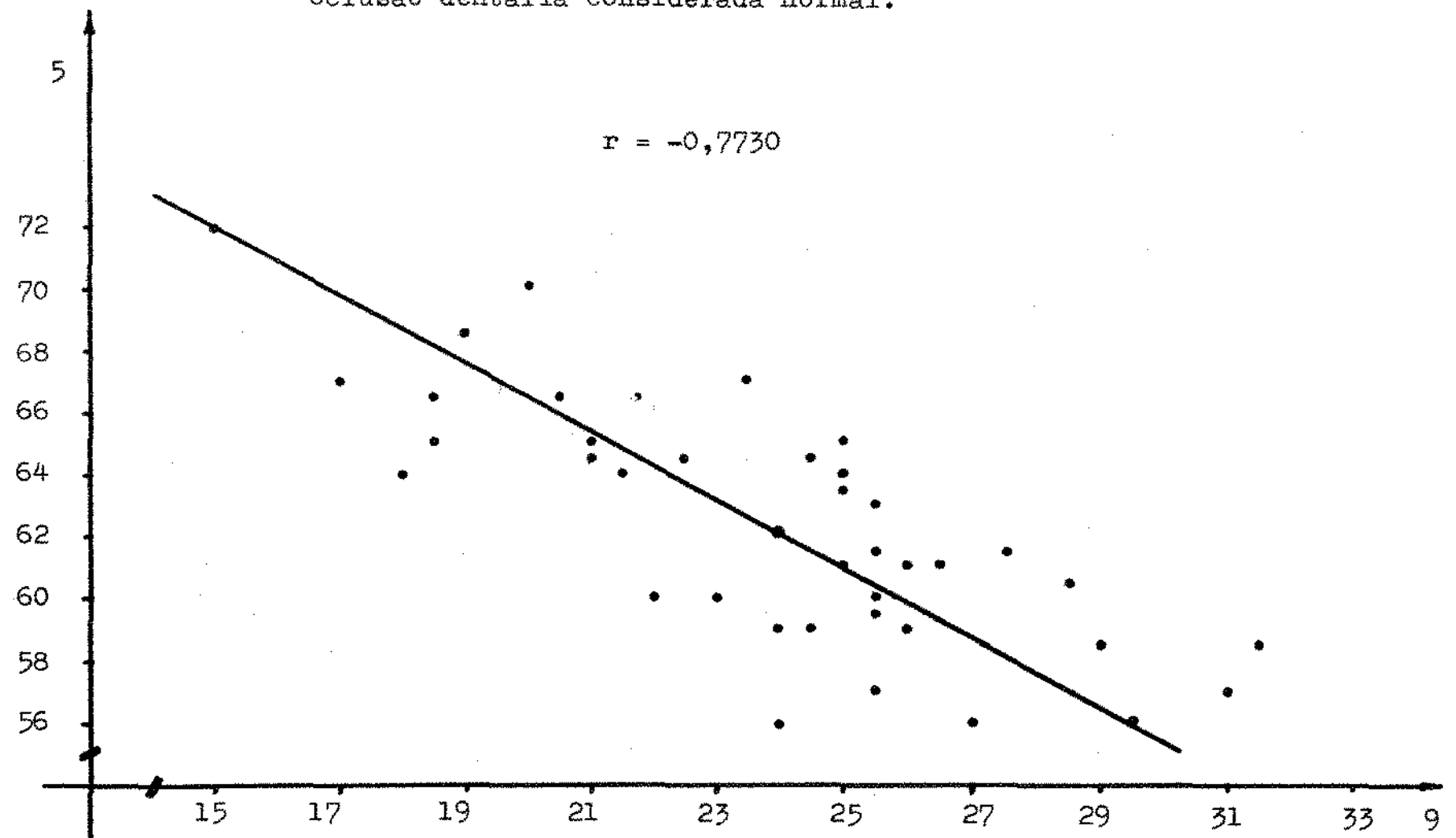


GRÁFICO 12 - Diagrama de dispersão de pontos: variável 1 versus variável 2 da amostra de 80 indivíduos brancos, de ambos os sexos, portadores de oclusão dentária considerada normal.

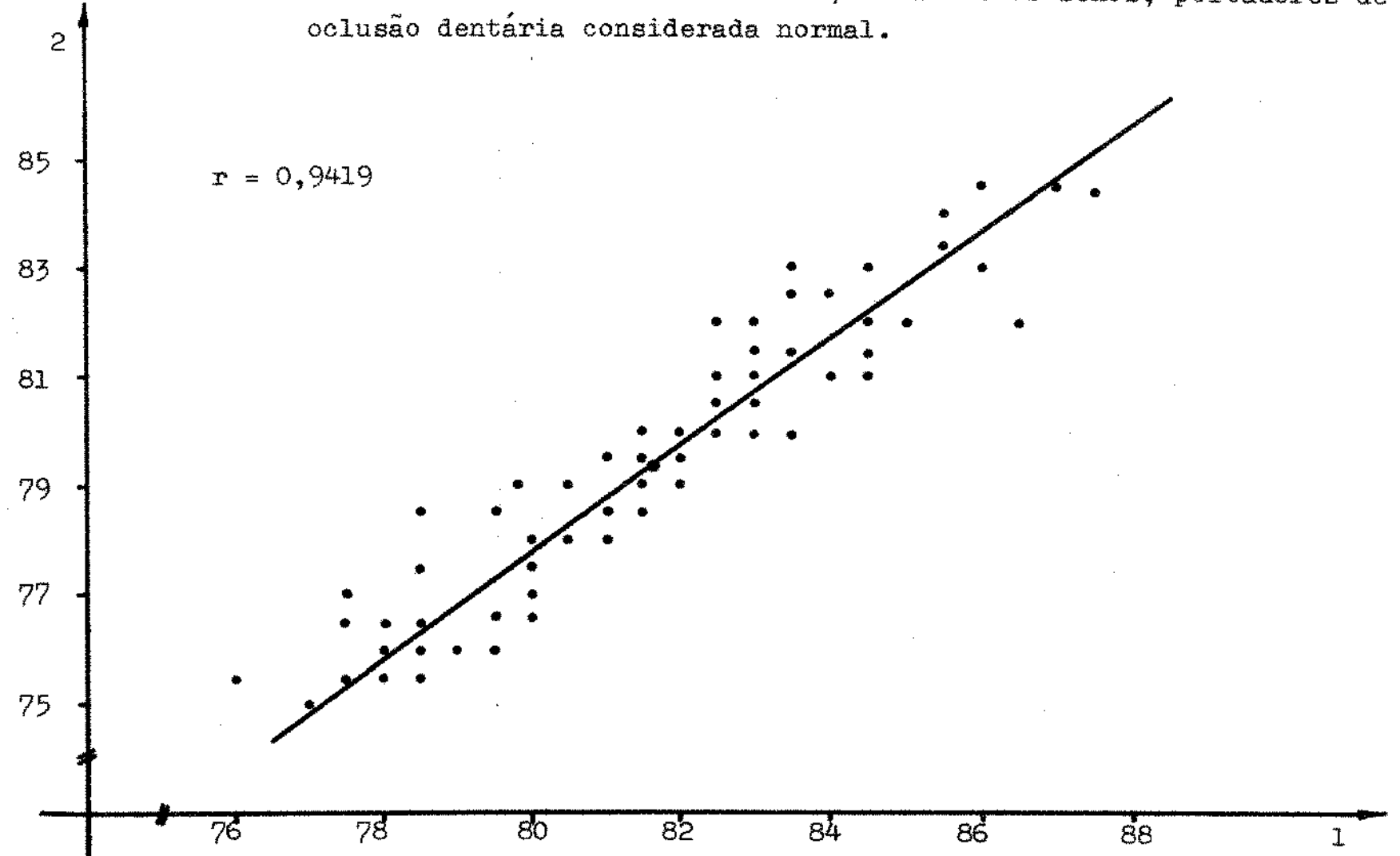


GRÁFICO 13 - Diagrama de dispersão de pontos: variável 4 versus variável 7, da amostra de 80 indivíduos brancos, de ambos os sexos, portadores de oclusão dentária considerada normal.

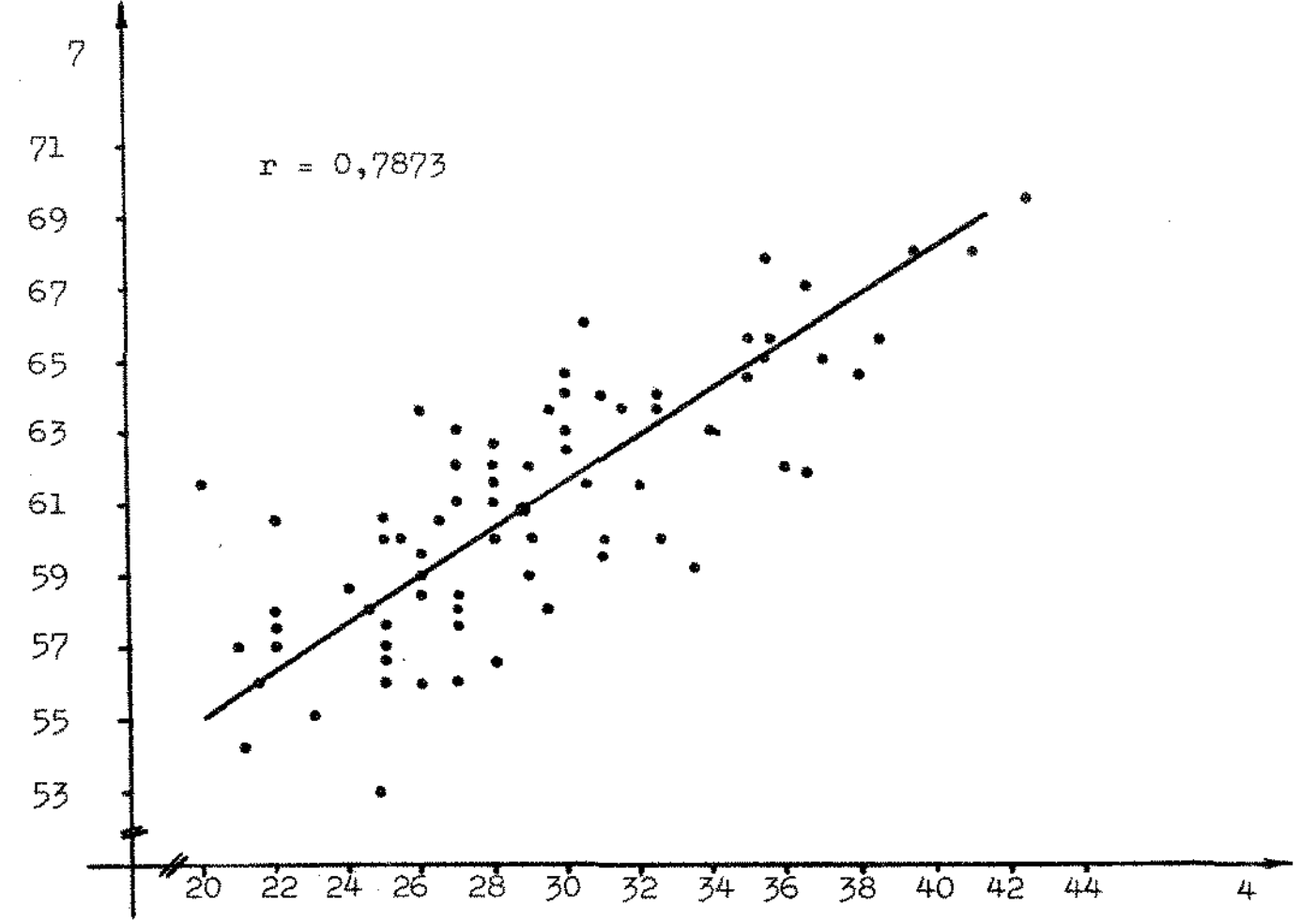


GRÁFICO 14 - Diagrama de dispersão de pontos: variável 5 versus variável 9 da amostra de 80 indivíduos brancos, de ambos os sexos, portadores de oclusão dentária considerada normal.

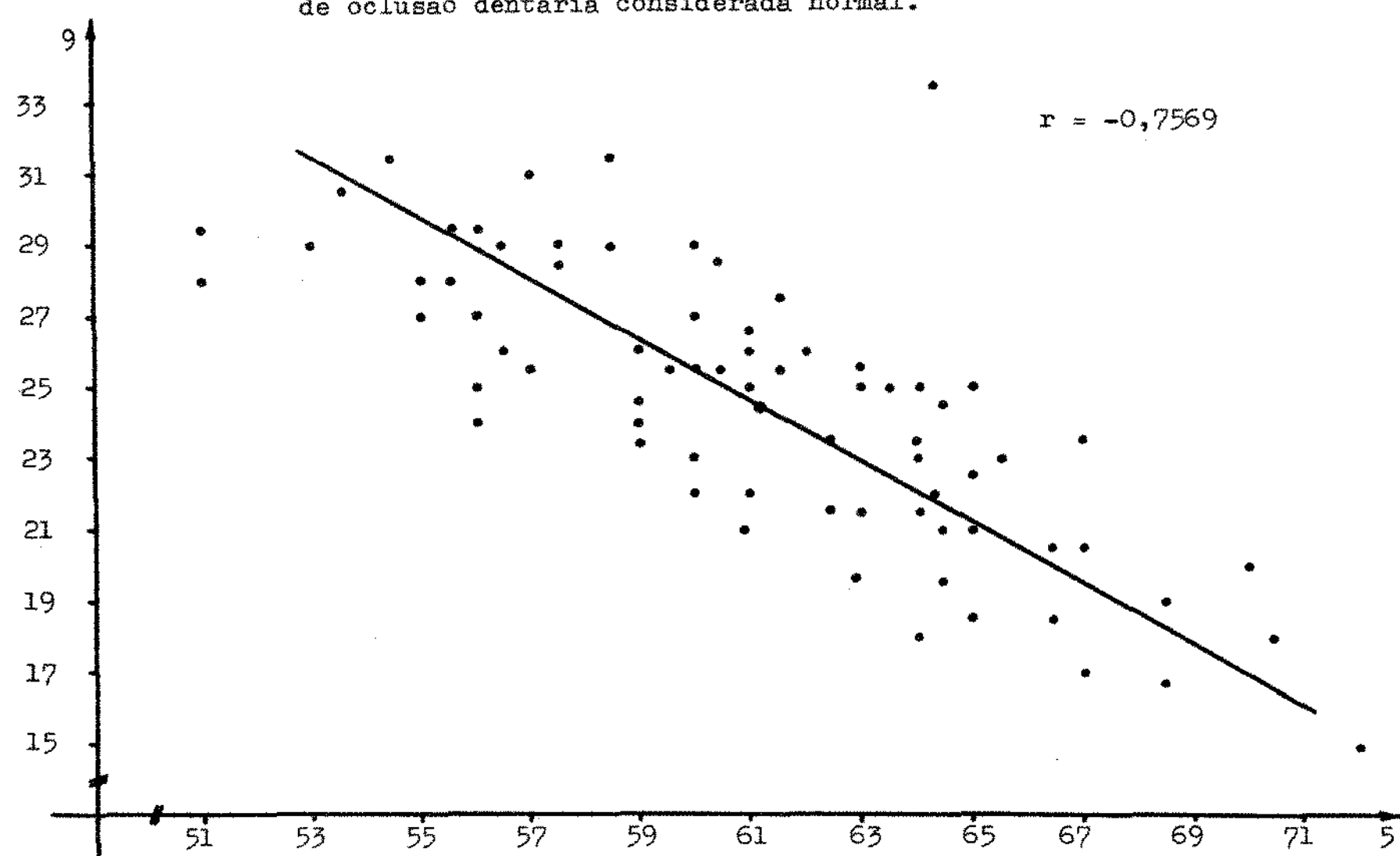


GRÁFICO 15 - Diagrama de dispersão de pontos: variável 5 versus variável 14 da amostra de 80 indivíduos brancos, de ambos os sexos, portadores - de oclusão dentária considerada normal.

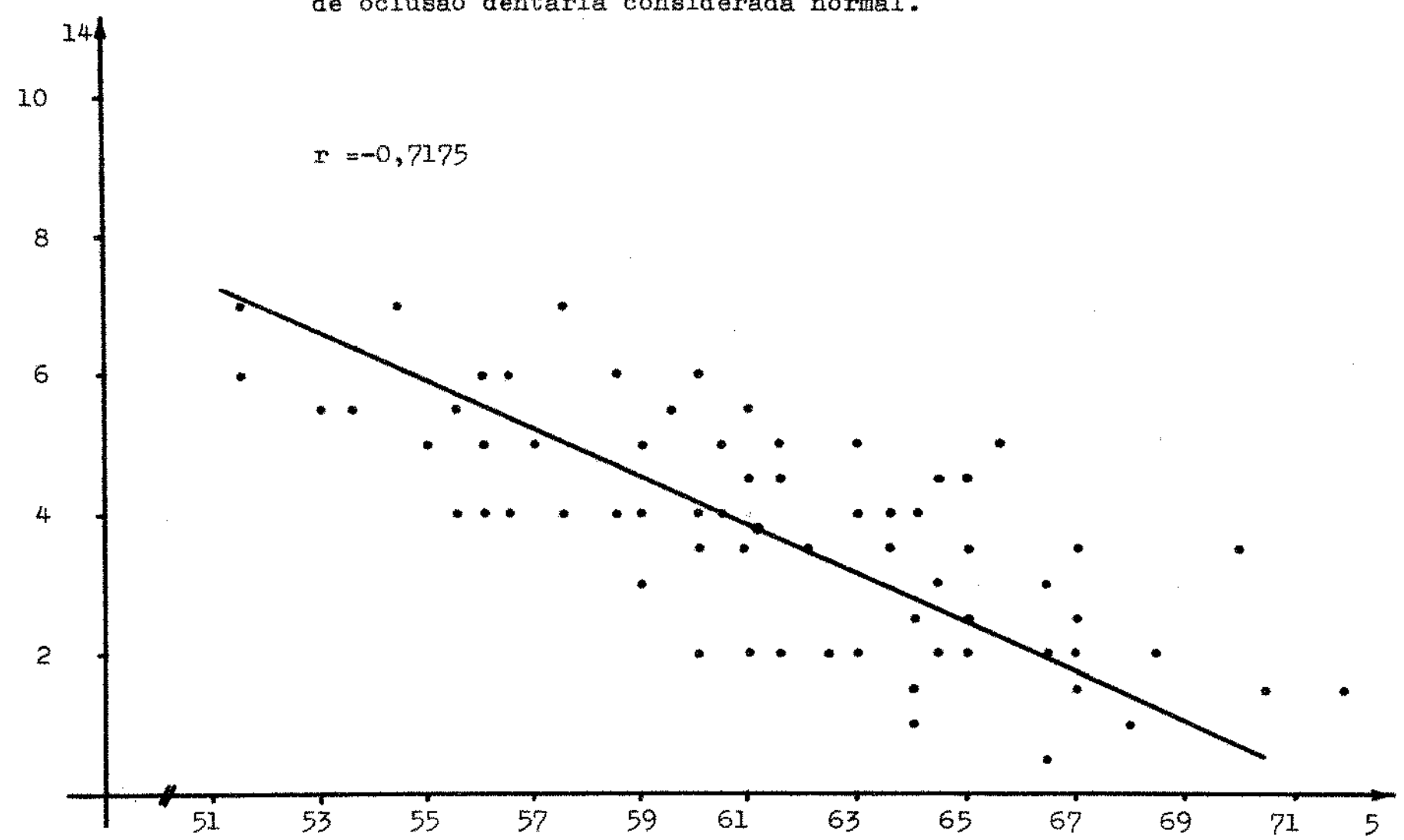


GRÁFICO 16 - Diagrama de dispersão de pontos: variável 9 versus variável 14 da amostra de 80 indivíduos brancos, de ambos os sexos, portadores - de oclusão dentária considerada normal.

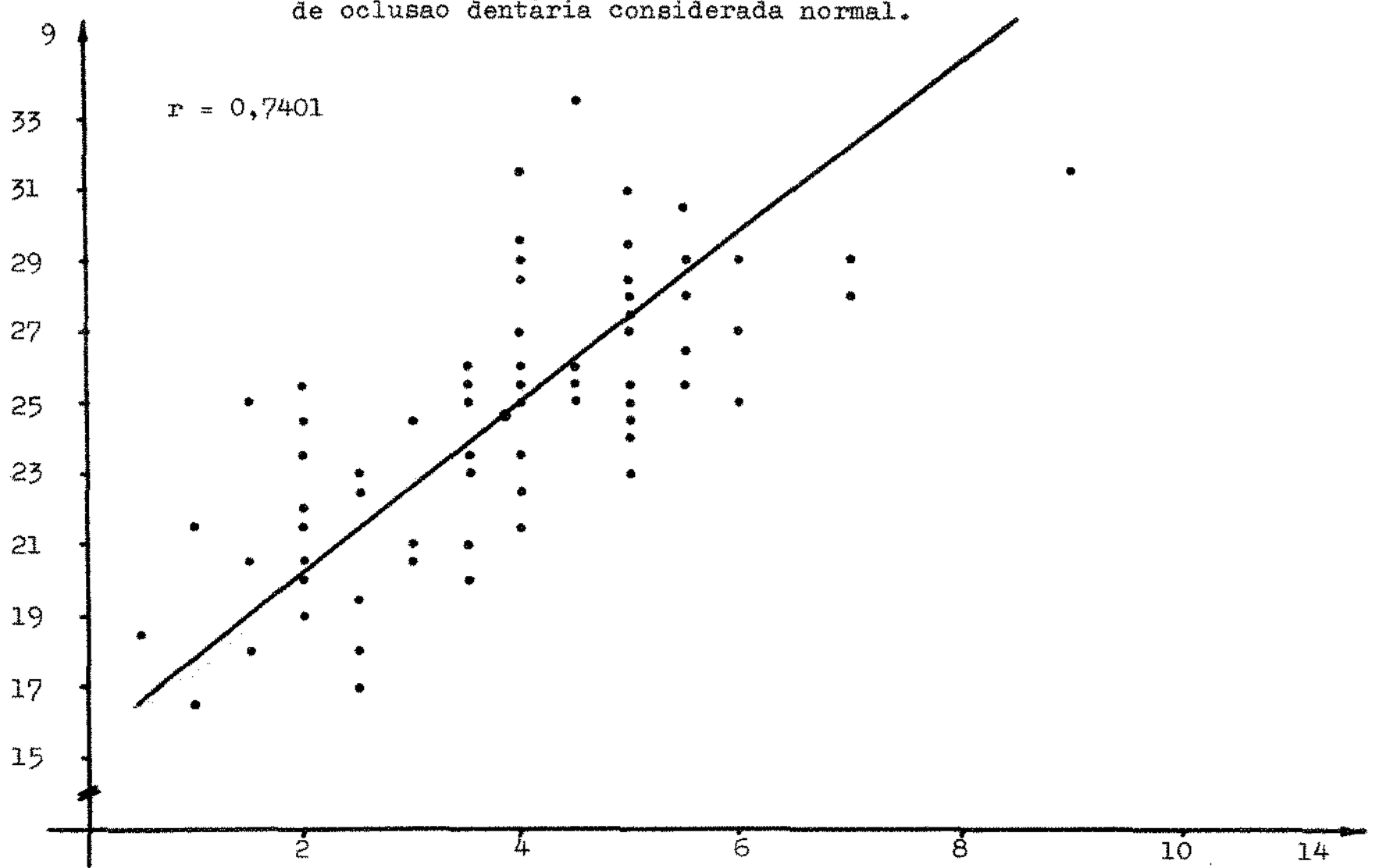


GRÁFICO 17 - Diagrama de dispersão de pontos: variável 12 versus variável 15 da amostra de 80 indivíduos brancos, de ambos os sexos, portado res de oclusão dentária considerada normal.

